
MACHINES DESCRIBING MAN, AS DESCRIBED BY MAN
Titus Ebbecke
7. Semester, 2019
Hochschule für angewandte Wissenschaften Würzburg-Schweinfurt
Fakultät Gestaltung

Übersicht

Einleitung

S.10

Künstliche Intelligenz & Deep
Learning Algorithmen

S.12

Generative Adversarial Networks

S.14

Progressive Growing of GAN's

S.16

Training und Genres

S.18

Werke - Portrait

S.20

Machines describing man, as
described by machines

S.106

Werke - Abstrakt

S.128

Protokoll eines Traums

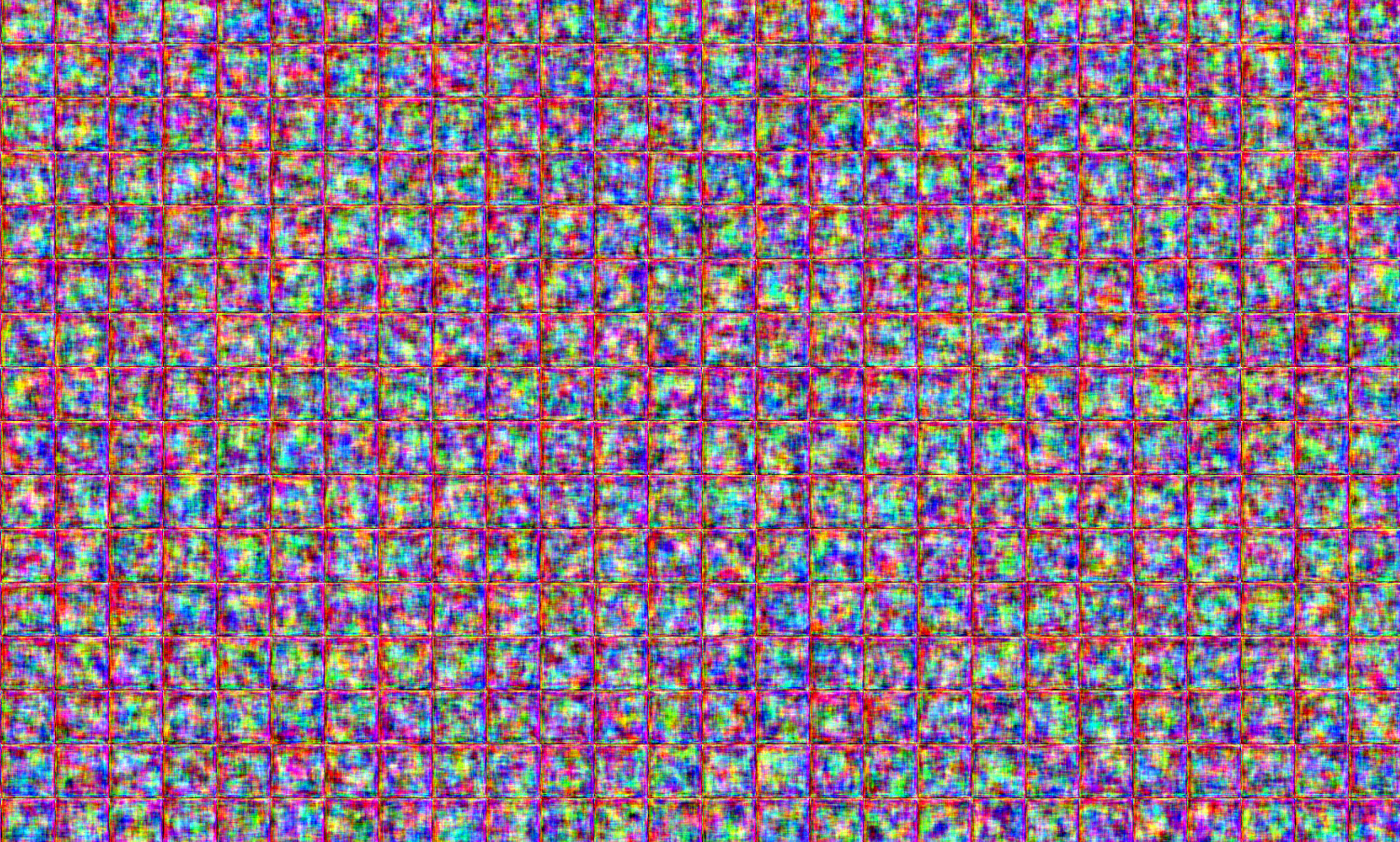
S.180

Literaturverzeichnis

S.194

Alle Bilder in diesem Buch wurden von einem selbstlernenden und selbsthandelnden Computer generiert.

**Es ist sein Versuch zu verstehen, was Menschen sehen,
wenn sie mit Kunst andere Menschen beschreiben.**



Die kognitiven Fähigkeiten des Menschen sind bei ihm so stark ausgeprägt, dass er bis heute nur einem Wesen die Eigenschaft „Intelligenz“ sicher zuschreibt: Sich selbst – trotz der gleichen Herkunft, der gleichen biologischen Grundprinzipien und den oft gleichen Organen, die wir uns mit Millionen von Tierarten teilen.

Schon Aristoteles reservierte die vierte epistemische Stufe „Wissen“ alleine für den Menschen. Unser kognitiver Vorsprung zu den nächst-intelligenteren Wesen ist so groß, dass wir noch heute im Alltag Schimpanse und Qualle gleichermaßen als Tier definieren, während wir uns mit der Bezeichnung Mensch abgrenzen und diesen in den Kontrast zur restlichen niederen Tierwelt stellen.

Die Evolutionstheorie formalisiert den gleichen Entstehungsprozess von Tier und Mensch und Physik und Chemie beschreiben akkurat die Umgebung, die sich diese Wesen schon immer geteilt haben. Beide Modelle können bis heute nicht eindeutig erklären, welche Eigenschaften diese Form von Intelligenz so einzigartig macht. Die Kompetenz, Kunst zu erstellen, scheint allerdings bis heute noch relativ deutlich dem intelligenten Wesen Mensch vorbehalten zu sein. Während Krähen und Affen Werkzeuge basteln können und Termiten unterirdische Städte mit Arbeitsteilung bauen, erstellt

„Creativity is a fundamental feature of human intelligence, and an inescapable challenge for AI“

Margaret Boden

keiner dieser Arten auf regelmäßiger und beabsichtigter Basis Kunst. Die Einzigartigkeit zwischen dem Erstellen von Kunst und die intellektuelle Sonderstellung des Menschen ist also eine relativ feste Parallel. Dass künstlerische Kreativität als eindeutiger Parameter von Intelligenz geeignet ist, ist zwar umstritten, doch die Korrelation zwischen Kunsterstellung und der Intelligenz ihres Urhebers ist deutlich erkennbar.

Zuerst steht immer die Frage, was ist eine Künstliche Intelligenz? Was ist Intelligenz? Diese Frage soll hier unbeantwortet bleiben. Vorläufig gilt es als kaum möglich den Intelligenzbegriff eindeutig zu formulieren, ohne Gefahr zu laufen, falsche Implikationen zu integrieren. Ohne diese Definition wäre es fahrlässig in diesem Projekt von einer echten „künstlichen Intelligenz“ zu sprechen. Dennoch ist es gleichermaßen unfair die Art Computerprogramme, die hier verwendet werden, ausschließlich als „Machine Learning Algorithmus“ zu bezeichnen, wie es fragwürdig ist sie als „Künstliche Intelligenz“ zu betiteln. Dabei schließen sich beide Begriffe nicht aus.

Ein „Machine Learning“ Algorithmus, also eine mathematische Handlungsvorschrift mit maschinellem Lernen, ist essenziell für den Intelligenzbegriff. Letzterer wird schließlich primär mit der Fähigkeit zu Lernen definiert. Insofern hat das Verfahren, dass die hier abgebildeten Kunstwerke generiert hat, nichts mit konventionellen „dummen“ Computerprogrammen zu tun.

Das Programm besteht nicht aus einer Anweisung Farben zu wählen und sie an einen vordefinierten Ort zu platzieren. Stattdessen besteht die Operation aus einem sehr umfangreichen Lernverfahren. In diesem werden unter Einsatz von leistungsstarken Computern, mehrere tausende oder zehntausende Bilder analysiert und ihre einzelnen Aspekte in eine Art universelles Gedächtnis gespeichert.

Die Programme versuchen in vielen Millionen Berechnungen pro Sekunde herauszufinden, was die eingespeicherten Bilder (in diesem Fall) menschlich macht. Diese Lernphase dauert viele Stunden, Tage und sofern nicht die leistungsstärksten konventionellen Computer überhaupt genommen werden, oft Wochen oder Monate. Ähnlich wie bei einem menschlichen Agenten, hört diese Lernphase nie auf. Es gibt keinen Punkt an dem „fertig“ gelernt wurde, an dem der scheinbar einzelne, universelle Schlüssel zum

Geheimnis des Urwerks gefunden wurde. Schließt man mit der Lernphase ab, weil die potenziellen Ergebnisse zufriedenstellend sind, so hat man kein fertiges Bild zu Hand. Stattdessen wird das Erlernte in einer Datei gespeichert. Erst diese wird benutzt, um beliebig viele Bilder zu generieren. Ähnlich einem Menschen, der differenziert, zwischen Lernprozess und reinem Kreationsprozess. Das Programm ist keine Anleitung zum Generieren von Bildern, sondern eine Aufforderung an den Computer alles auszustesten und zu bewerten, bis er eines Tages glaubt zu wissen, was richtig und was falsch ist.

Der Computer nutzt Komponenten wie Lernen, Kurz- und Langzeitgedächtnis und Probierprozesse ohne garantierte Erfolgschance. Ohne den Intelligenzbegriff genau definieren zu können, ist es schon dadurch möglich fundamentale Gemeinsamkeiten zwischen uns intelligenten Wesen und diesen Programmen zu erkennen.

Künstliche Intelligenz & Deep Learning Algorithmen

Generative Adversarial Networks

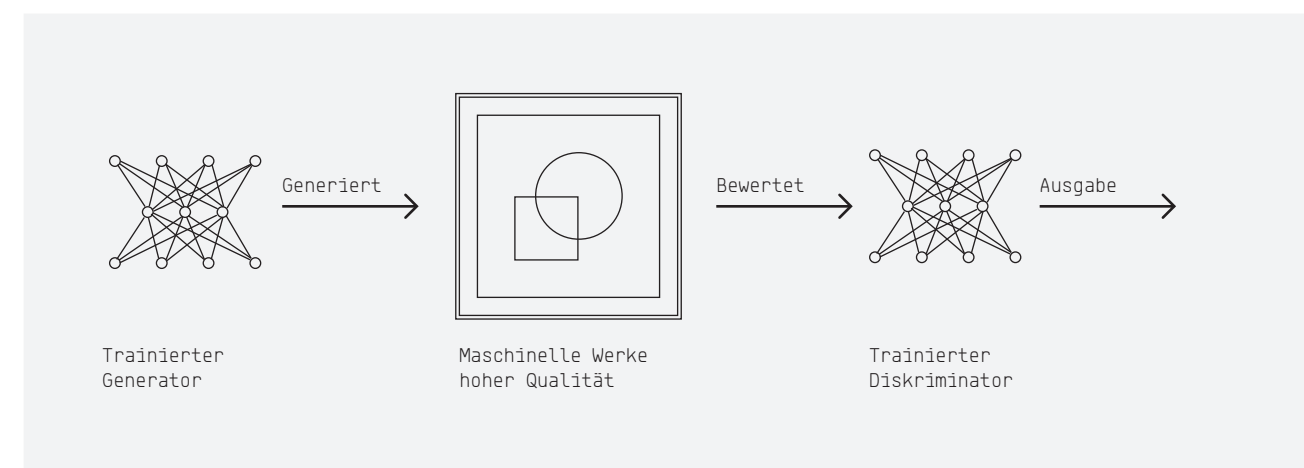
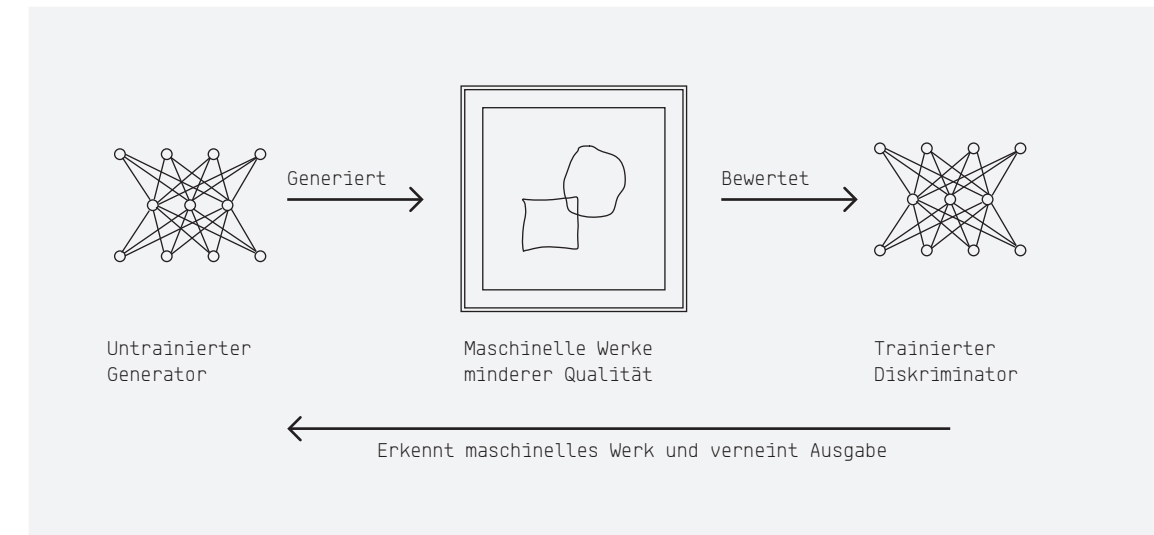
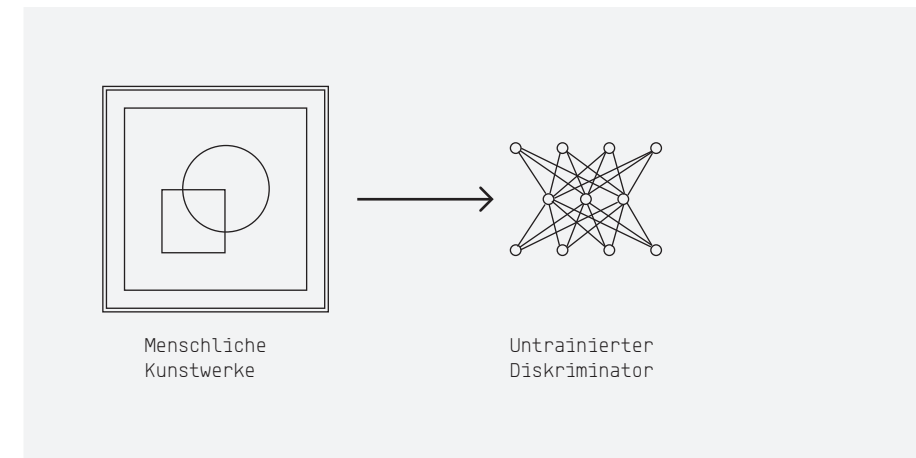
Generative Adversarial Networks sind Computeralgorithmen, welche meist dazu dienen möglichst realistische Bilder komplett synthetisch zu generieren. Sie werden mit tausenden oder zehntausenden echten Bildern trainiert, um nach ausreichend Training Bilder von Gesichtern, Tieren, Schlafzimmern oder ganze Landschaften zu generieren.

Das Erzeugen von fotorealistischen Resultaten in hoher Auflösung mit privat zugänglichen Computersystemen ist erst seit wenigen Monaten vor Veröffentlichung dieses Werkes möglich. GAN's wurden in ihrer Rohform erstmals 2013 beschrieben und 2014 konkretisiert.

Neben der synthetischen Natur von GAN's sind diese Arten von Machine Learning Algorithmen interessant, weil sie unbewacht lernen. Statt von einem menschlichen Überwacher abhängig zu sein, der die Resultate oft mehrere tausend Mal bewerten müsste, um dem Algorithmus beizubringen, was richtig und falsch ist, bestehen GAN's aus zwei *künstlichen neuronalen Netzwerken* – KNN's. Während eines dieser Netzwerke, genannt „Generator“, beispielsweise Gemälde auf Zufallsbasis generiert, trainiert ein zweites KNN, genannt „Diskriminator“, zwischen den künstlich generierten, „falschen“ Daten des Generators und menschlich eingegebenen, „echten“ Daten zu unterscheiden. Hat dieser ausreichend gelernt, echte und falsche Bilder zu unterscheiden, so wird er zu Anfang erkennen, dass die Bilder des Generators nicht echt sind, sondern künstlich generiert. Er verneint die Ausgabe an den menschlichen Überwacher, sodass sein generativer

Konkurrent erneut Bilder erstellt, welche minimal echter wirken als seine vorherigen. Wird dies iterativ wiederholt, so kann irgendwann der Diskriminatior nicht mehr erkennen, ob die vom Generator erstellten Bilder echt sind. Erst hier braucht der Überwacher einzutreten und die Bilder zu beurteilen. Je nach Qualität des Diskriminators ist dann selbst der Mensch nicht mehr in der Lage, zwischen echten Bildern und vom Generator erstellten zu unterscheiden.

Von den wenig öffentlich zugänglichen GAN's benötigen alle erhebliche Rechenleistung. Um fotorealistische Portraits in einer Auflösung von 1024^2 Pixeln zu generieren, brauchen konventionelle Heimrechner mehrere Wochen oder Monate, Laptops sogar Jahre. Die effizientesten GAN's können diese Resultate mit den stärksten heute zugänglichen Grafikkarten in einigen Tagen erreichen.



Progressive Growing of GAN's

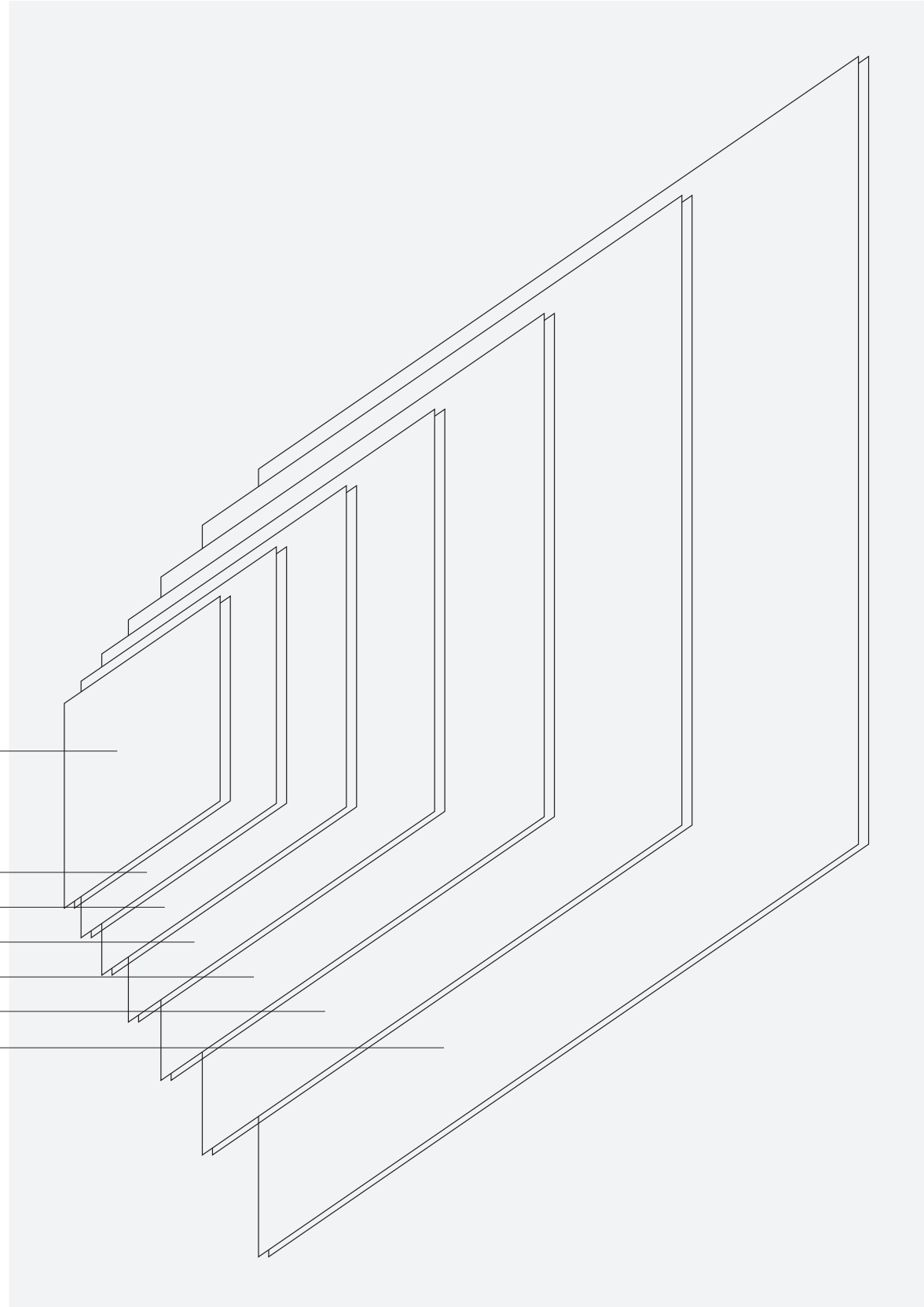
Im Oktober 2017 stellten Tero Karras, Timo Aila, Samuli Laine und Jaakko Lehtinen ein hocheffizientes GAN vor. Dieses trainiert nicht linear, sondern progressiv. Die Trainingsbilder werden erst in unterschiedlich niedrige Auflösungen konvertiert. Durch den wesentlich geringeren Informationsgehalt von niedrigauflösenden Bildern, können die darin enthaltenden Informationen wesentlich schneller erlernt werden. Schrittweise wird die Auflösung erhöht und die neuronalen Netzwerke erlernen die mit der Pixelanzahl wachsenden Informationen. Dabei erinnern sie sich bei jedem Schritt an die erlernten Informationen aus der vorherigen, niedrigeren Auflösung und müssen das hochauflösende Bild nur zum Teil neu analysieren.

Dieser Algorithmus zählt zum Zeitpunkt der Veröffentlichung zu den effizientesten GAN's und ist in der Lage nach einigen Tagen bis wenigen Wochen Training auf Grafikkarten mit Maximalleistung wie der NVIDIA V100, menschliche Gesichter in 1024^2 Pixeln zu generieren, die mit echten kaum noch zu unterscheiden sind. Dieser Fortschritt in der GAN Entwicklung ist bisher nur in einigen wenigen Algorithmen implementiert.

Der Zeitaufwand des Trainings ist um ein Vielfaches geringer als bei linearem Training. Nur so ist es möglich mit einem realistischen Budget, Bilder in angemessener Auflösung zu generieren.

ZEIT ↓

8x8
16x16
32x32
64x64
128x128
256x256
512x512



Training und Genres

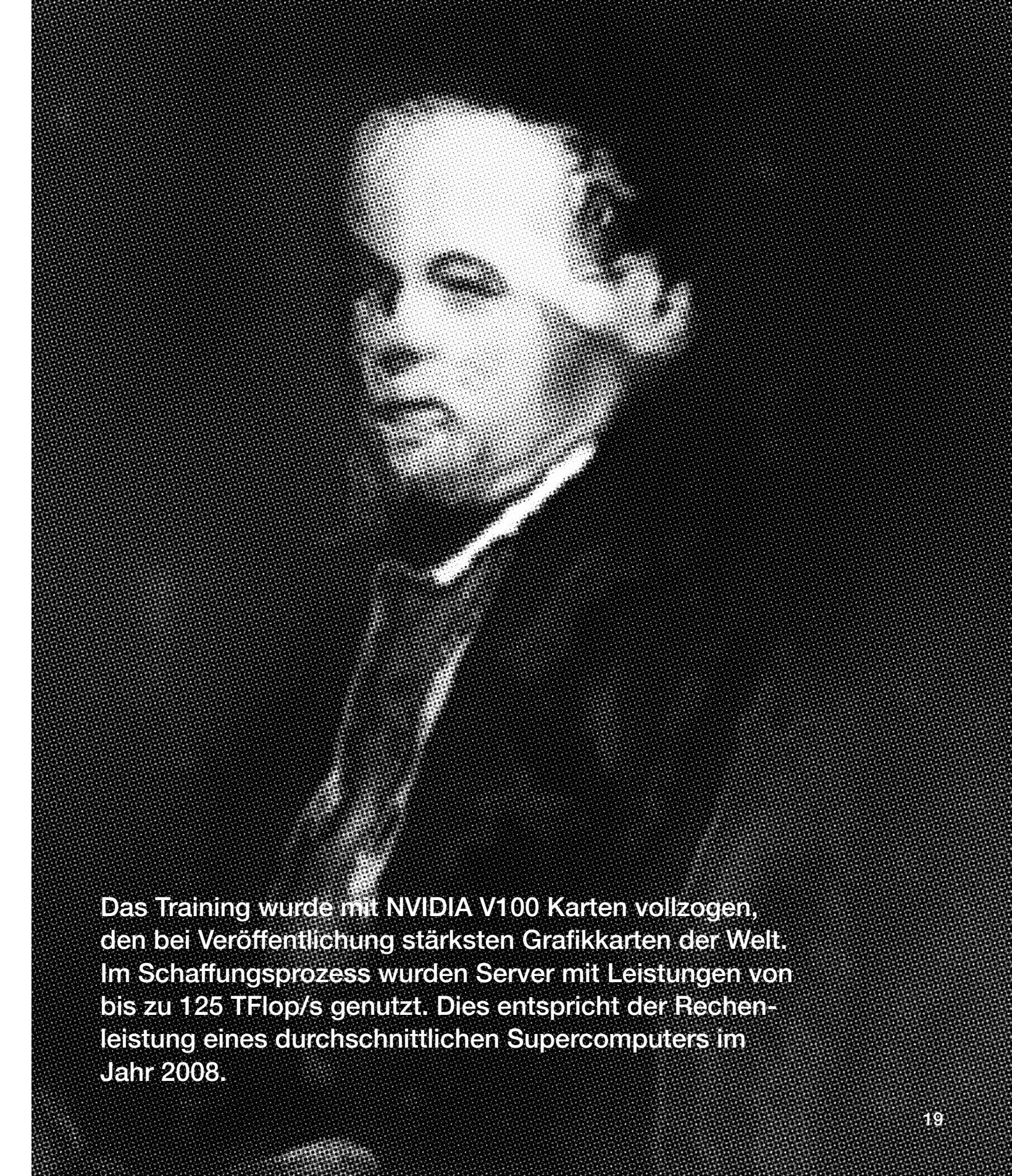
Dieses Projekt hat zwei Programme geschaffen, wobei eines dieser Programme auf Portraits und das andere auf abstrakte Werke trainiert ist. Beide wurden mit zweidimensionalen Kunstwerken der öffentlichen Domain über drei Tage trainiert.

Portrait

Abstrakt

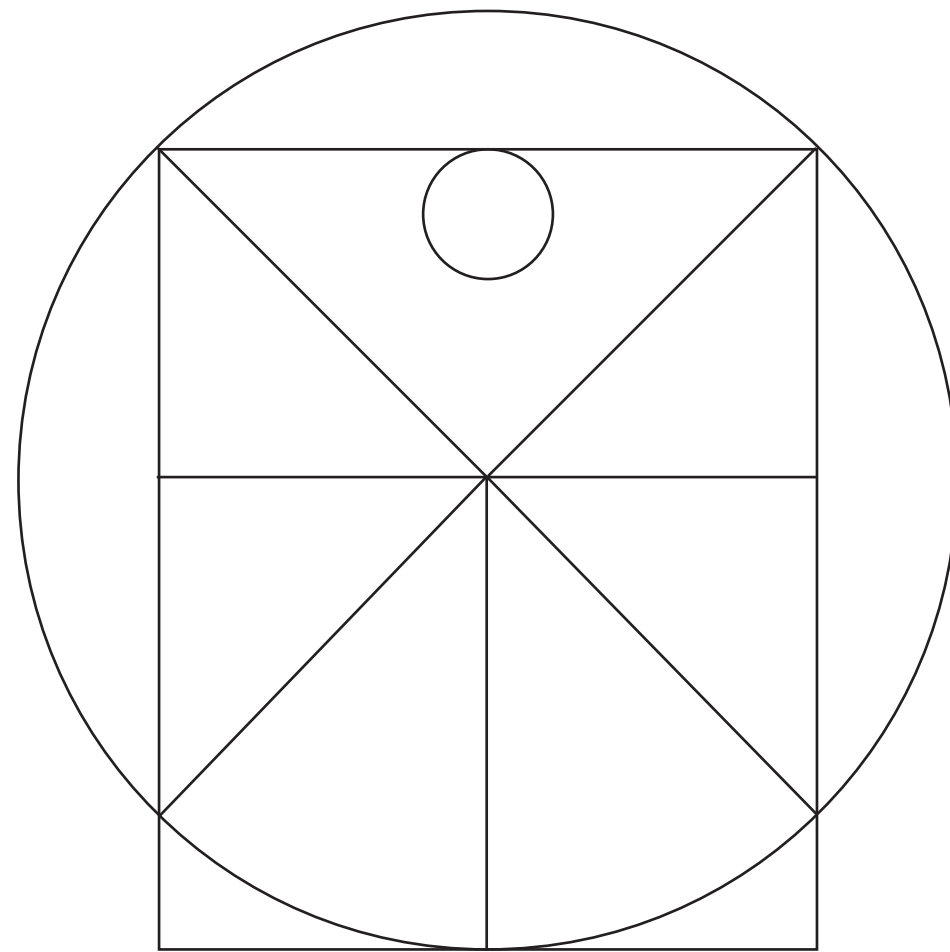
Hierbei wurden 14125 Portrait's und Selbst-Portraits aus allen verfügbaren Zeitepochen, von Abbildungen auf Vasen aus der Antike, bis zu kubistischen Darstellungen von Picasso genutzt. Die Herausforderung des Algorithmus ist es, Muster wie Gesichter zu erkennen, die gerade in stark abstrahierten Werken kaum erkennbar sind. Die Bilder wurden nicht beispielsweise in Epochen selektiert, um der Maschine das menschenähnliche Generieren zu erleichtern. Stattdessen war der Computer darauf angewiesen, einzelne Stile und Richtungen zu unterscheiden, um so in der Lage zu sein, visuell komplett unterschiedliche Werke zu erstellen. Das Computerprogramm arbeitet mit quadratischen Bildern. Um bei einem Zuschneid zu garantieren, dass ein Gesicht im Bild ist, wurde eine Gesichtserkennungssoftware verwendet, um Gesichter im Bild zu identifizieren und das Bild anhand dieses Gesichtes anzuschneiden.

Für dieses Training wurden 7360 Werke mit der Stileigenschaft „Abstrakt“ ausgewählt. Die komplette visuelle Streuung, nicht nur durch künstlerische Interpretation des Motivs, sondern auch durch die Vielzahl an Motiven selber, ist eine sehr große Hürde im Lernprozess. Während Portraits zumindest inhaltlich eine Gleichheit aufweisen, muss der Algorithmus hier mit Darstellungen von Häusern, Menschen, Landschaften oder anderen Objekten arbeiten. Dabei ist ihm ein fotorealistischer Blick auf diese Dinge komplett fremd. Er erkennt das, was Menschen in diesen Dingen sehen – weit über das rein visuelle Sehen hinaus.



Das Training wurde mit NVIDIA V100 Karten vollzogen, den bei Veröffentlichung stärksten Grafikkarten der Welt. Im Schaffungsprozess wurden Server mit Leistungen von bis zu 125 TFlop/s genutzt. Dies entspricht der Rechenleistung eines durchschnittlichen Supercomputers im Jahr 2008.

Werke Portrait



Die Maschine lernt über drei Tage menschliche Interpretationen von anderen Menschen. Weder Epoche, noch Stil wurden selektiert, um dem Algorithmus bei der Suche nach Mustern zu helfen. Er verarbeitet 14125 verschiedene Portraits und Selbst-Portraits. Fragile Konturzeichnungen, dramatische Barockgemälde und Pastellbilder des Impressionismus, müssen verarbeitet und unterschieden werden.

Während realistische Gemälde der Renaissance das Erkennen von Gesichtern erleichtern, muss der Algorithmus den Unterschied zu abstrakten Portraits erlernen. Ihm wird nicht die Aufgabe gegeben, herauszufinden wie ein Gesicht wahrhaftig aussieht, sondern wie Menschen arbeiten, wenn sie ihre eigene Vision des Gegenüber darstellen.

So beginnt der Algorithmus eine weites Spektrum aus Stilen und Darstellungstechniken zu erlernen. Er demonstriert ein gewissen Durchschnitt, auf seiner Suche nach dem Menschlichen in den Bildern. Das Programm ist kein Drucker, das Imitate erschafft, sondern das Ergebnis einer hoch frequentierten Suche nach den menschlichen Parallelen in dem Chaos aus Bildern etlicher Epochen, Stile und Maler.



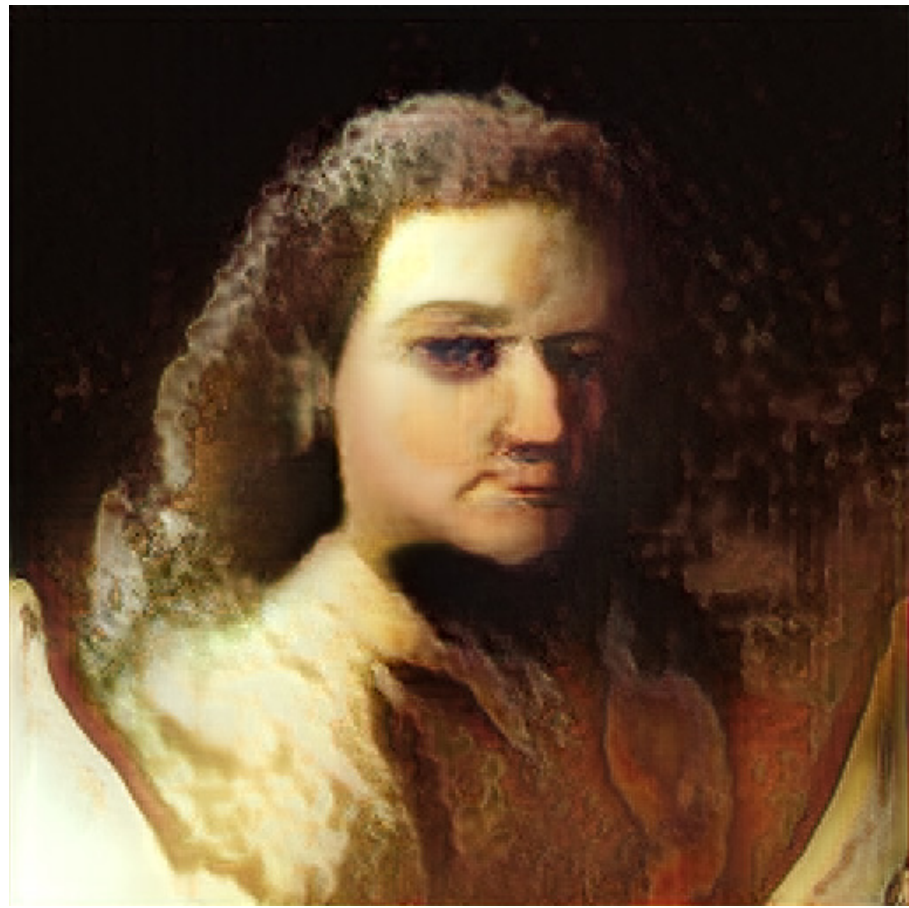
—
Seed Unbekannt
FP16 & FP32 bei 8062 Bildern
512² Pixel



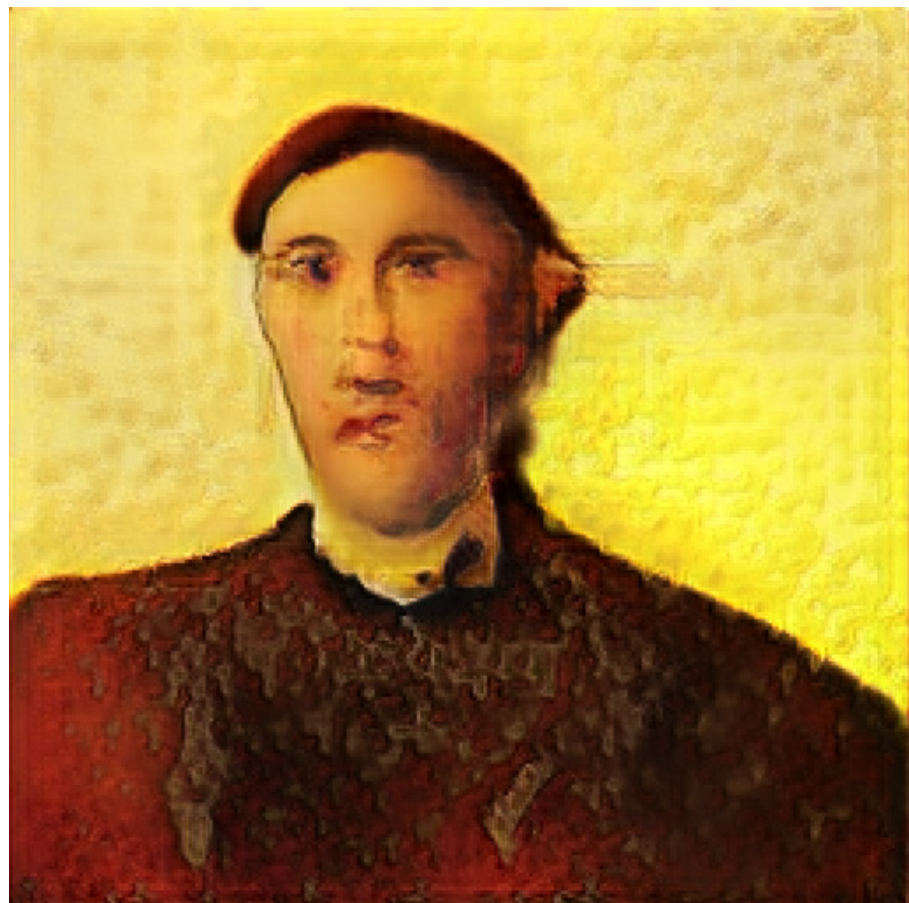
—
Seed Unbekannt
FP16 & FP32 bei 8062 Bildern
512² Pixel



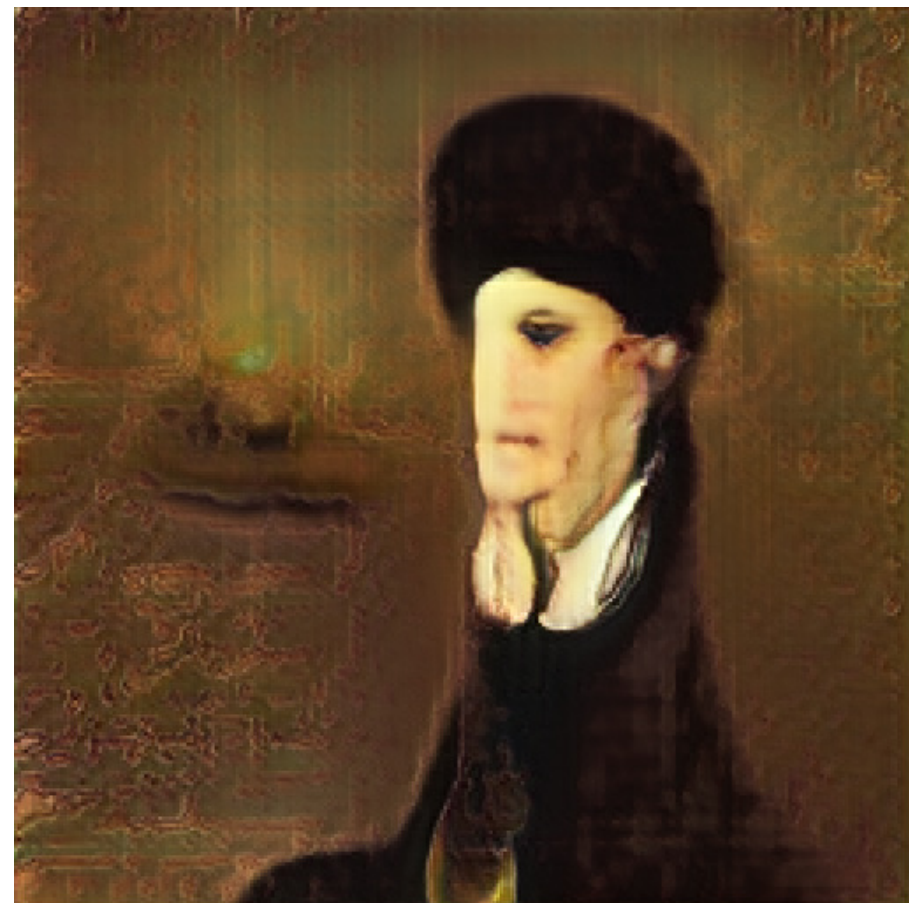
—
Seed Unbekannt
FP16 & FP32 bei 8062 Bildern
512² Pixel



Seed 3
FP16 & FP32 bei 8062 Bildern
512² Pixel



Seed Unbekannt
FP16 & FP32 bei 8062 Bildern
512² Pixel



Seed Unbekannt
FP16 & FP32 bei 8062 Bildern
512² Pixel



—
Seed Unbekannt
FP16 & FP32 bei 8062 Bildern
512² Pixel



—
Seed Unbekannt
FP16 & FP32 bei 8062 Bildern
512² Pixel



—
Seed 20
FP16 & FP32 bei 8062 Bildern
512² Pixel



—
Seed Unbekannt
FP16 & FP32 bei 8062 Bildern
512² Pixel



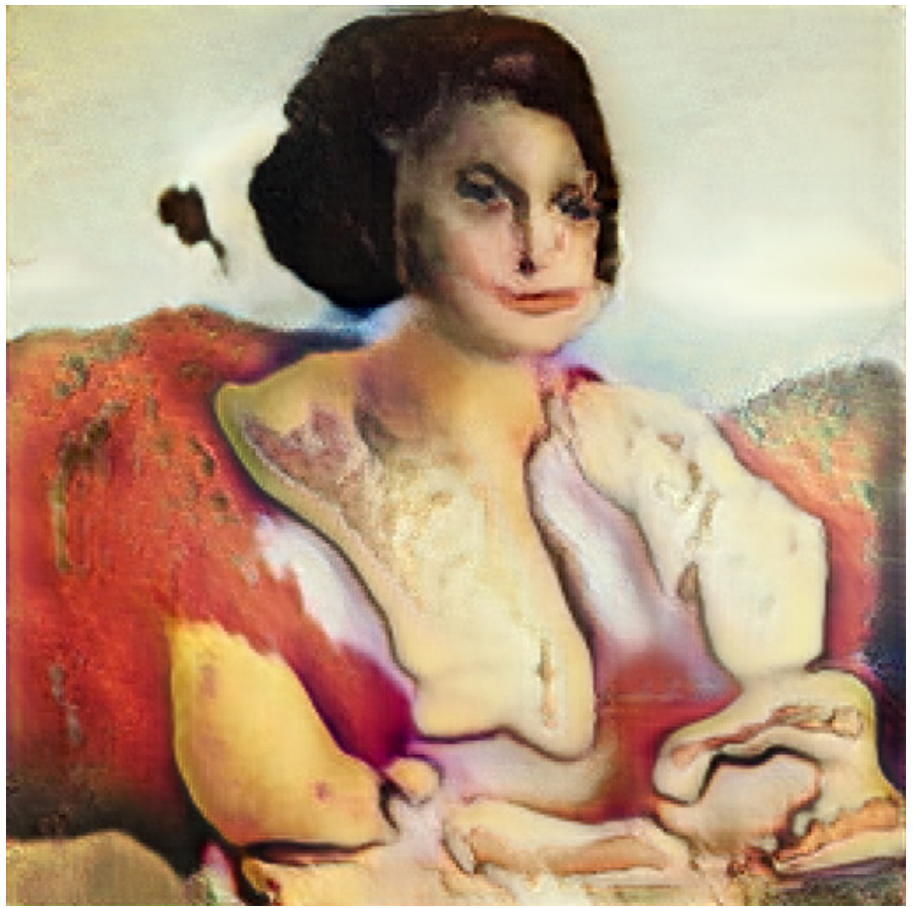
—
Seed Unbekannt
FP16 & FP32 bei 8062 Bildern
512² Pixel



—
Seed Unbekannt
FP16 & FP32 bei 8062 Bildern
512² Pixel



Seed 21
FP16 & FP32 bei 8062 Bildern
512² Pixel



—
Seed Unbekannt
FP16 & FP32 bei 8062 Bildern
512² Pixel

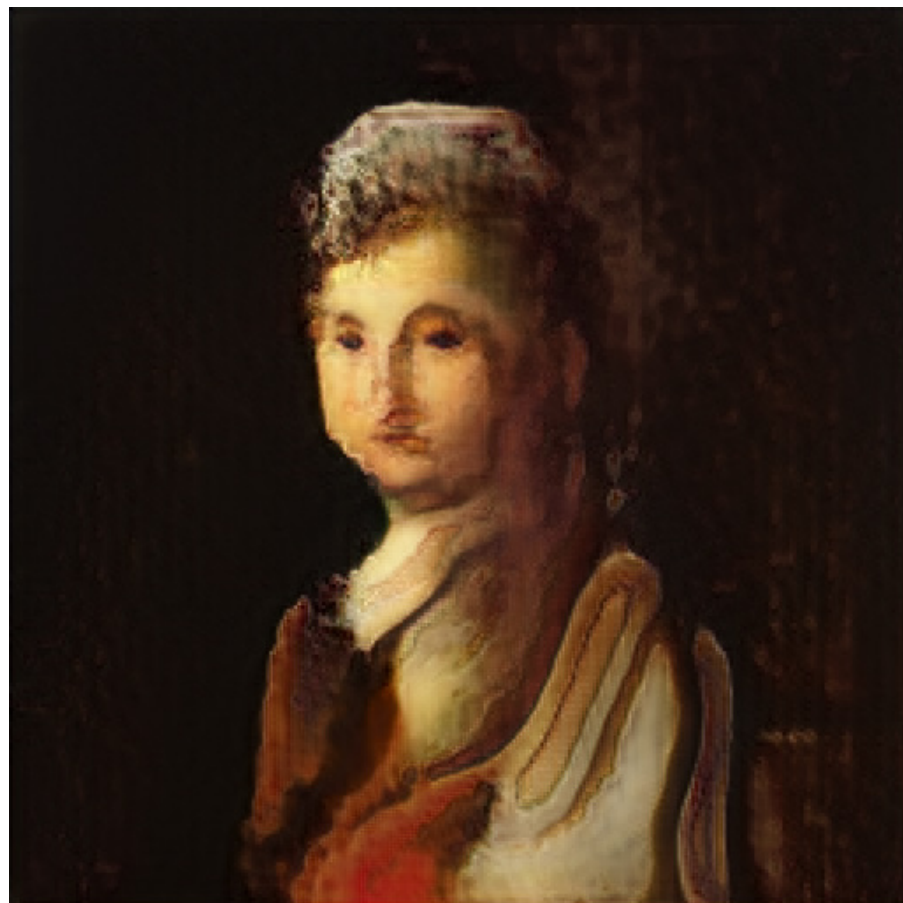


Seed unbekannt
FP16 & FP32 bei 8062 Bildern
512² Pixel

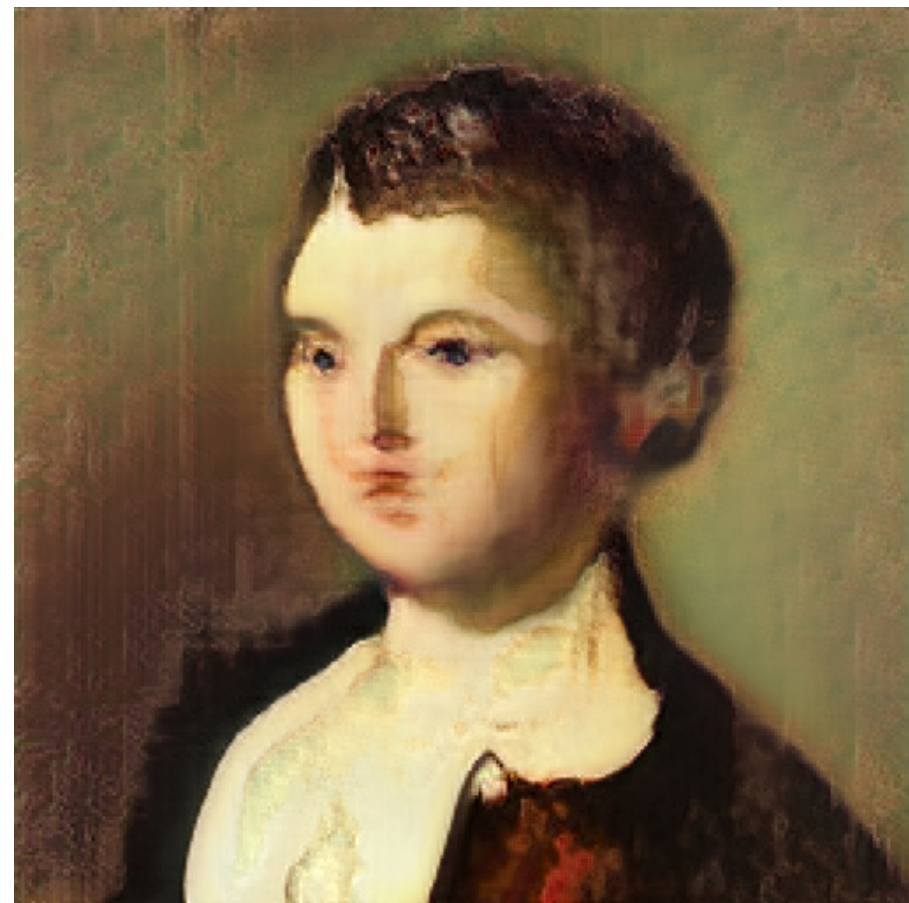
„Die drei Geschwister“. Man beachte die fast gleichen Gesichter, die zweimal auf einem weiblichen Körper und einmal auf einem männlichen verwendet wurden.



—
Seed Unbekannt
FP16 & FP32 bei 8062 Bildern
512² Pixel



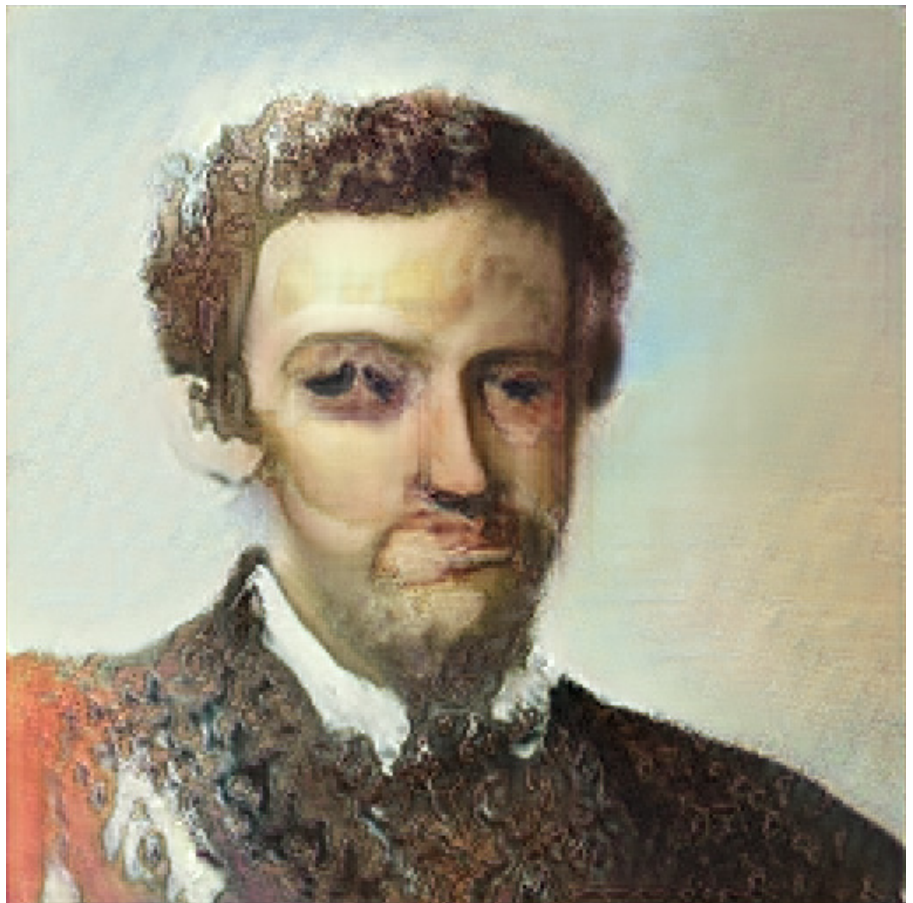
—
Seed Unbekannt
FP16 & FP32 bei 8062 Bildern
512² Pixel



—
Seed Unbekannt
FP16 & FP32 bei 8062 Bildern
512² Pixel



—
Seed Unbekannt
FP16 & FP32 bei 8062 Bildern
512² Pixel



—
Seed Unbekannt
FP16 & FP32 bei 8062 Bildern
512² Pixel



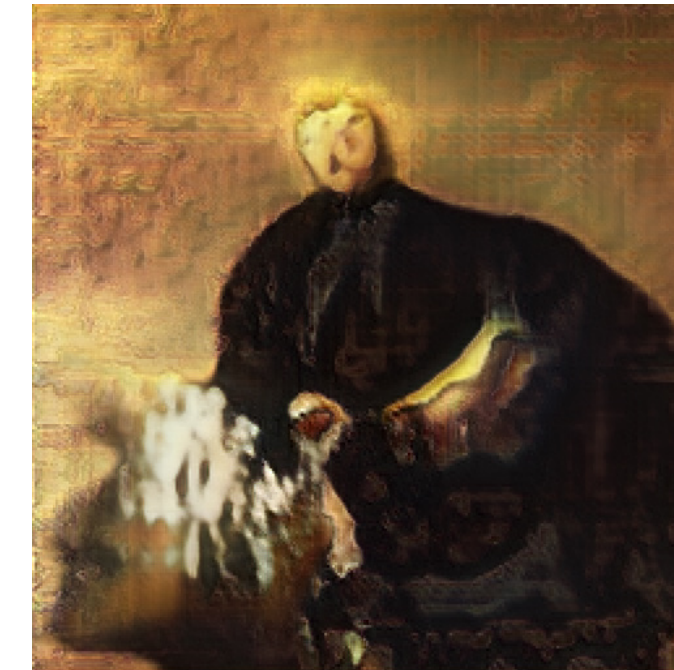
—
Seed Unbekannt
FP16 & FP32 bei 8062 Bildern
512² Pixel



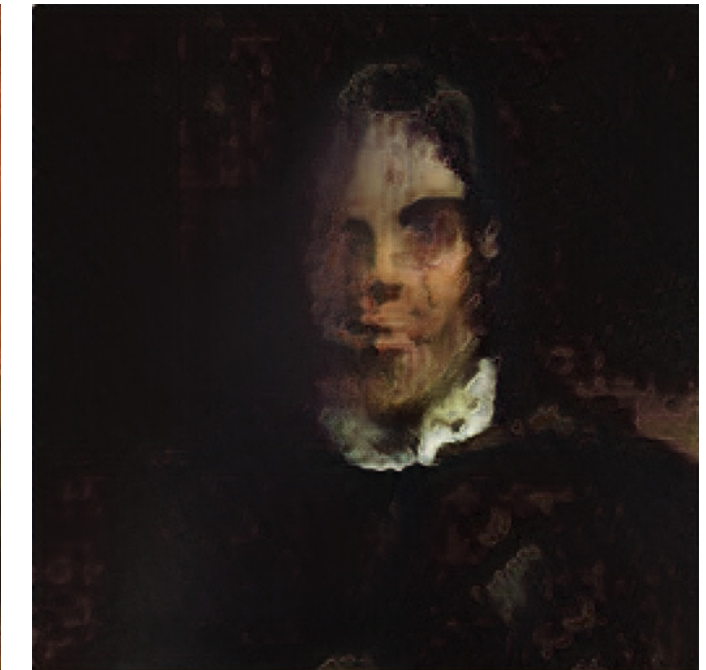
—
Seed Unbekannt
FP16 & FP32 bei 8062 Bildern
512² Pixel



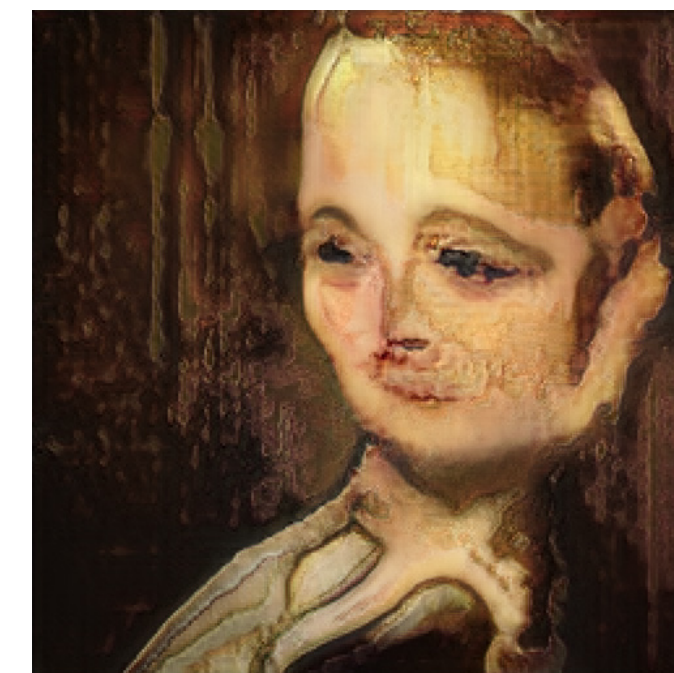
—
Seed 9
FP16 & FP32 bei 8062 Bildern
512² Pixel



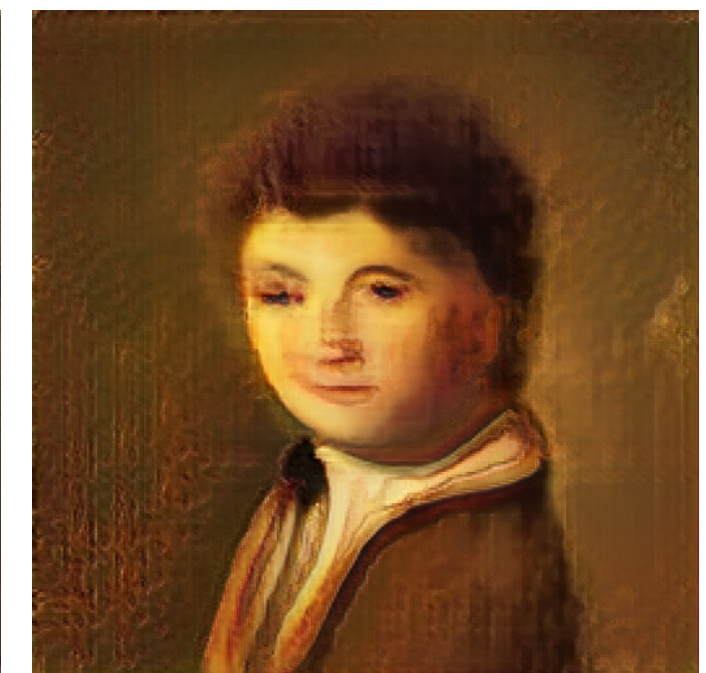
—
Seed 13
FP16 & FP32 bei 8062 Bildern
512² Pixel



—
Seed 27
FP16 & FP32 bei 8062 Bildern
512² Pixel



—
Seed 22
FP16 & FP32 bei 8062 Bildern
512² Pixel



—
Seed unbekannt
FP16 & FP32 bei 8062 Bildern
512² Pixel



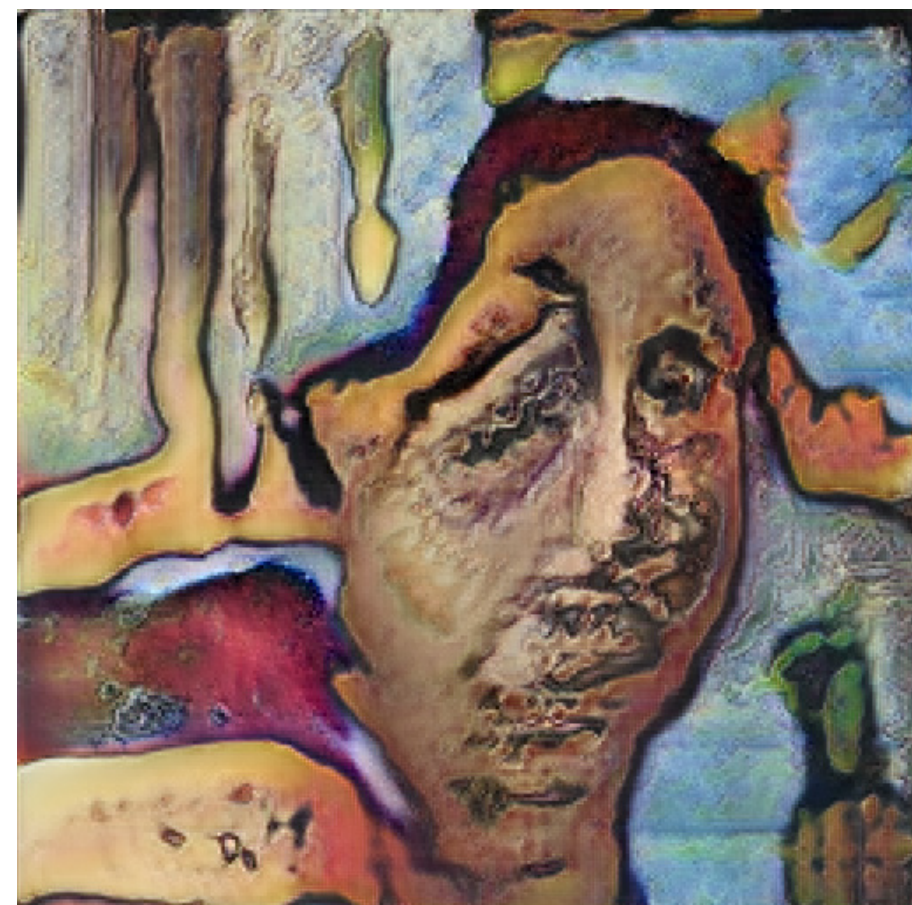
—
Seed Unbekannt
FP16 & FP32 bei 8062 Bildern
512² Pixel



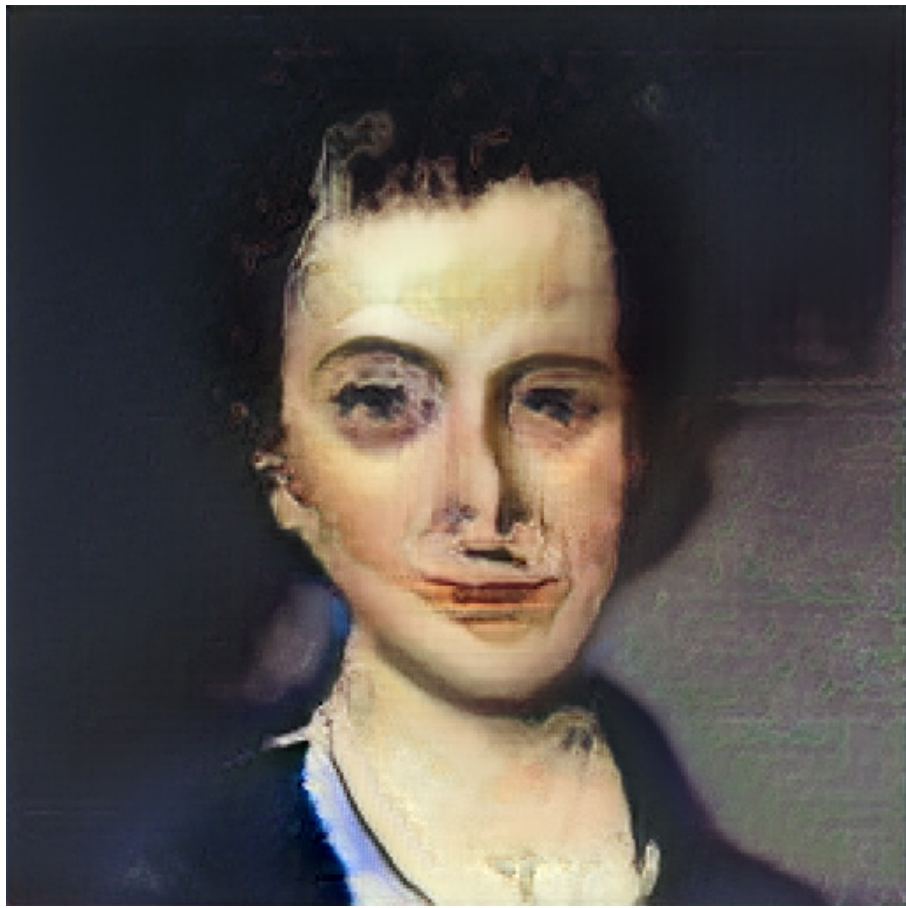
—
Seed Unbekannt
FP16 & FP32 bei 8062 Bildern
512² Pixel



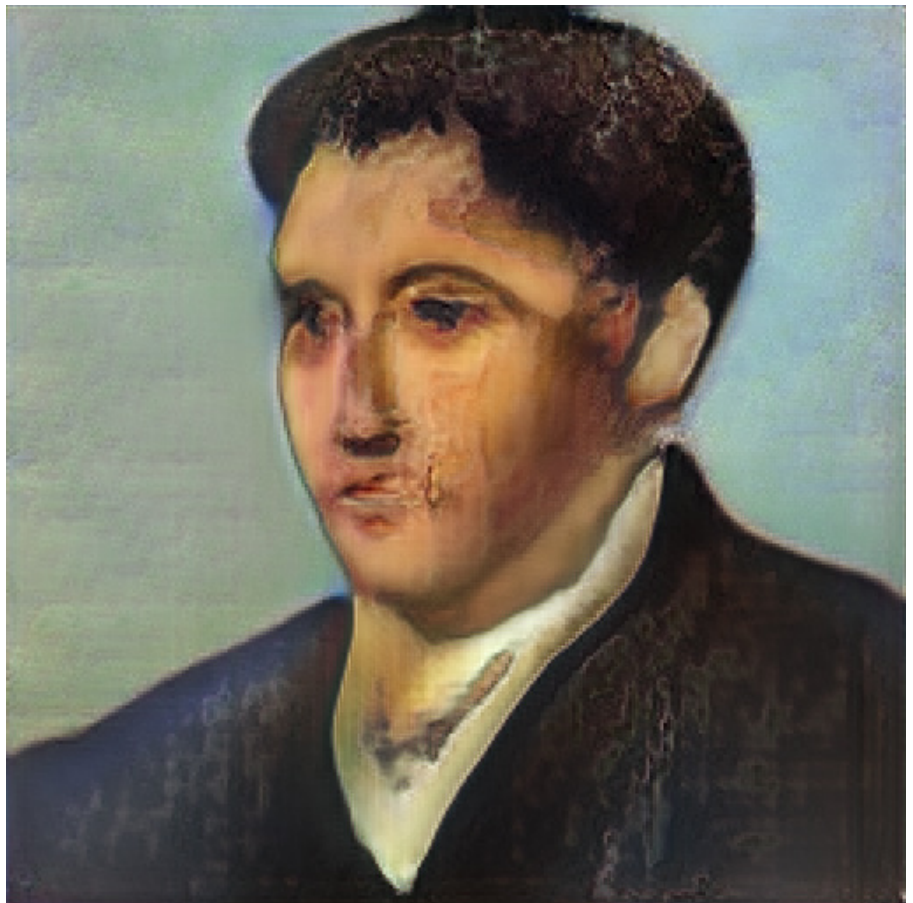
Seed Unbekannt
FP16 & FP32 bei 8062 Bildern
512² Pixel



Seed Unbekannt
FP16 & FP32 bei 8062 Bildern
512² Pixel



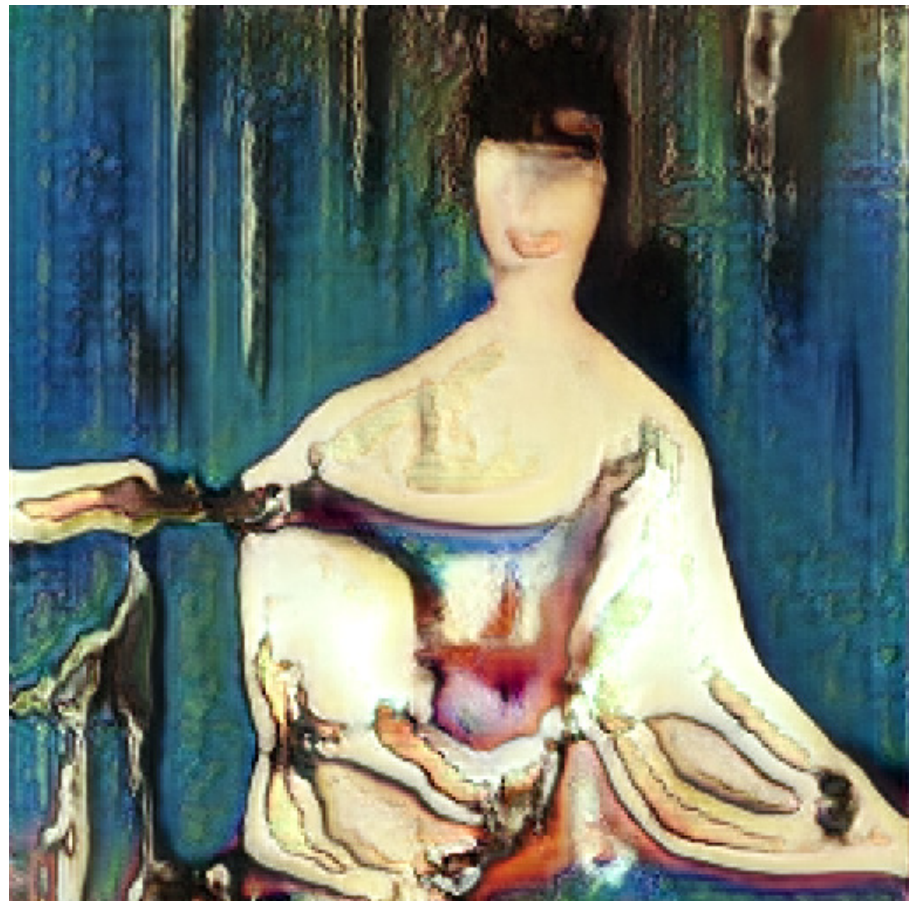
—
Seed Unbekannt
FP16 & FP32 bei 8062 Bildern
512² Pixel



—
Seed Unbekannt
FP16 & FP32 bei 8062 Bildern
512² Pixel

—
Seed Unbekannt
FP16 & FP32 bei 8062 Bildern
512² Pixel





—
Seed Unbekannt
FP16 & FP32 bei 8062 Bildern
512² Pixel



—
Seed Unbekannt
FP16 & FP32 bei 8062 Bildern
512² Pixel

Seed Unbekannt
FP16 & FP32 bei 8062 Bildern
512² Pixel

Seed Unbekannt
FP16 & FP32 bei 8062 Bildern
512² Pixel

Seed Unbekannt
FP16 & FP32 bei 8062 Bildern
512² Pixel

Seed Unbekannt
FP16 & FP32 bei 8062 Bildern
512² Pixel

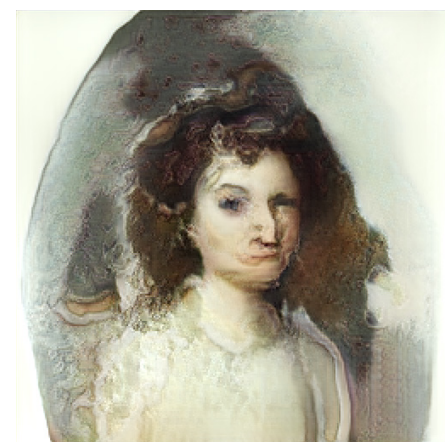
Seed Unbekannt
FP16 & FP32 bei 8062 Bildern
512² Pixel

Seed Unbekannt
FP16 & FP32 bei 8062 Bildern
512² Pixel

Seed Unbekannt
FP16 & FP32 bei 8062 Bildern
512² Pixel

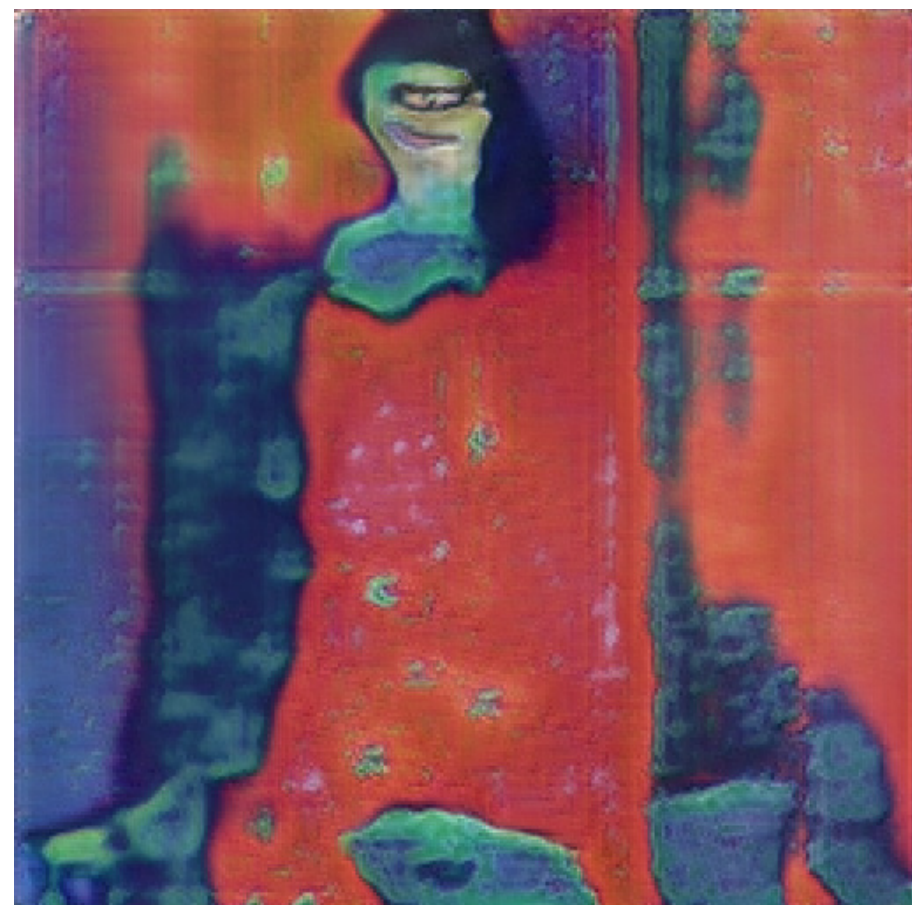
Seed Unbekannt
FP16 & FP32 bei 8062 Bildern
512² Pixel

Seed Unbekannt
FP16 & FP32 bei 8062 Bildern
512² Pixel





—
Seed Unbekannt
FP16 & FP32 bei 8062 Bildern
512² Pixel



—
Seed Unbekannt
FP16 & FP32 bei 8062 Bildern
512² Pixel



—
Seed Unbekannt
FP16 & FP32 bei 8062 Bildern
512² Pixel



—
Seed Unbekannt
FP16 & FP32 bei 8062 Bildern
512² Pixel



Seed Unbekannt
FP16 & FP32 bei 8062 Bildern
512² Pixel

Die Maschine verarbeitet sowohl Gemälde mit intensiven Farben, wie auch Zeichnungen oder Karikaturen. Wie hier zu sehen, ist sie genauso in der Lage minimalistische Konturzeichnungen zu erschaffen, wie sie gefüllte Barockgemälde mit vollem Chiaroscuro generieren kann.



—
Seed Unbekannt
FP16 & FP32 bei 8062 Bildern
 512^2 Pixel



—
Seed Unbekannt
FP16 & FP32 bei 8062 Bildern
 512^2 Pixel



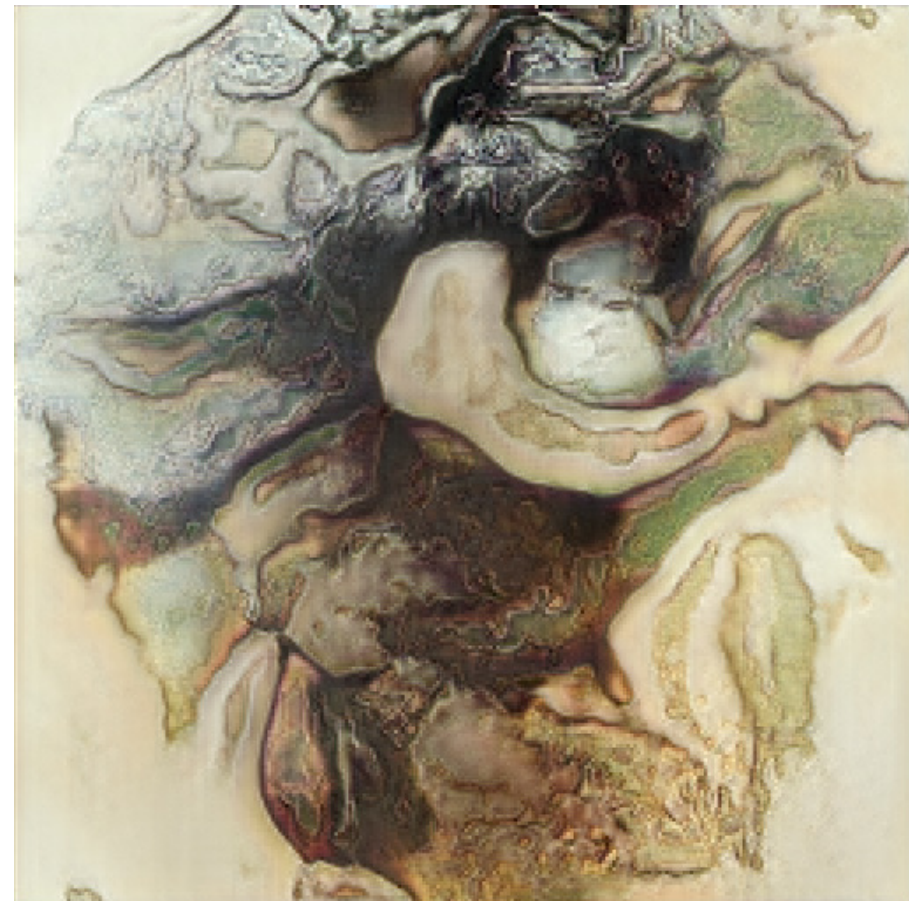
—
Seed Unbekannt
FP16 & FP32 bei 8062 Bildern
512² Pixel



—
Seed Unbekannt
FP16 & FP32 bei 8062 Bildern
512² Pixel



—
Seed Unbekannt
FP16 & FP32 bei 8062 Bildern
512² Pixel



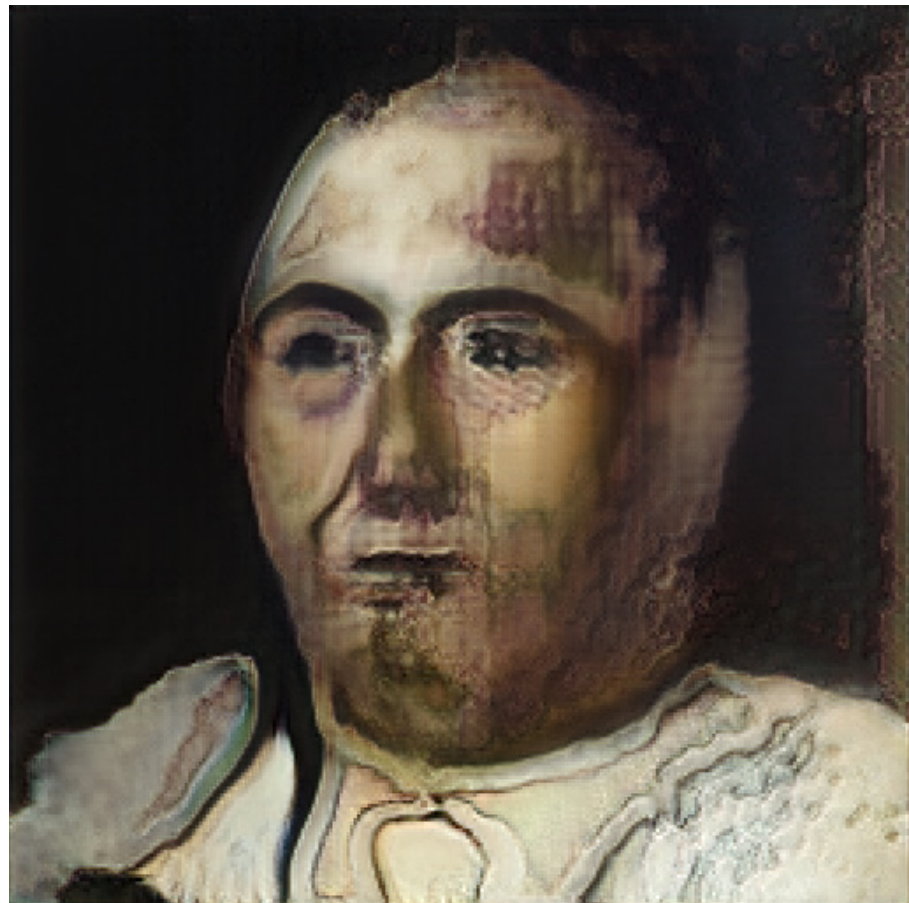
—
Seed Unbekannt
FP16 & FP32 bei 8062 Bildern
512² Pixel



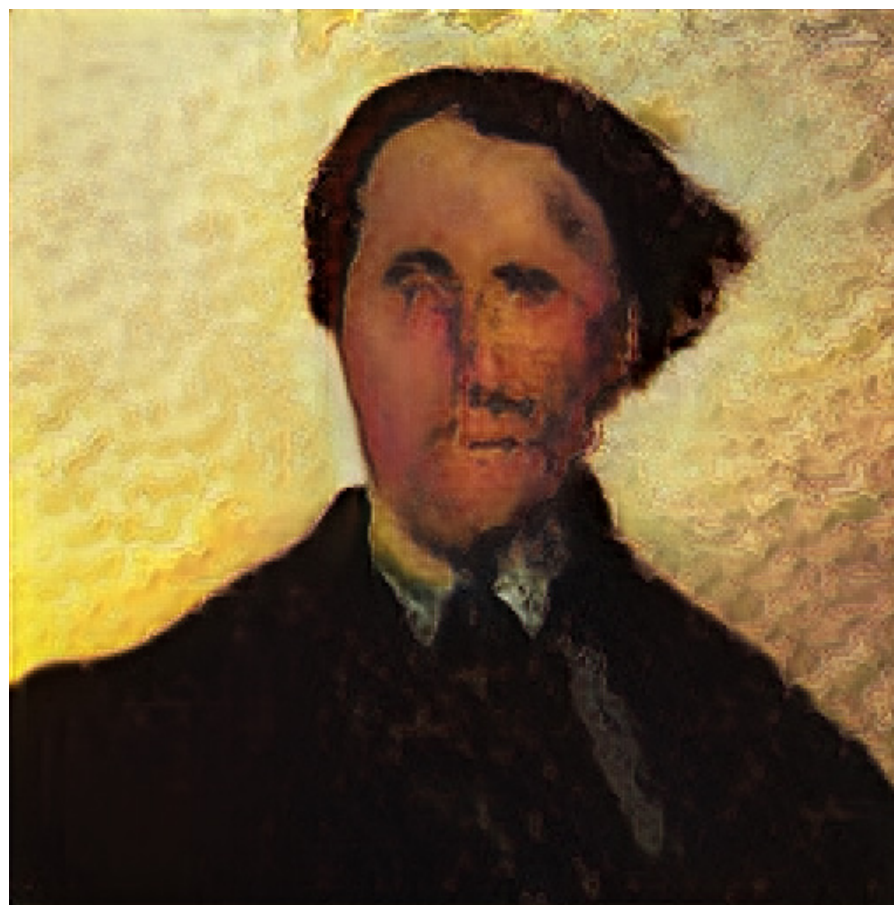
—
Seed Unbekannt
FP16 & FP32 bei 8062 Bildern
512² Pixel



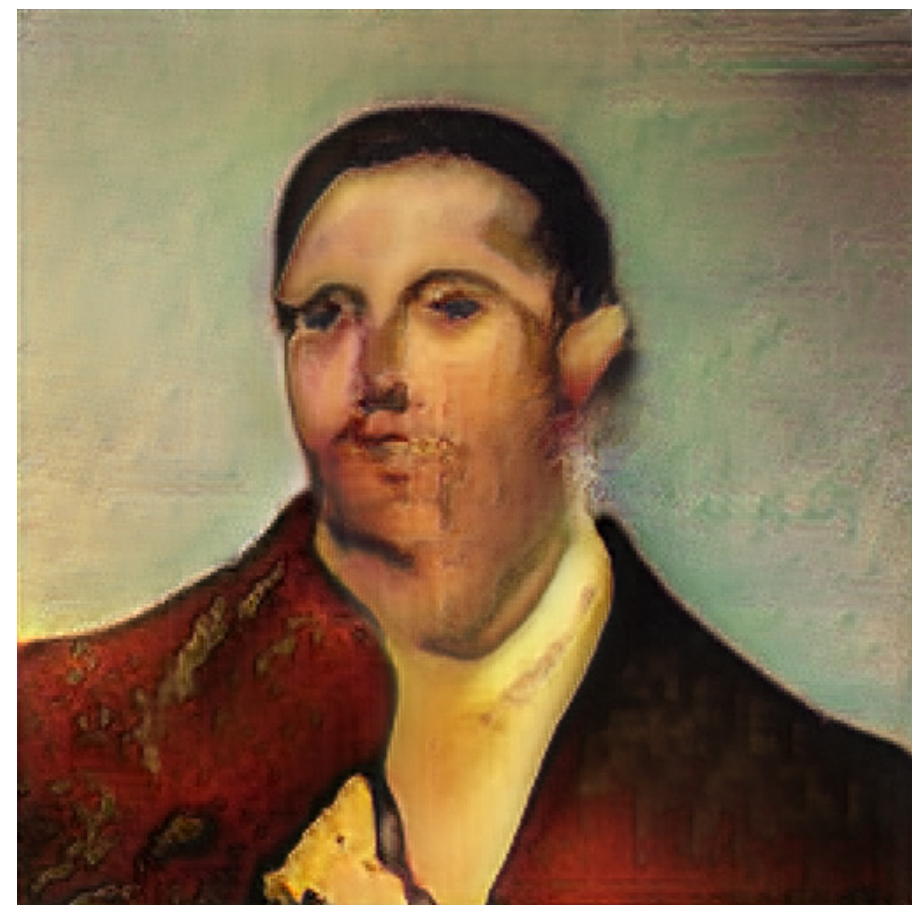
—
Seed Unbekannt
FP16 & FP32 bei 8062 Bildern
512² Pixel



—
Seed Unbekannt
FP16 & FP32 bei 8062 Bildern
512² Pixel



—
Seed Unbekannt
FP16 & FP32 bei 8062 Bildern
512² Pixel



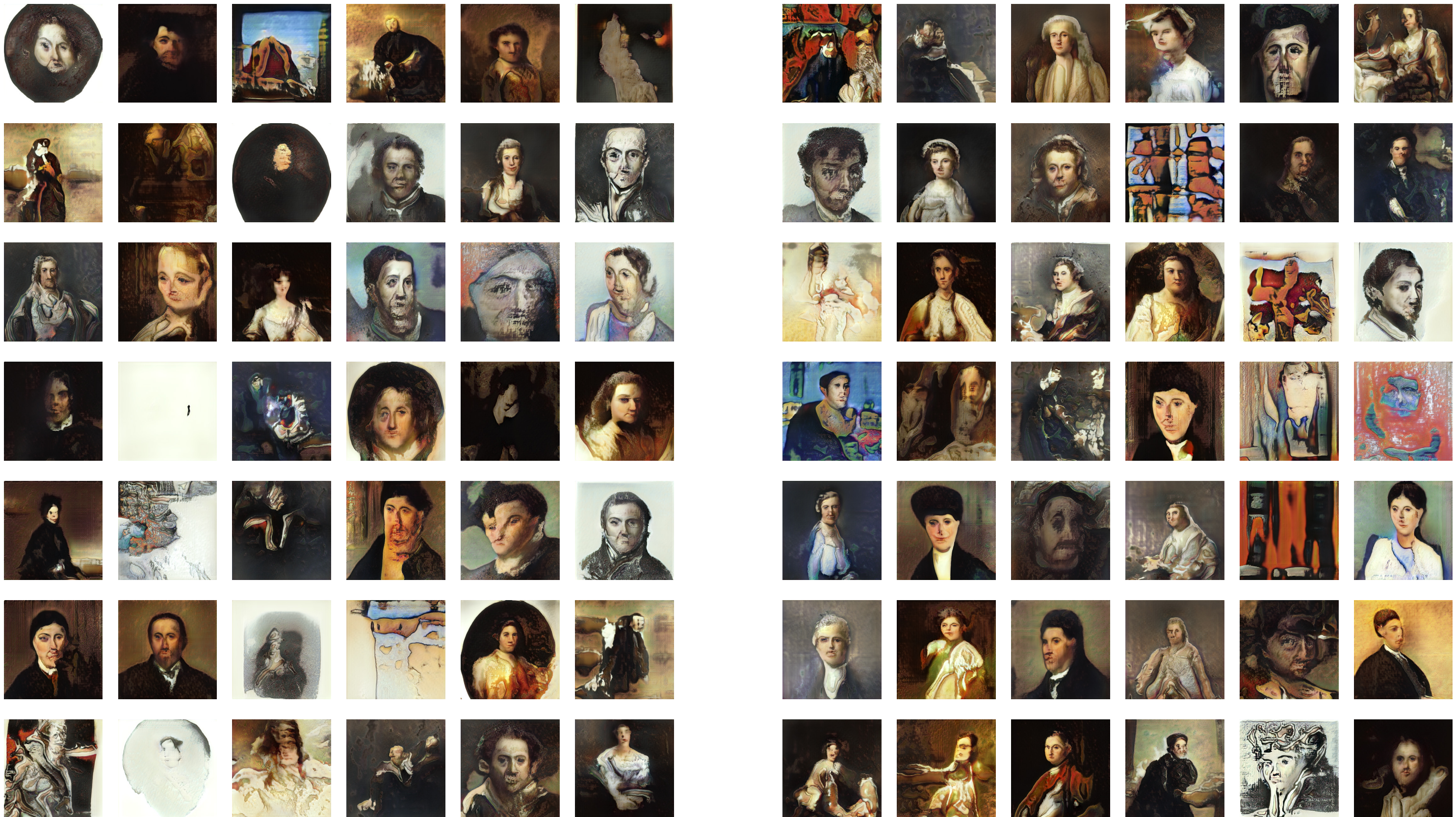
—
Seed Unbekannt
FP16 & FP32 bei 8062 Bildern
512² Pixel

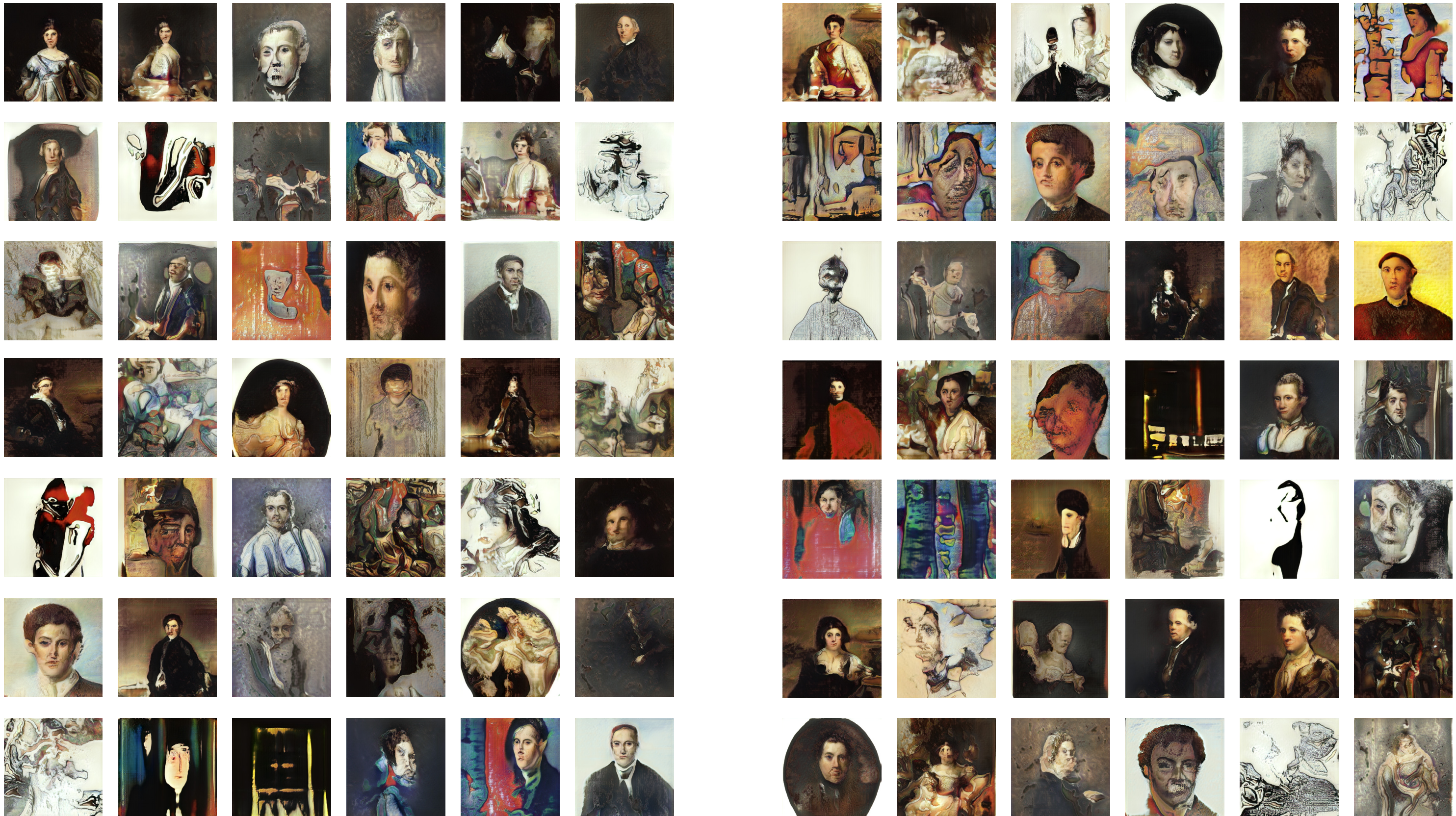


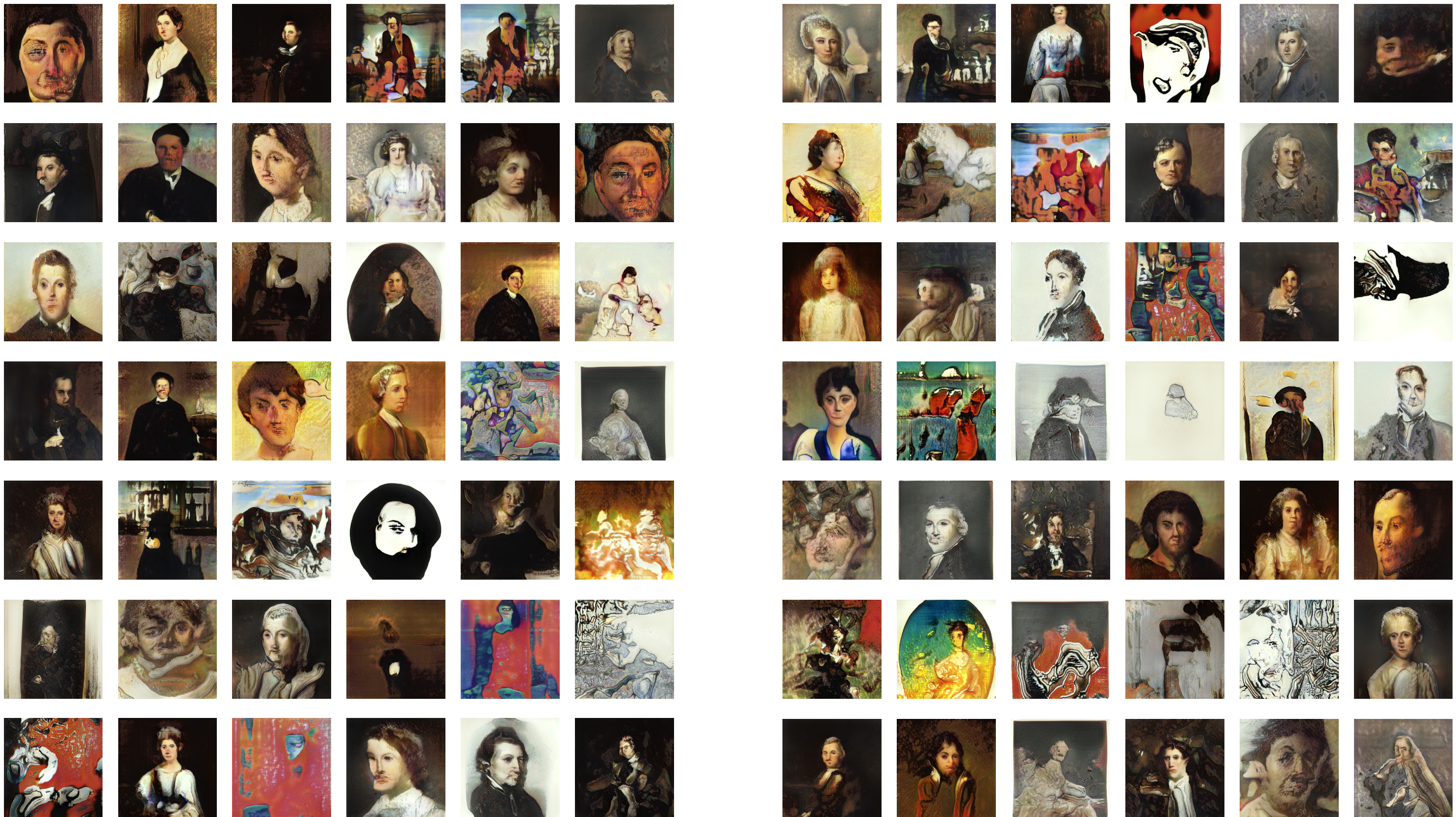
—
Seed Unbekannt
FP16 & FP32 bei 8062 Bildern
512² Pixel

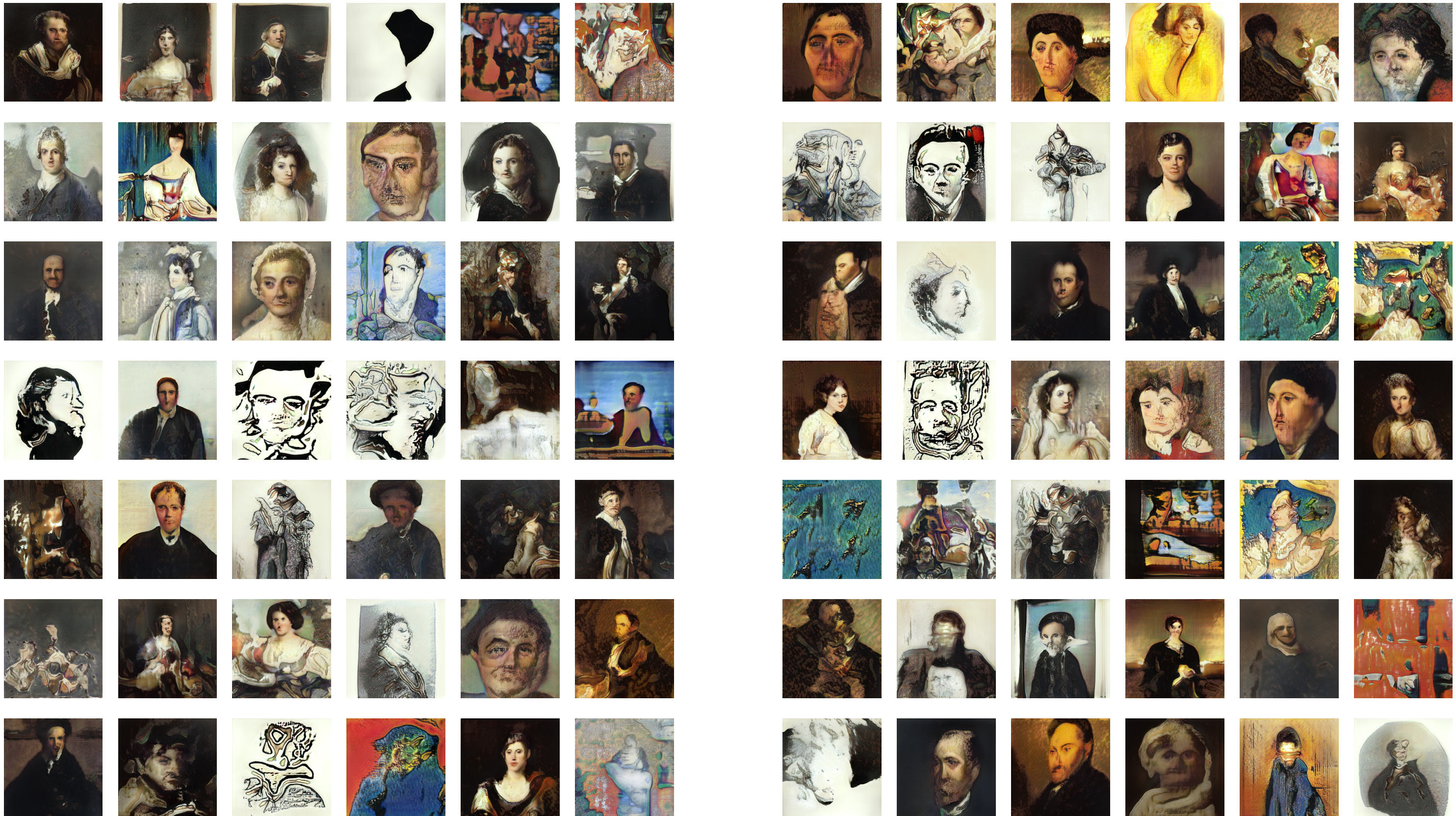


—
Seed Unbekannt
FP16 & FP32 bei 8062 Bildern
512² Pixel









Machines describing man, as described by machines

Google's AutoML Vision ermöglicht es, beliebige Bilder von einer Software auf KI Basis mit unterschiedlichen Eigenschaften zu bewerten. Dieser Algorithmus kann den Inhalt von Bildern erkennen, beschreiben und in unterschiedlicher Weise kategorisieren. Um einen Einblick zu geben, was eine Maschine von maschinengenerierter Kunst hält, wurden verschiedene Werke von dieser externen KI analysiert und bewertet.



Labels

Portrait	95%
Self-portrait	95%
Art	88%
Head	88%
Painting	85%
Illustration	79%
Visual Arts	79%
Jaw	74%
Drawing	72%
Modern Art	64%
Sketch	54%
Artist	53%

Faces

Joy	Very unlikely
Sorrow	Very unlikely
Anger	Very unlikely
Surprise	Very unlikely
Exposed	Very unlikely
Blurred	Very unlikely
Headwear	Very unlikely

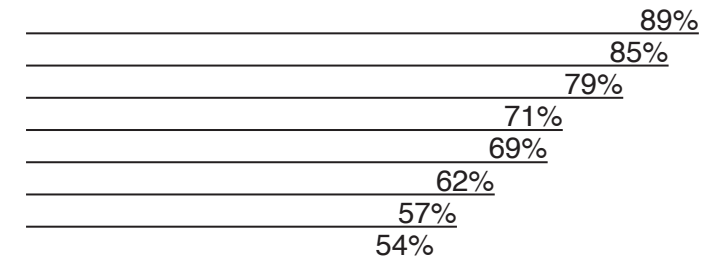
Roll: -2° Tilt: 2° Pan: 10°

Confidence 72%



Labels

Head
Illustration
Art
Portrait
Self-portrait
Drawing
Jaw
T-shirt

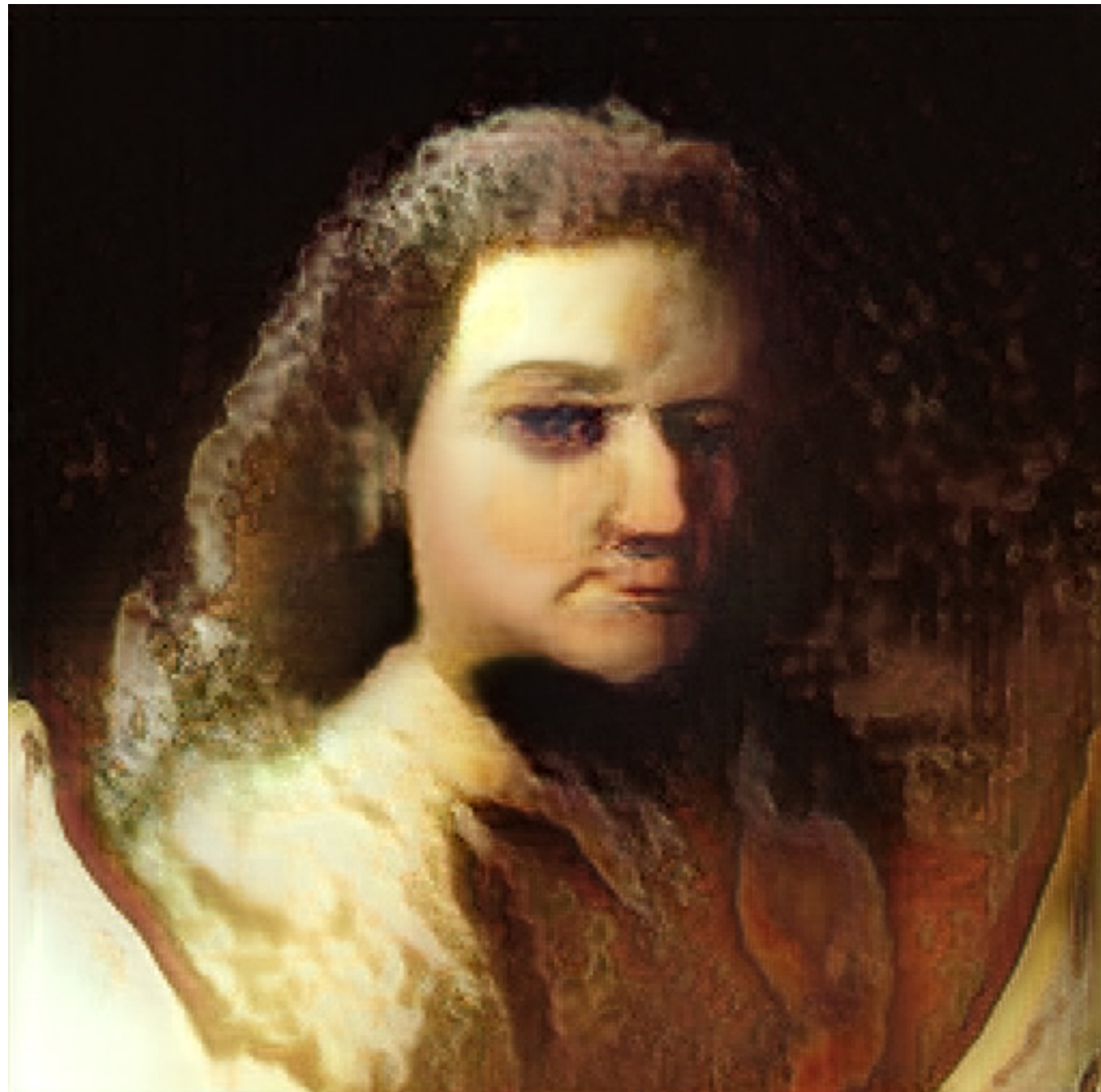


Faces

Joy **Very unlikely**
Sorrow **Very unlikely**
Anger **Very unlikely**
Surprise **Very unlikely**
Exposed **Very unlikely**
Blurred **Very unlikely**
Headwear **Likely**

Roll: -4° Tilt: 2° Pan: -9°

Confidence 64%



Labels

Hair	98%
Portrait	96%
Lady	95%
Hairstyle	84%
Chin	83%
Self-portrait	81%
Painting	70%
Long Hair	65%
Art	50%

Faces

Joy	Very unlikely
Sorrow	Very unlikely
Anger	Very unlikely
Surprise	Very unlikely
Exposed	Very unlikely
Blurred	Very unlikely
Headwear	Very unlikely

Roll: 0° Tilt: -6° Pan: 38°

Confidence 100%



Labels

Portrait
Painting
Self-portrait
Lady
Art
Human
Visual Arts

	97%
	95%
	94%
	92%
	78%
	76%
	59%

Faces

Joy
Sorrow
Anger
Surprise
Exposed
Blurred
Headwear

Very unlikely
Very unlikely
Very unlikely
Unlikely
Very unlikely
Very unlikely
Very unlikely

Roll: 2° Tilt: 10° Pan: 12°

Confidence 100%

**Labels**

Self-portrait
Portrait
Painting
Art
Drawing
Figure Drawing
Human
Sketch
Watercolor Paint
Jaw
Illustration
Visual Arts

95%
94%
89%
86%
82%
79%
77%
76%
74%
74%
70%
69%

Logos

misako

Portugiesischer Mode-Accessoire Hersteller

Safe Search

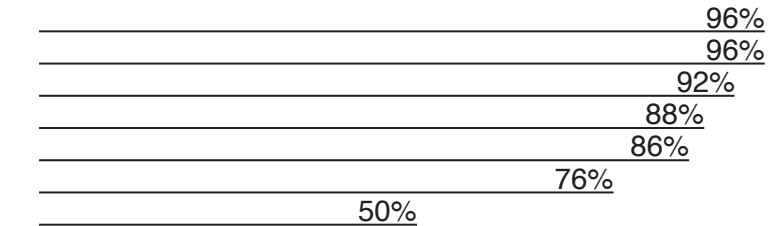
Violence

Possible



Labels

Portrait
Painting
Lady
Art
Self-portrait
Visual Arts
Illustration



Faces

Joy
Sorrow
Anger
Surprise
Exposed
Blurred
Headwear

Very unlikely

Roll: -3° Tilt: -5° Pan: -10°

Confidence 100%



Labels

Lady
Portrait
Painting
Self-portrait
Art

96%
93%
87%
81%
78%

Faces

Joy **Very unlikely**
Sorrow **Very unlikely**
Anger **Very unlikely**
Surprise **Very Unlikely**
Exposed **Very unlikely**
Blurred **Very unlikely**
Headwear **Likely**

Roll: -2° Tilt: 4° Pan: 20°

Confidence 99%



Labels

Portrait	98%
Lady	95%
Painting	92%
Self-portrait	90%
Art	82%
Artist	65%
Visual Arts	59%
Jaw	57%
Smile	54%

Faces

Joy	Very unlikely
Sorrow	Very unlikely
Anger	Very unlikely
Surprise	Very unlikely
Exposed	Very unlikely
Blurred	Very unlikely
Headwear	Very unlikely

Roll: -2° Tilt: -6° Pan: 8°

Confidence 100%



Labels

Lady	96%
Portrait	96%
Painting	95%
Self-portrait	83%
Art	76%
Visual Arts	55%
Artist	53%
Modern Art	51%

Faces

Joy	Very unlikely
Sorrow	Very unlikely
Anger	Very unlikely
Surprise	Very unlikely
Exposed	Very unlikely
Blurred	Very unlikely
Headwear	Very unlikely

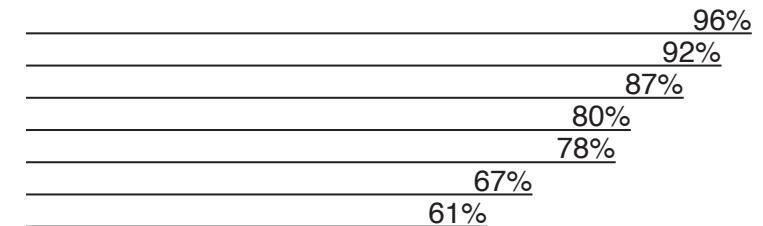
Roll: 0° Tilt: 3° Pan: -24°

Confidence 100%



Labels

Portrait
Self-portrait
Gentleman
Painting
Art
Jaw
Artist



Faces

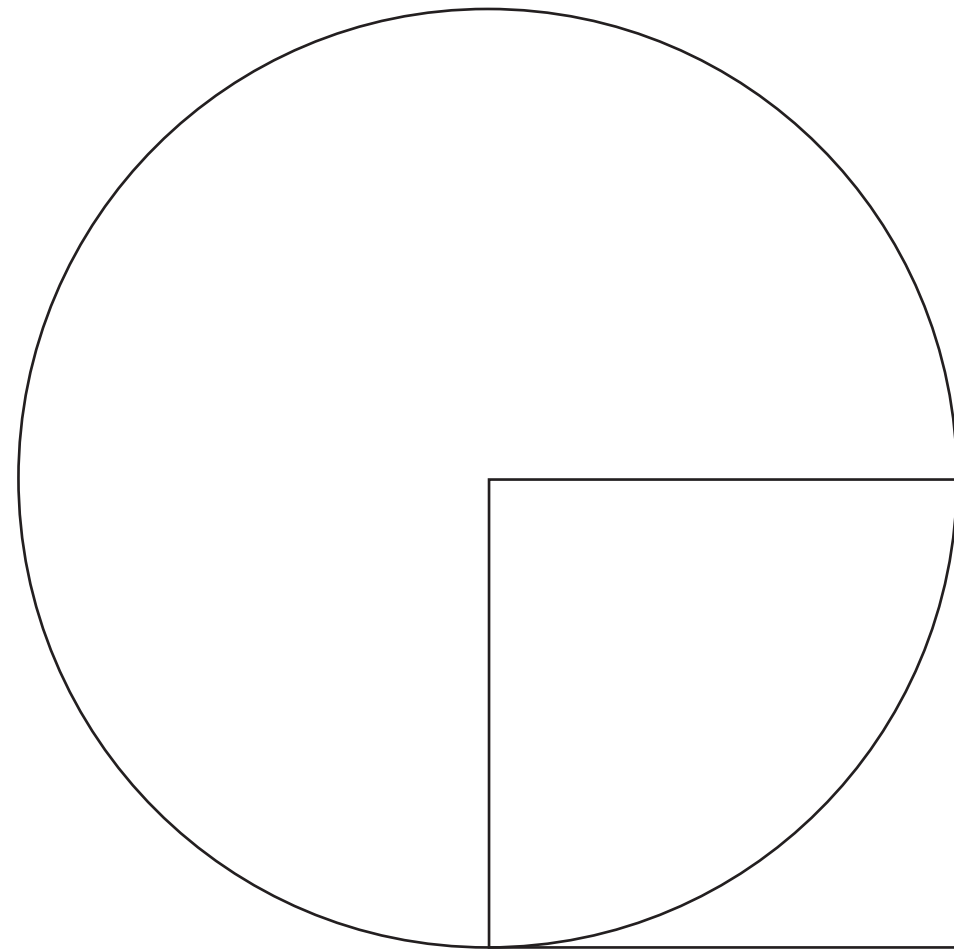
Joy
Sorrow
Anger
Surprise
Exposed
Blurred
Headwear

Very unlikely
Very unlikely
Very unlikely
Very unlikely
Very unlikely
Very unlikely
Very unlikely

Roll: -2° Tilt: -14° Pan: -4°

Confidence 97%

Werke Abstrakt



Die Maschine lernt anhand von 7360 Werken mit der Stilbezeichnung „Abstrakt“. Das Datenset besteht aus Bildern beinahe aller Zeitepochen. Japanische Zen Schriften aus der Edo Periode, totale Simplifizierungen im Neo-Minimalismus oder Kandinsky's *Kompositionen*. Werke auf Papier, Ton oder Aluminium werden verglichen, im verzweifelten Versuch einen gemeinsamen Nenner zu finden und eine Einschätzung zu schaffen, was der Mensch mit abstrakter Kunst versucht zu kommunizieren.

Die Maschine blickt nicht auf Objekte, die sie mit ihrer technischen Perfektion rekreieren könnte, wie ein Fotoapparat, der keinerlei eigene Interpretationsentscheidungen trifft, wenn er ein Objekt abbildet. Sie erschafft stattdessen den Blick, den tausende Künstler zu vereinen scheint, in ihrem Ansatz die Konstante in diesen variablen Werken zu finden.

Die Maschine findet auf ihrer Suche nach Mustern und Gemeinsamkeiten das, was menschliches Betrachten von Dingen, von der optischen Realität unterscheidet. Sie scheitert in ihrem Versuch die tausenden unterschiedlichen Objekte zu erkennen und siegt in ihrem Streben nach dem Finden des gemeinsamen Nenners der abstrakten Sicht- und Darstellungsweise der Menschen.



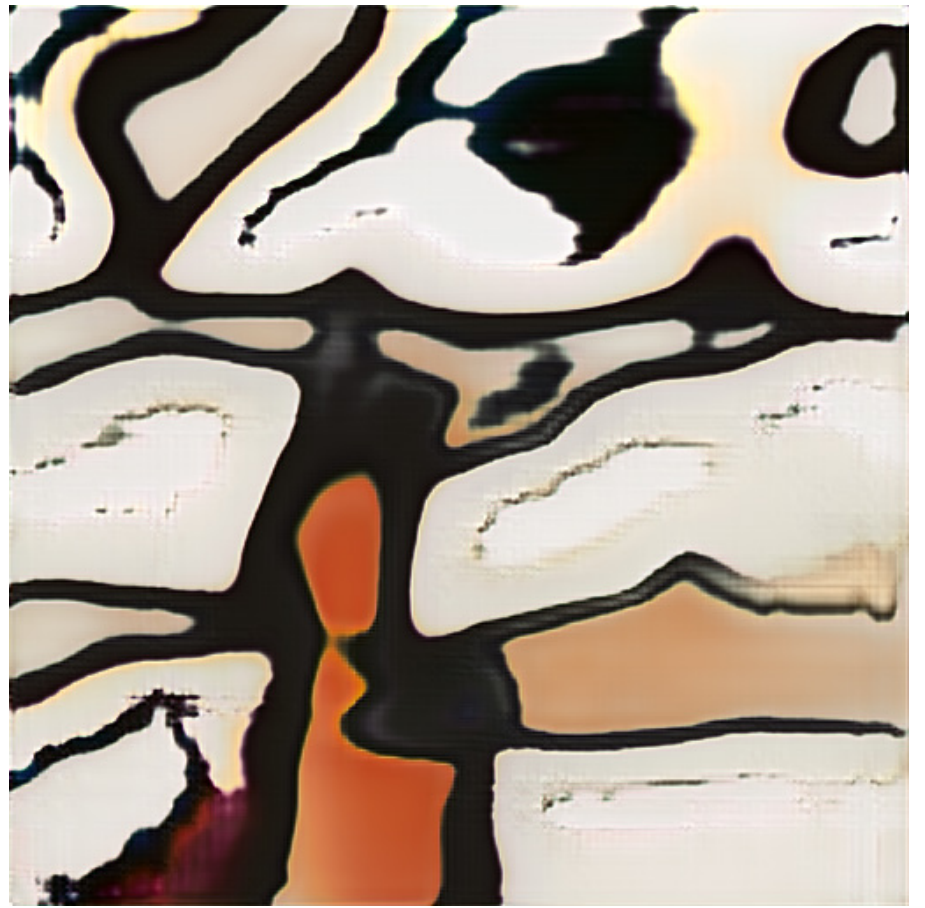
—
Seed Unbekannt
FP16 & FP32 bei 8211 Bildern
 512^2 Pixel



—
Seed Unbekannt
FP16 & FP32 bei 8224 Bildern
 512^2 Pixel



—
Seed Unbekannt
FP16 & FP32 bei 8326 Bildern
512² Pixel



—
Seed Unbekannt
FP16 & FP32 bei 8326 Bildern
512² Pixel



—
Seed Unbekannt
FP16 & FP32 bei 8326 Bildern
512² Pixel



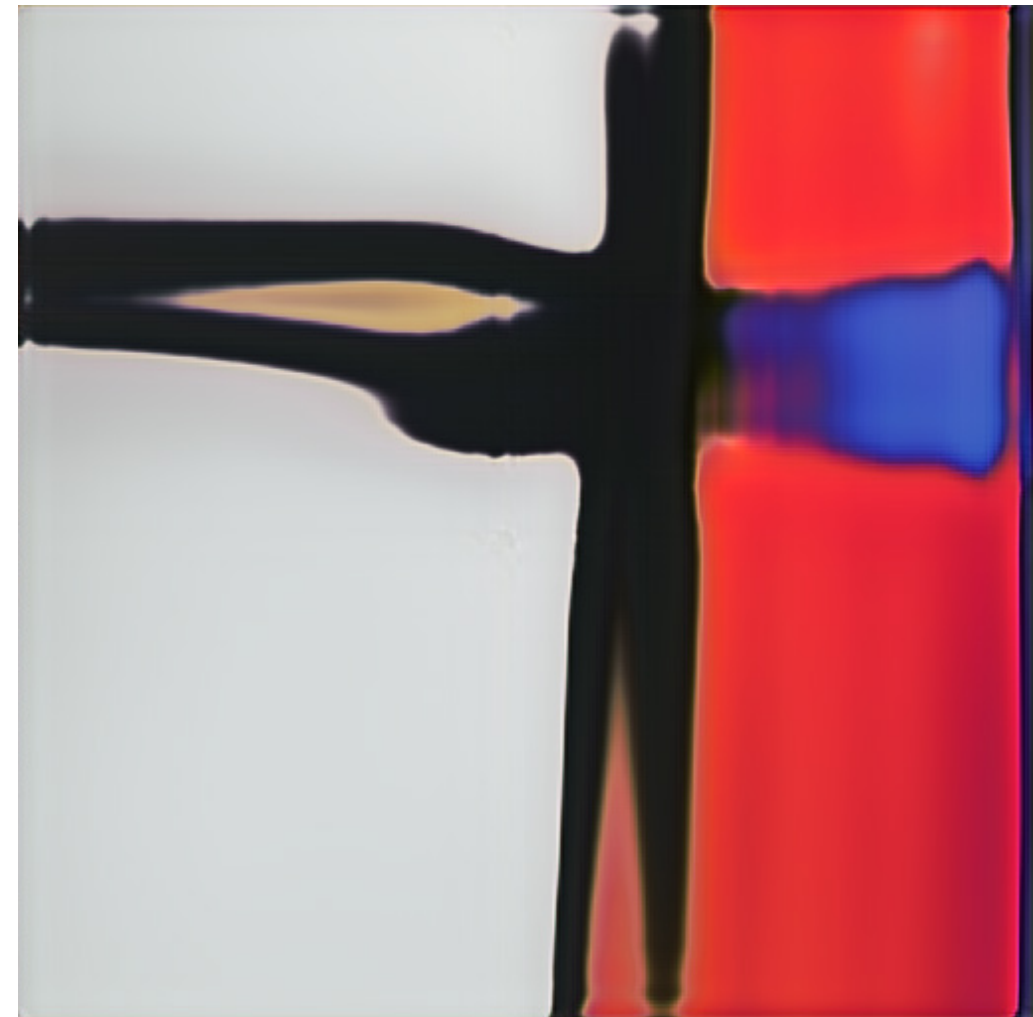
—
Seed Unbekannt
FP16 & FP32 bei 8326 Bildern
512² Pixel



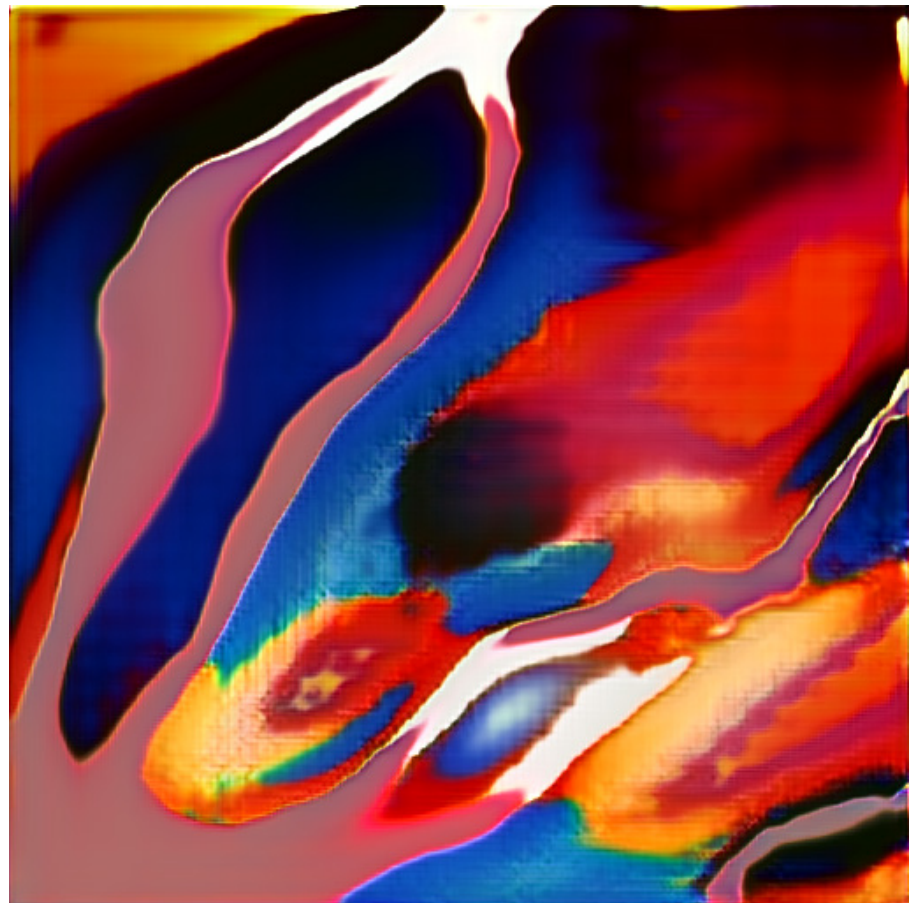
—
Seed Unbekannt
FP16 & FP32 bei 8305 Bildern
 512^2 Pixel



—
Seed Unbekannt
FP16 & FP32 bei 8306 Bildern
 512^2 Pixel



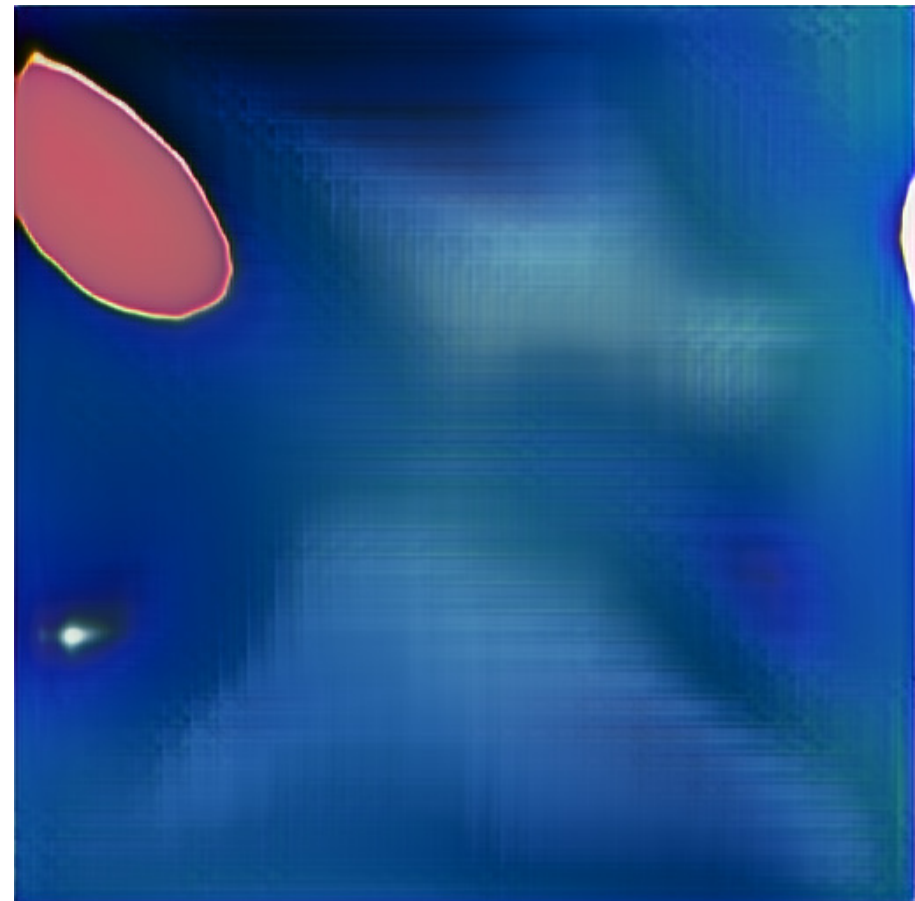
—
Seed Unbekannt
FP16 & FP32 bei 8307 Bildern
 512^2 Pixel



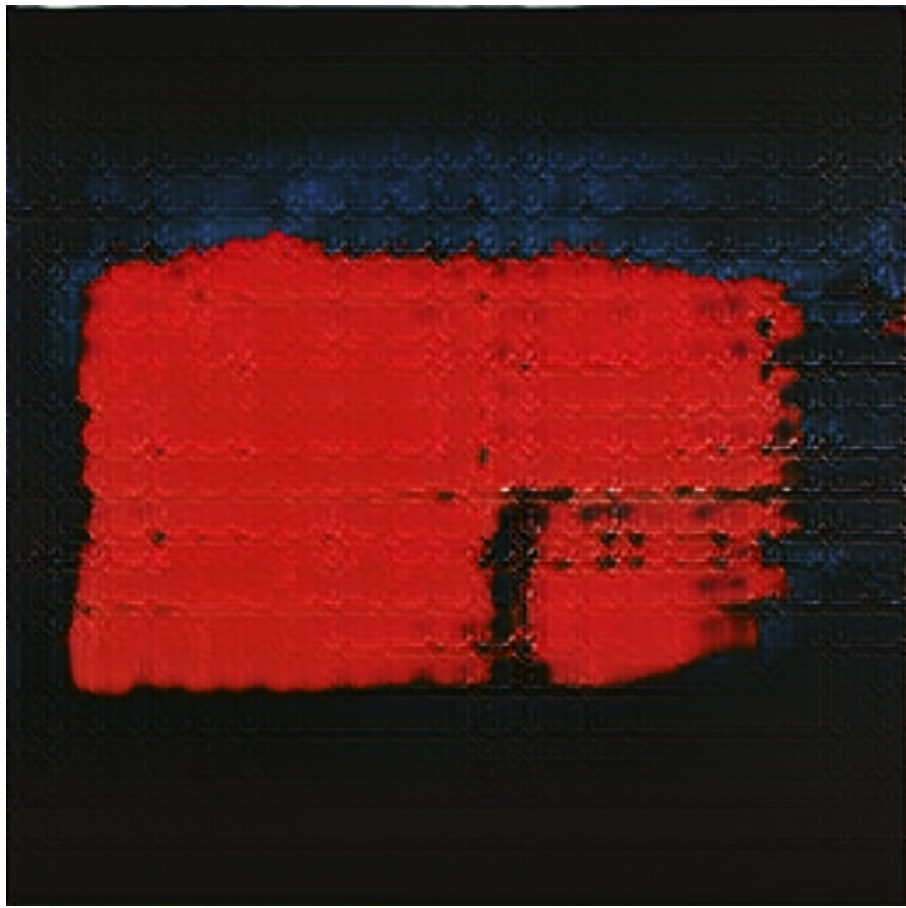
—
Seed Unbekannt
FP16 & FP32 bei 8400 Bildern
512² Pixel



—
Seed Unbekannt
FP16 & FP32 bei 8400 Bildern
 512^2 Pixel



—
Seed Unbekannt
FP16 & FP32 bei 8400 Bildern
 512^2 Pixel



—
Seed Unbekannt
FP16 & FP32 bei 8326 Bildern
512² Pixel



—
Seed Unbekannt
FP16 & FP32 bei 8400 Bildern
 512^2 Pixel

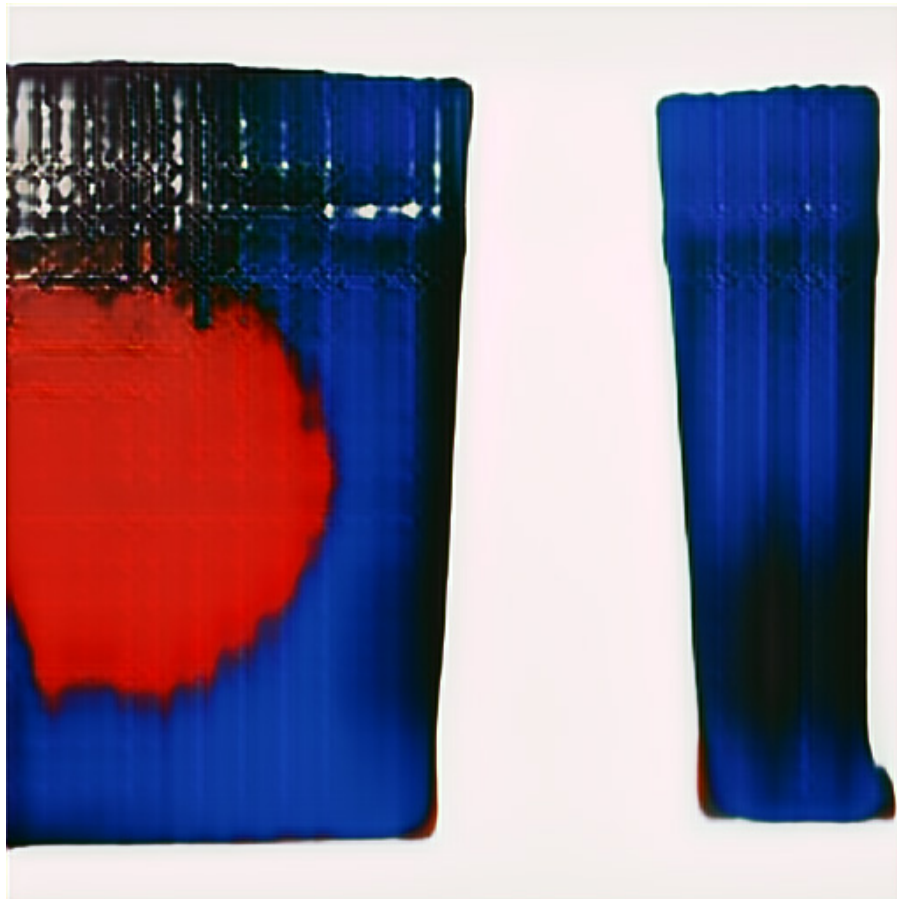


—
Seed Unbekannt
FP16 & FP32 bei 8400 Bildern
 512^2 Pixel



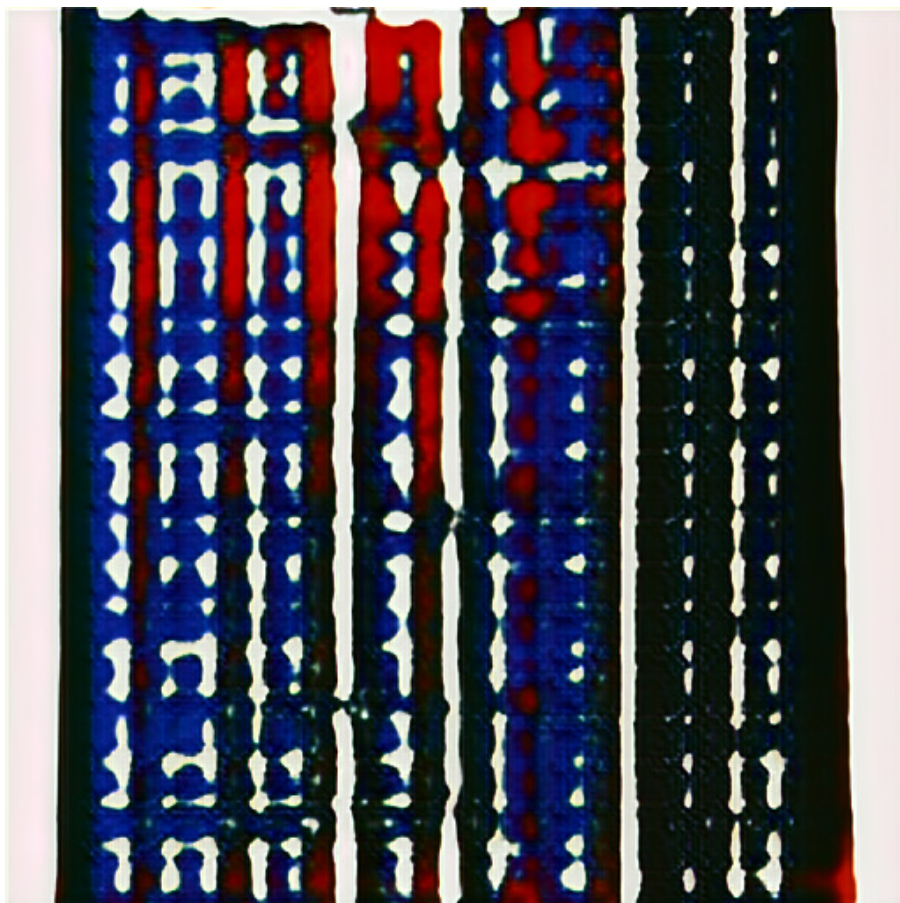
Schrittweise Entwicklung einer Lerneinheit. Die Resultate veranschaulichen den Lernprozess. Sie sind an unterschiedlichen Zeitpunkten des gleichen Seed's entstanden und demonstrieren die explorative Natur des Generators.

Seed Unbekannt
FP16 & FP32 bei 8209, 8211, 8214, 8239, 8224 & 8254 Bildern
512² Pixel



—
Seed Unbekannt
FP16 & FP32 bei 8400 Bildern
512² Pixel

152

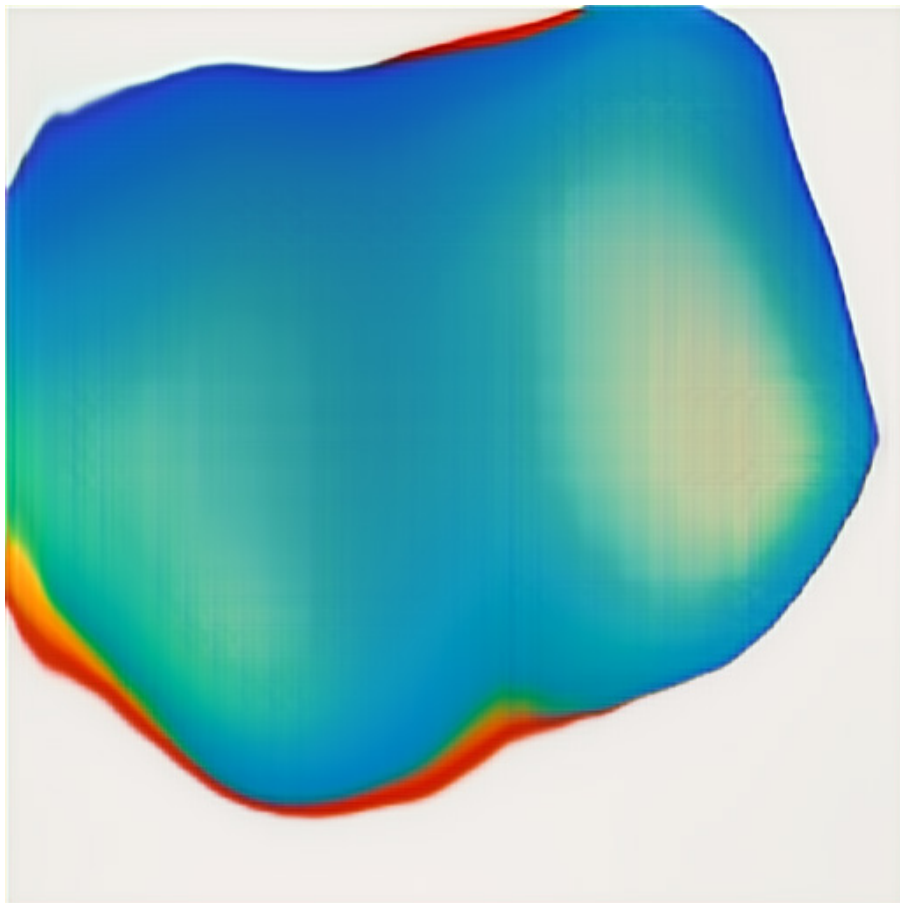


—
Seed Unbekannt
FP16 & FP32 bei 8400 Bildern
512² Pixel

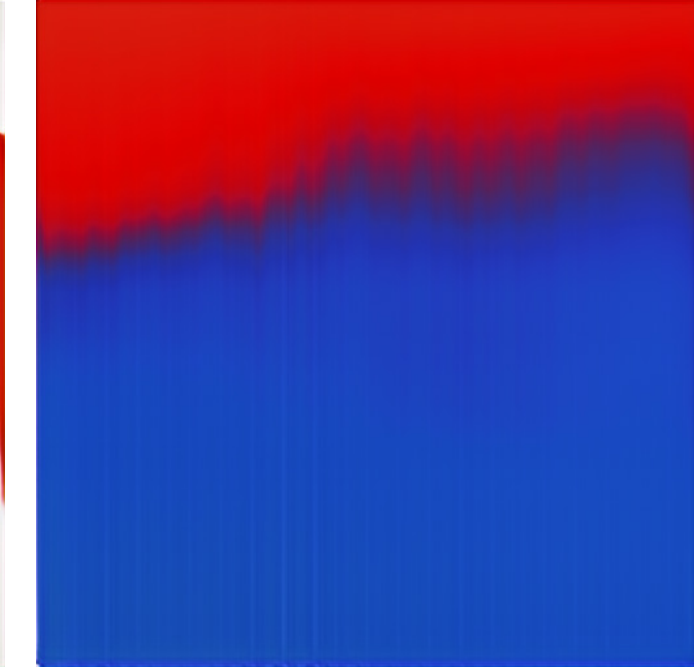
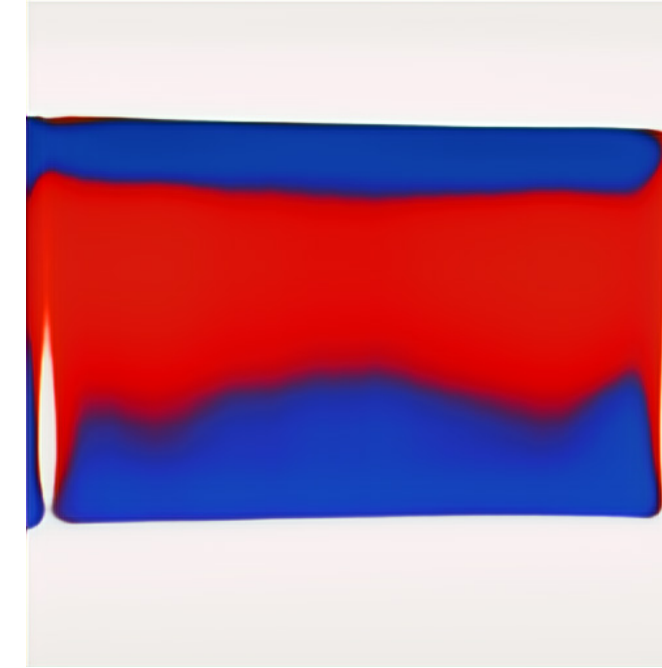
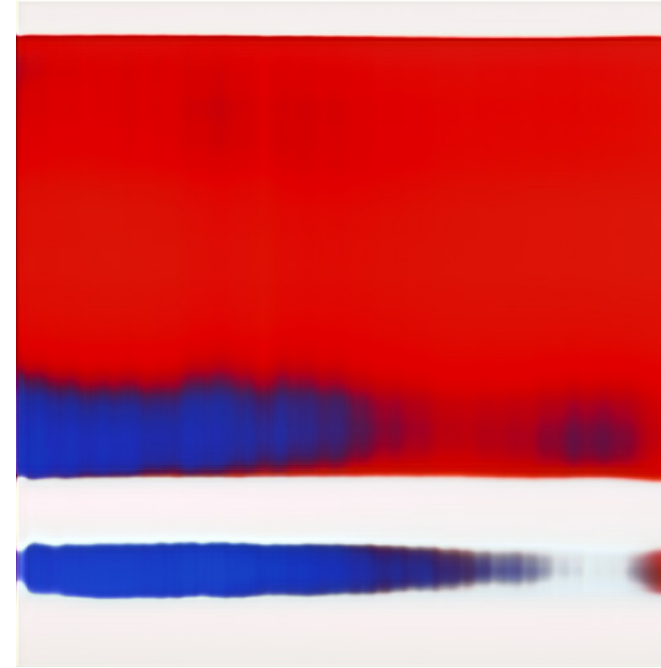
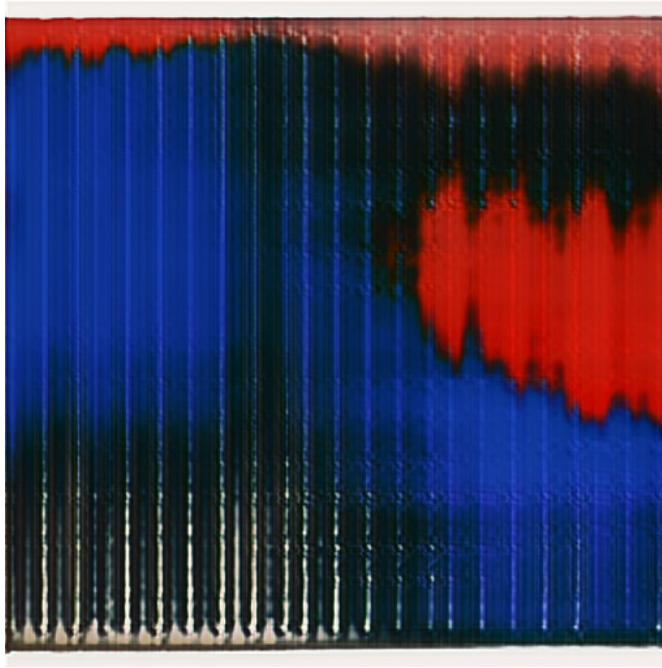
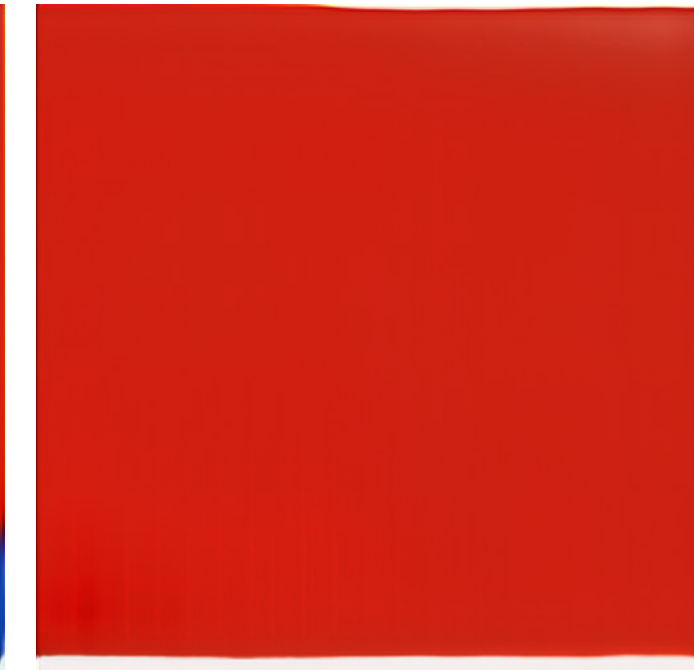
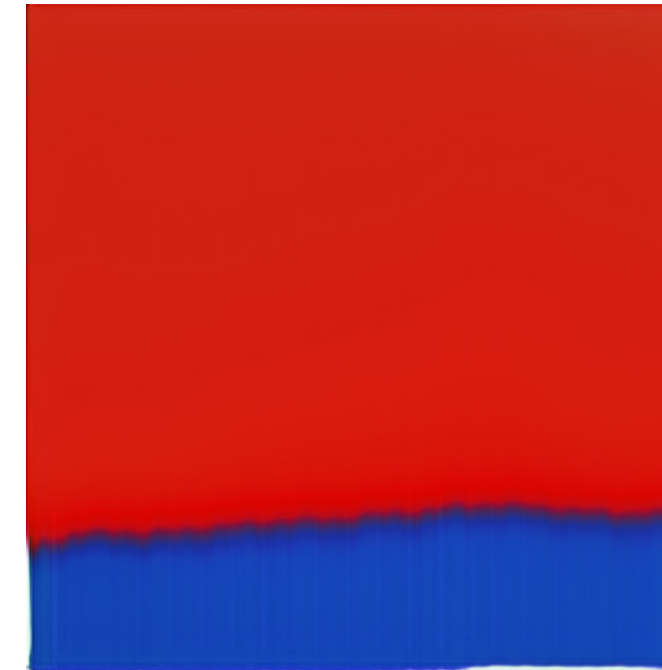
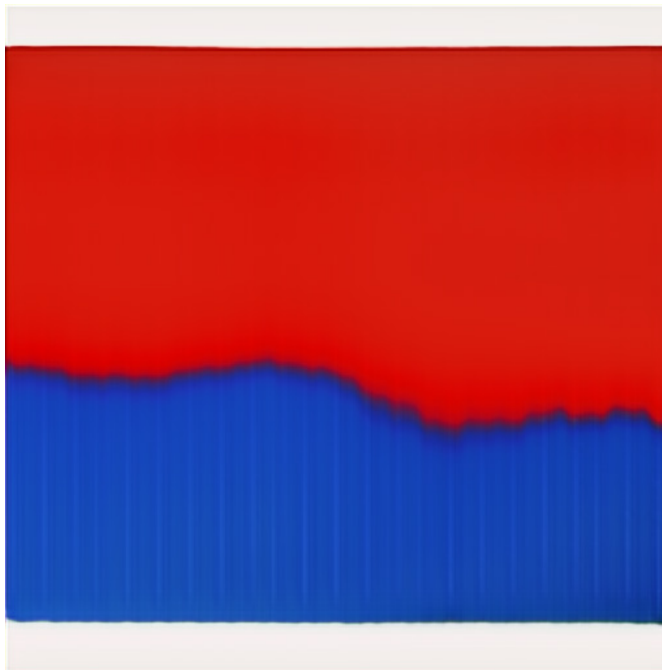
153



—
Seed Unbekannt
FP16 & FP32 bei 8400 Bildern
 512^2 Pixel



—
Seed Unbekannt
FP16 & FP32 bei 8400 Bildern
 512^2 Pixel



—
Seed Unbekannt
FP16 & FP32 bei 8400 Bildern
512² Pixel

—
Seed Unbekannt
FP16 & FP32 bei 8400 Bildern
512² Pixel

—
Seed Unbekannt
FP16 & FP32 bei 8400 Bildern
512² Pixel

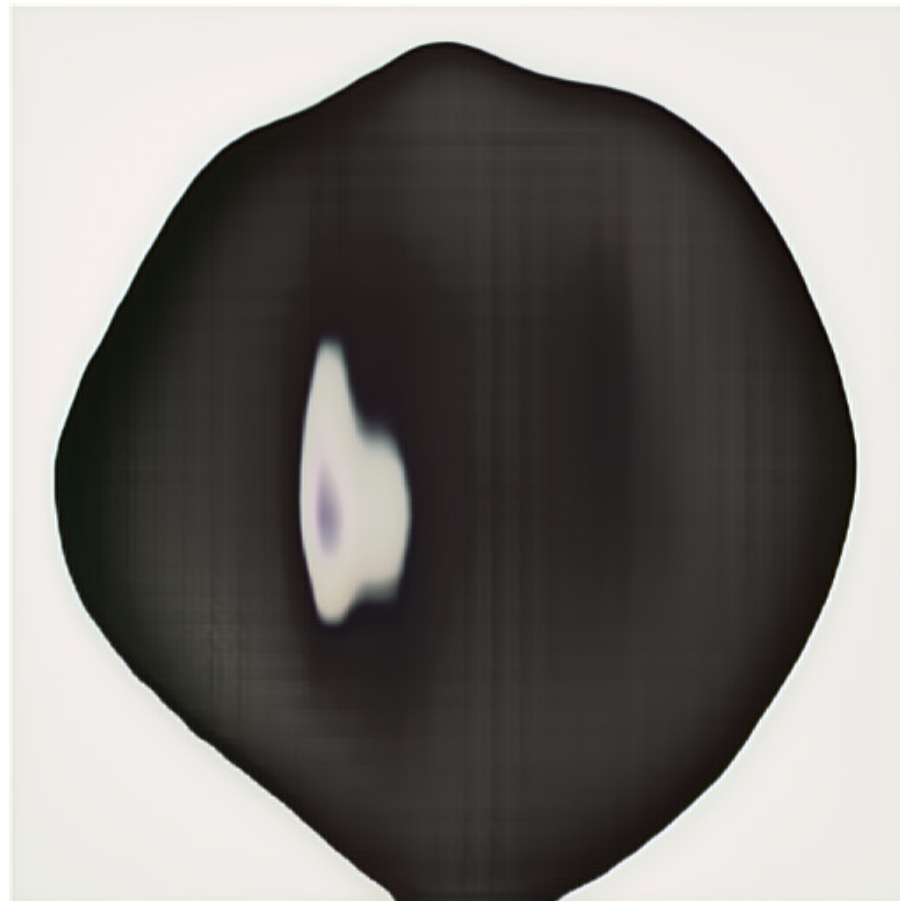
—
Seed Unbekannt
FP16 & FP32 bei 8400 Bildern
512² Pixel

—
Seed Unbekannt
FP16 & FP32 bei 8400 Bildern
512² Pixel

—
Seed Unbekannt
FP16 & FP32 bei 8400 Bildern
512² Pixel

—
Seed Unbekannt
FP16 & FP32 bei 8400 Bildern
512² Pixel

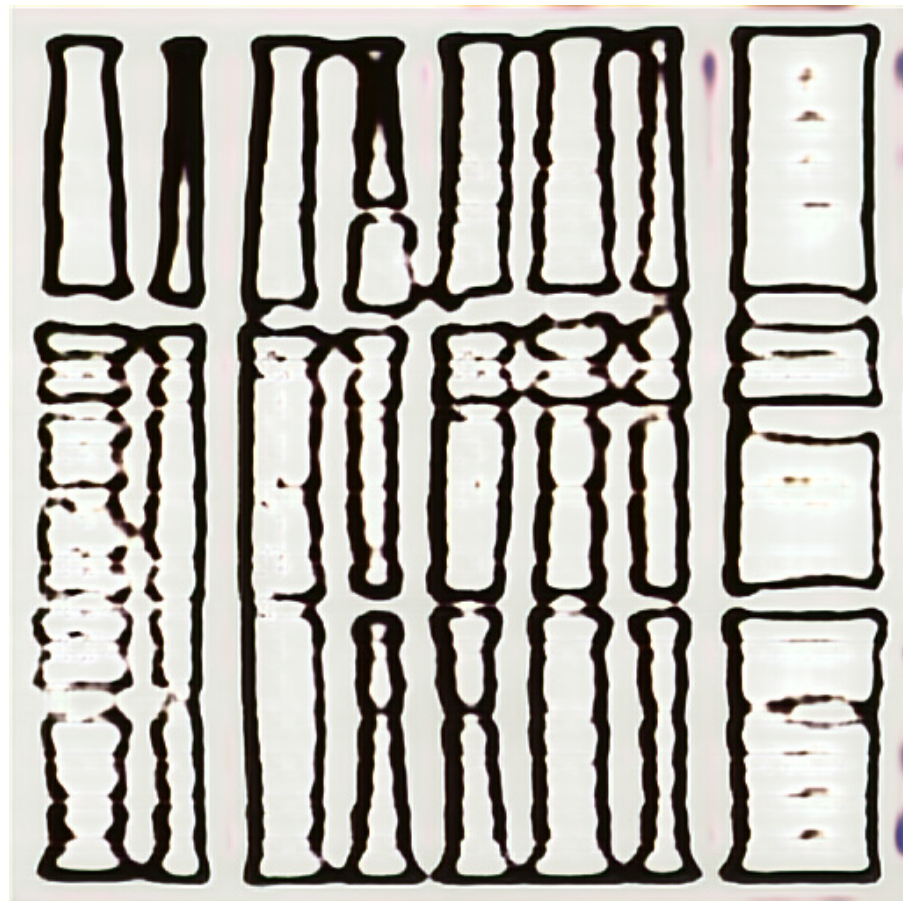
—
Seed Unbekannt
FP16 & FP32 bei 8400 Bildern
512² Pixel



—
Seed Unbekannt
FP16 & FP32 bei 8400 Bildern
512² Pixel



—
Seed Unbekannt
FP16 & FP32 bei 8400 Bildern
512² Pixel



—
Seed Unbekannt
FP16 & FP32 bei 8400 Bildern
512² Pixel



—
Seed Unbekannt
FP16 & FP32 bei 8400 Bildern
512² Pixel



—
Seed Unbekannt
FP16 & FP32 bei 8400 Bildern
512² Pixel



—
Seed Unbekannt
FP16 & FP32 bei 8400 Bildern
512² Pixel

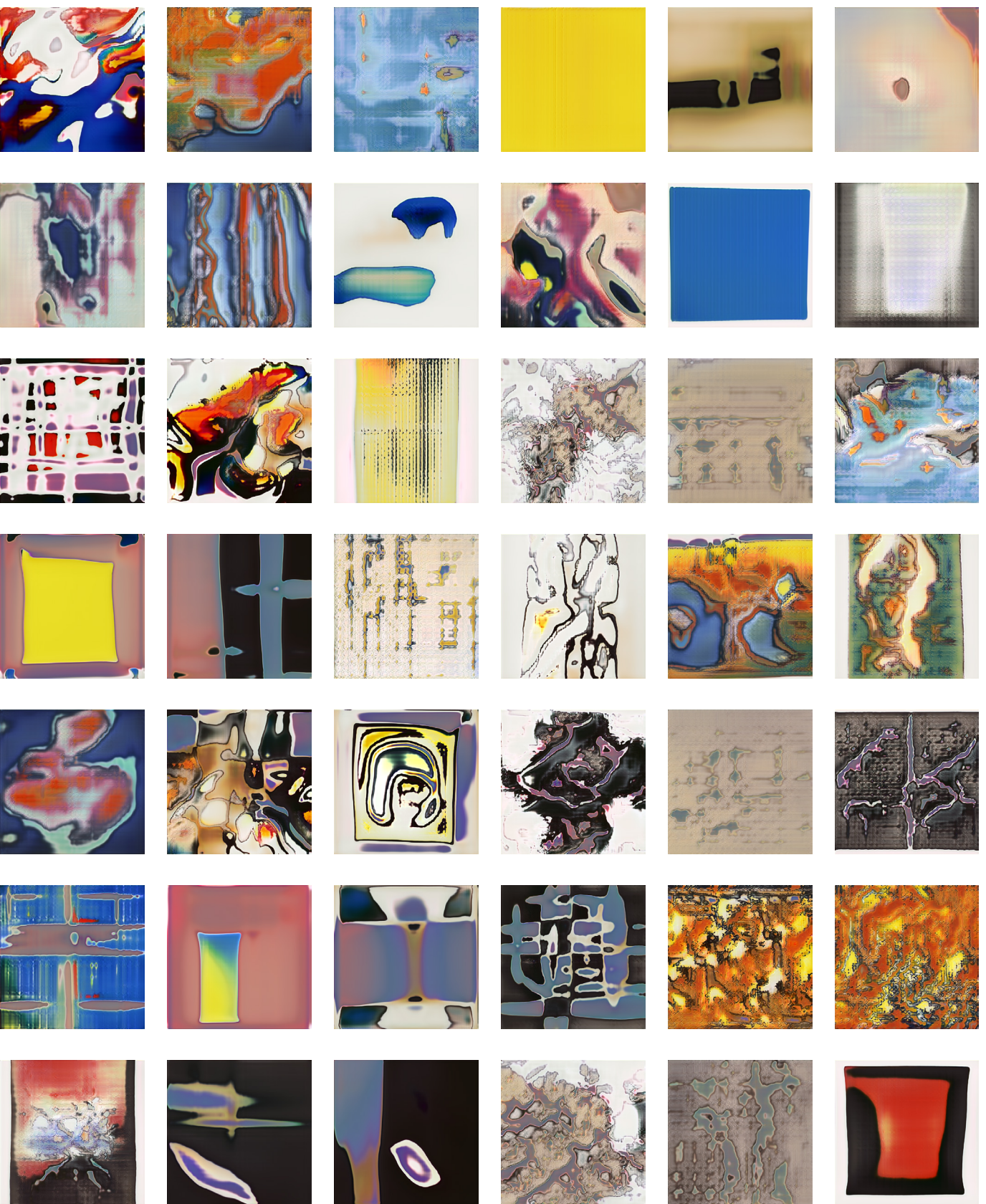


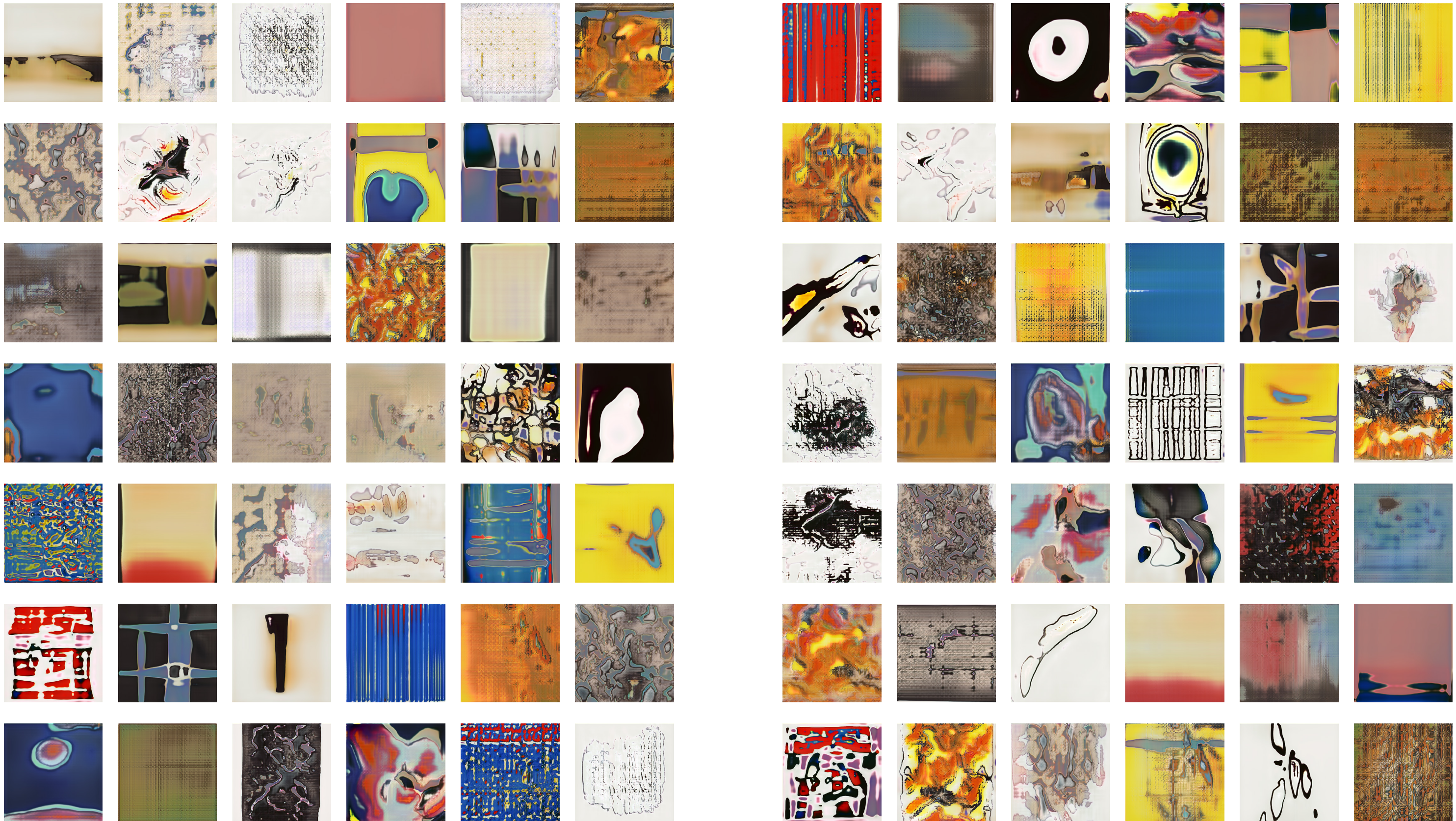
—
Seed Unbekannt
FP16 & FP32 bei 8400 Bildern
512² Pixel

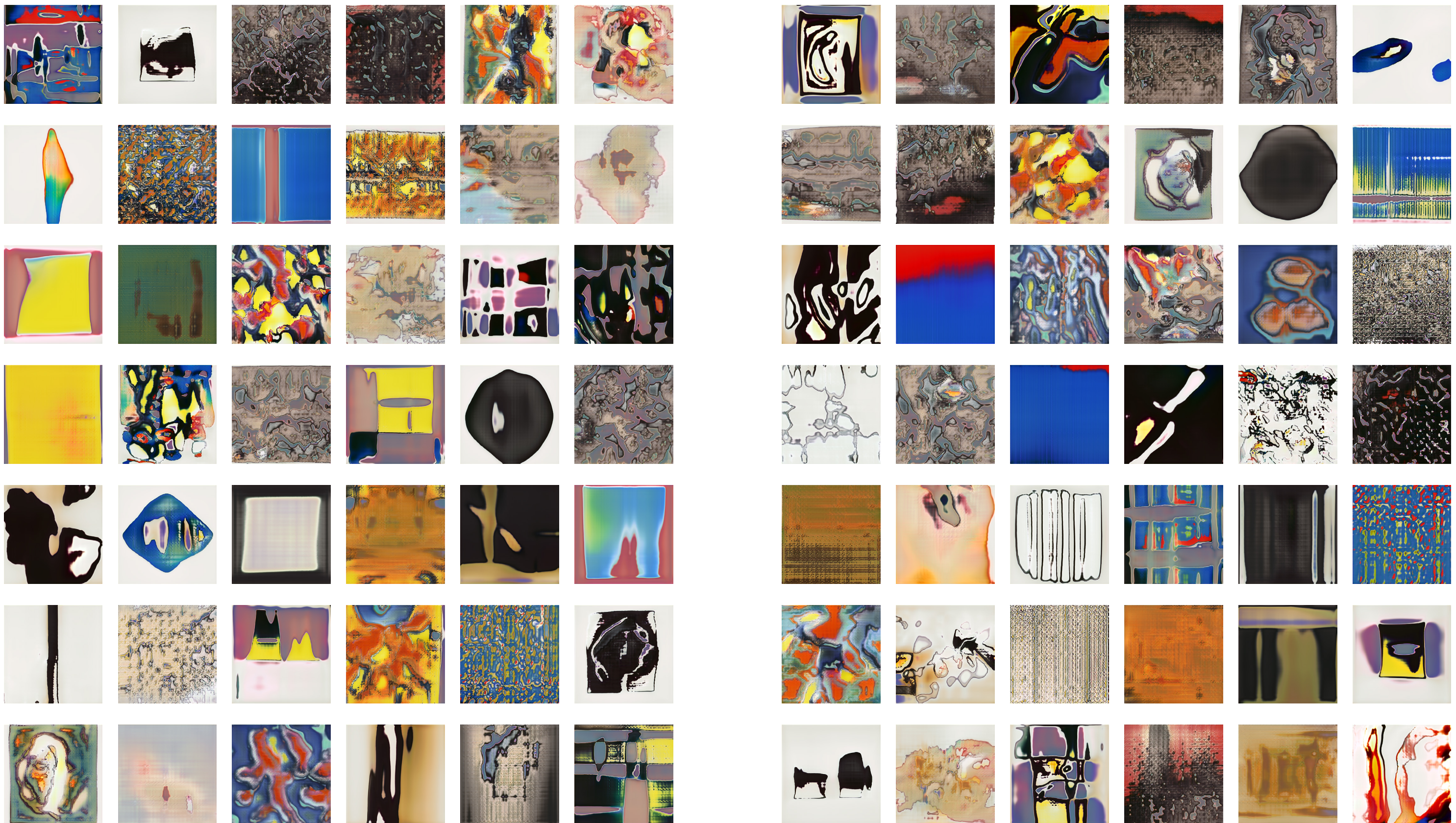


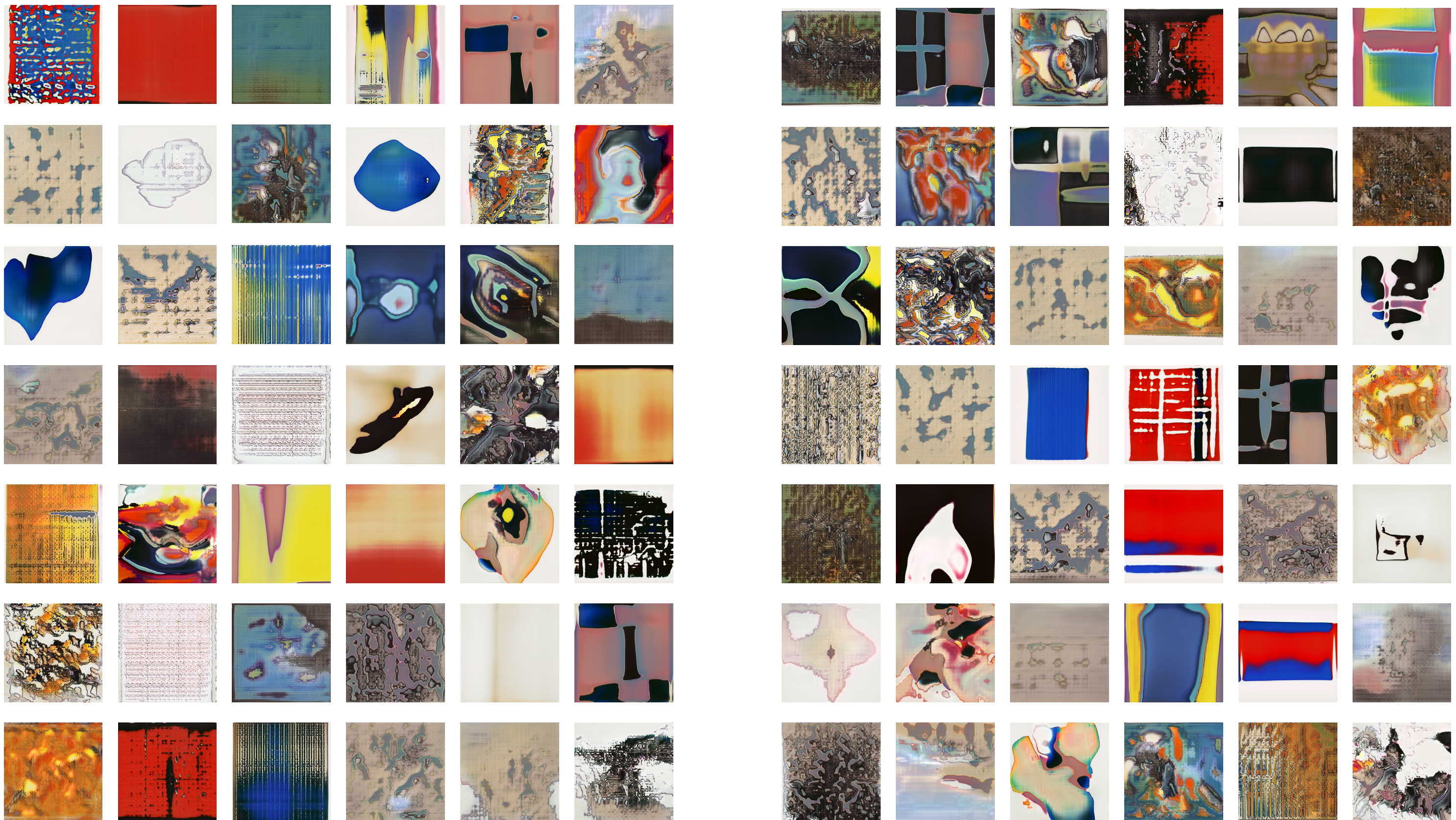
—
Seed Unbekannt
FP16 & FP32 bei 8400 Bildern
512² Pixel

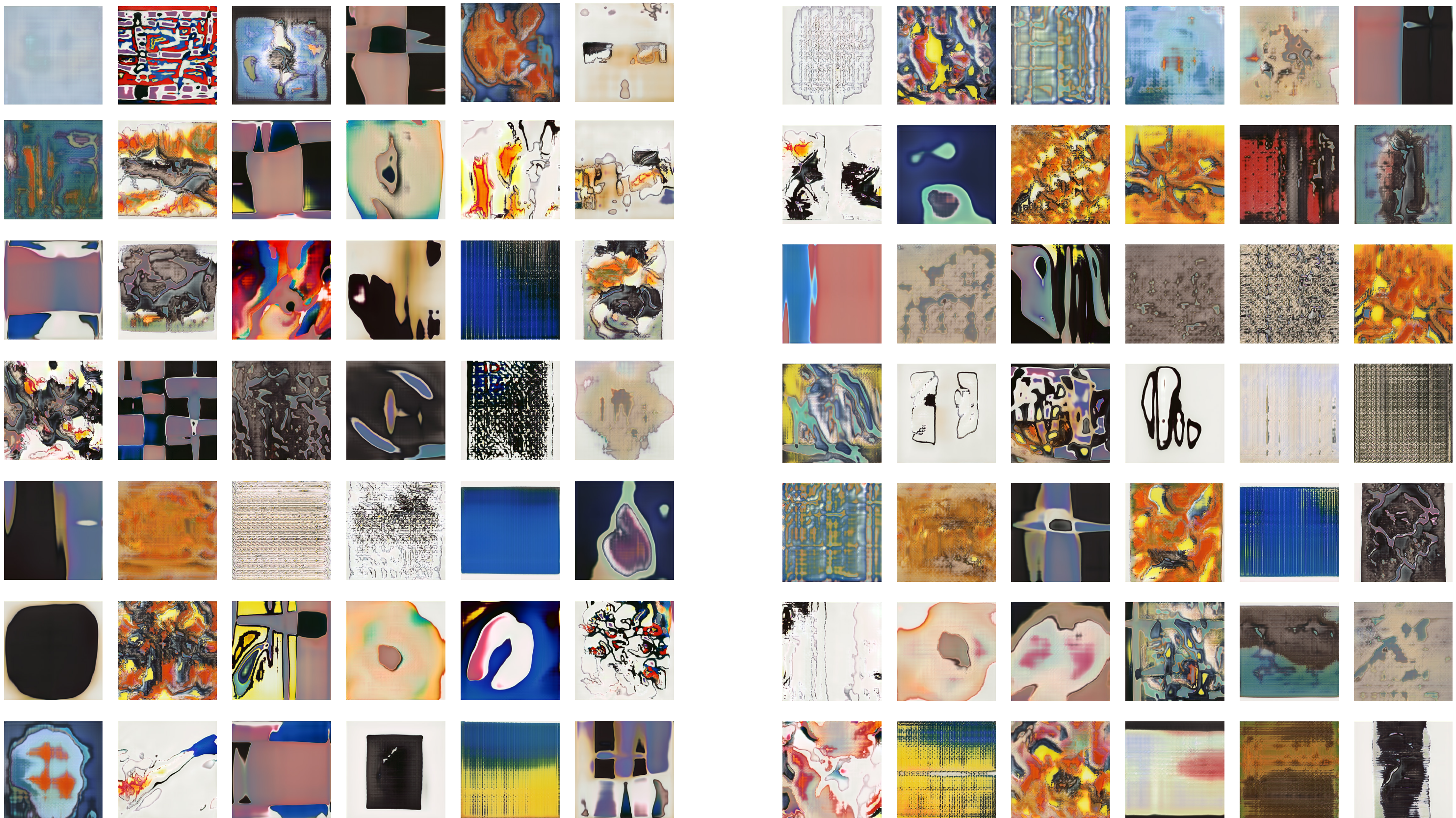
—
Folgende Seiten
Seed v. l. n. r., „649“ bis „0“
FP16 & FP32 bei 8400 Bildern
512² Pixel

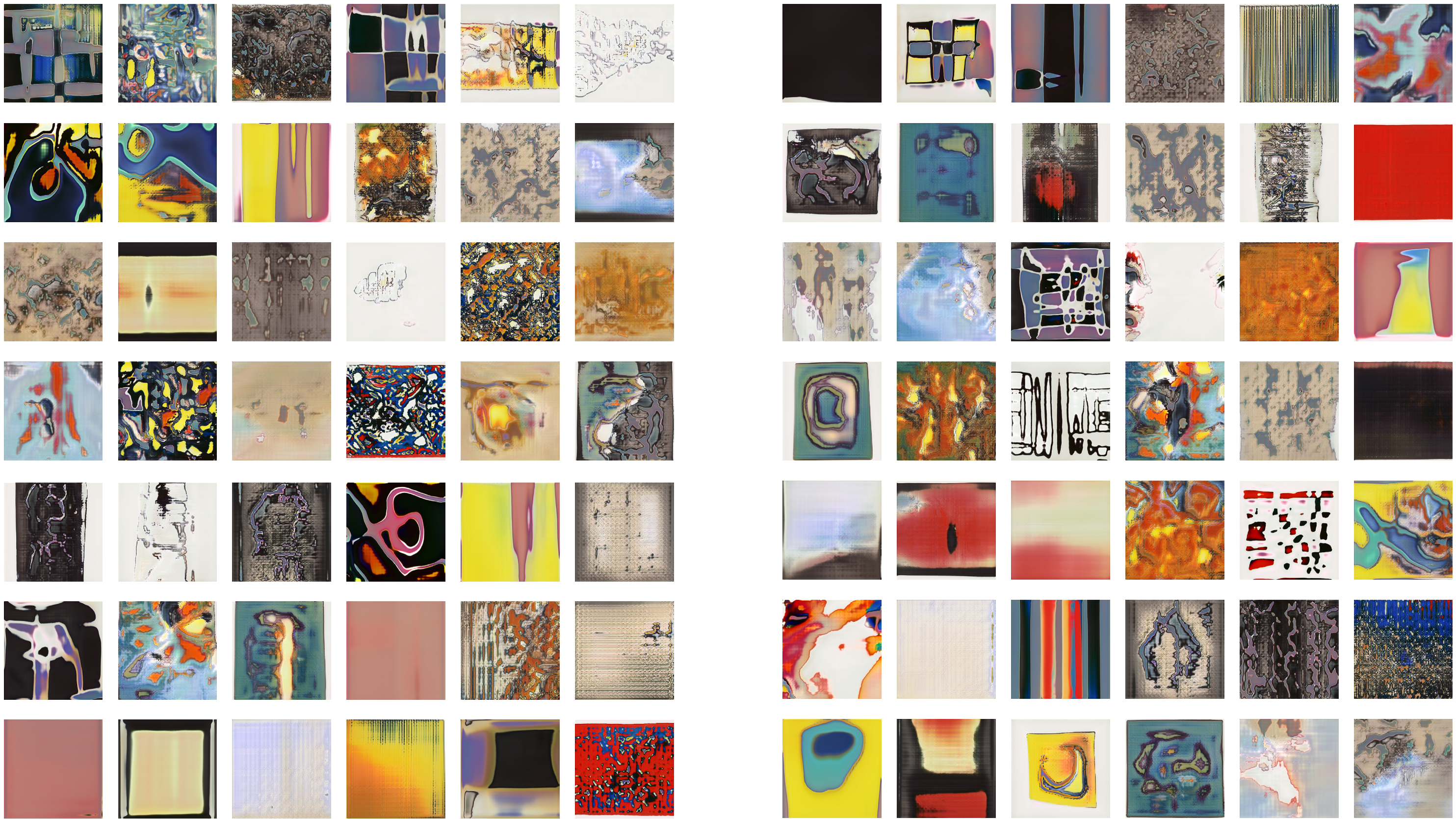


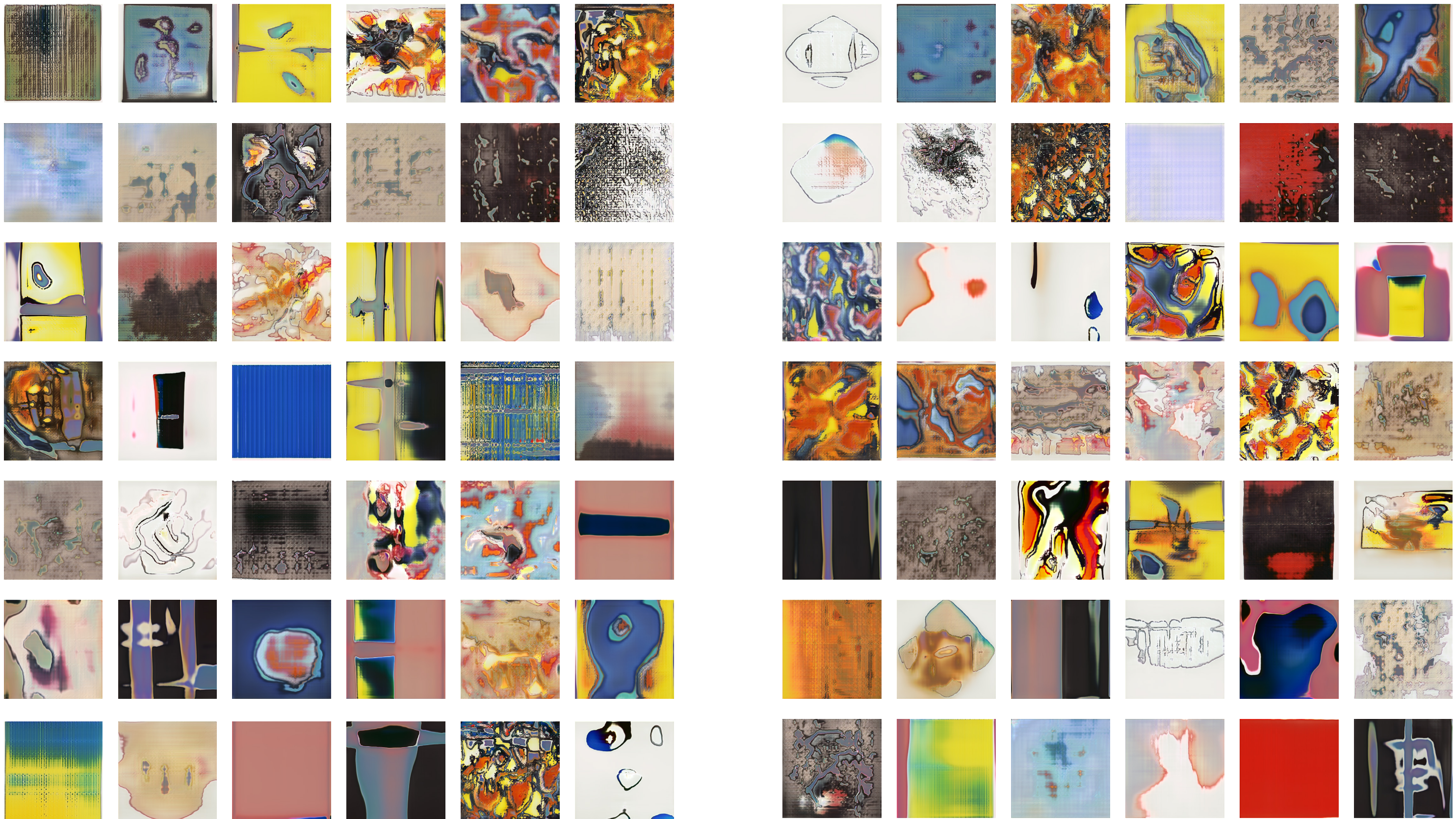












Protokoll eines Traums

Während der Lernprozess des Menschen's nur eingeschränkt oder stark abstrahiert zu visualisieren ist, ermöglichen uns Computer ihren Lernprozess zu überwachen. Die nachfolgenden Textpassagen sind Logbucheinträge des Computers auf seiner Suche nach Mustern. Man erkennt wie das GAN die Auflösung der Bilder erweitert und der Algorithmus mit dem exponentiellen Wachstum des Informationsumgangs immer länger braucht, um Muster und visuelle Prinzipien zu entdecken.

Abstrakt

```
Initializing TensorFlow...
Running train.train_progressive_gan()...
Streaming data using dataset.TFRecordDataset...
Dataset shape = [3, 512, 512]
Dynamic range = [0, 255]
Label size = 0
Constructing networks...
```

G	Params	OutputShape	WeightShape
---	---	---	---
latents_in	-	(?, 512)	-
labels_in	-	(?, 0)	-
lod	-	()	-
4x4/PixelNorm	-	(?, 512)	-
4x4/Dense	4194816	(?, 512, 4, 4)	(512, 8192)
4x4/Conv	2359808	(?, 512, 4, 4)	(3, 3, 512, 512)
ToRGB_lod7	1539	(?, 3, 4, 4)	(1, 1, 512, 3)
8x8/Conv0_up	2359808	(?, 512, 8, 8)	(3, 3, 512, 512)
8x8/Conv1	2359808	(?, 512, 8, 8)	(3, 3, 512, 512)
ToRGB_lod6	1539	(?, 3, 8, 8)	(1, 1, 512, 3)
Upscale2D	-	(?, 3, 8, 8)	-
Grow_lod6	-	(?, 3, 8, 8)	-
16x16/Conv0_up	2359808	(?, 512, 16, 16)	(3, 3, 512, 512)
16x16/Conv1	2359808	(?, 512, 16, 16)	(3, 3, 512, 512)
ToRGB_lod5	1539	(?, 3, 16, 16)	(1, 1, 512, 3)
Upscale2D_1	-	(?, 3, 16, 16)	-
Grow_lod5	-	(?, 3, 16, 16)	-
32x32/Conv0_up	2359808	(?, 512, 32, 32)	(3, 3, 512, 512)
32x32/Conv1	2359808	(?, 512, 32, 32)	(3, 3, 512, 512)
ToRGB_lod4	1539	(?, 3, 32, 32)	(1, 1, 512, 3)
Upscale2D_2	-	(?, 3, 32, 32)	-
Grow_lod4	-	(?, 3, 32, 32)	-
64x64/Conv0_up	1179904	(?, 256, 64, 64)	(3, 3, 256, 512)
64x64/Conv1	590080	(?, 256, 64, 64)	(3, 3, 256, 256)
ToRGB_lod3	771	(?, 3, 64, 64)	(1, 1, 256, 3)
Upscale2D_3	-	(?, 3, 64, 64)	-
Grow_lod3	-	(?, 3, 64, 64)	-
128x128/Conv0_up	295040	(?, 128, 128, 128)	(3, 3, 128, 256)
128x128/Conv1	147584	(?, 128, 128, 128)	(3, 3, 128, 128)
ToRGB_lod2	387	(?, 3, 128, 128)	(1, 1, 128, 3)
Upscale2D_4	-	(?, 3, 128, 128)	-
Grow_lod2	-	(?, 3, 128, 128)	-
256x256/Conv0_up	73792	(?, 64, 256, 256)	(3, 3, 64, 128)
256x256/Conv1	36928	(?, 64, 256, 256)	(3, 3, 64, 64)
ToRGB_lod1	195	(?, 3, 256, 256)	(1, 1, 64, 3)
Upscale2D_5	-	(?, 3, 256, 256)	-
Grow_lod1	-	(?, 3, 256, 256)	-

512x512/Conv0_up	18464	(?, 32, 512, 512)	(3, 3, 32, 64)
512x512/Conv1	9248	(?, 32, 512, 512)	(3, 3, 32, 32)
ToRGB_lod0	99	(?, 3, 512, 512)	(1, 1, 32, 3)
Upscale2D_6	-	(?, 3, 512, 512)	-
Grow_lod0	-	(?, 3, 512, 512)	-
images_out	-	(?, 3, 512, 512)	-
---	---	---	---
Total	23072120		
D	Params	OutputShape	WeightShape
---	---	---	---
images_in	-	(?, 3, 512, 512)	-
lod	-	()	-
FromRGB_lod0	128	(?, 32, 512, 512)	(1, 1, 3, 32)
512x512/Conv0	9248	(?, 32, 512, 512)	(3, 3, 32, 32)
512x512/Conv1_down	18496	(?, 64, 256, 256)	(3, 3, 32, 64)
Downscale2D	-	(?, 3, 256, 256)	-
FromRGB_lod1	256	(?, 64, 256, 256)	(1, 1, 3, 64)
Grow_lod0	-	(?, 64, 256, 256)	-
256x256/Conv0	36928	(?, 64, 256, 256)	(3, 3, 64, 64)
256x256/Conv1_down	73856	(?, 128, 128, 128)	(3, 3, 64, 128)
Downscale2D_1	-	(?, 3, 128, 128)	-
FromRGB_lod2	512	(?, 128, 128, 128)	(1, 1, 3, 128)
Grow_lod1	-	(?, 128, 128, 128)	-
128x128/Conv0	147584	(?, 128, 128, 128)	(3, 3, 128, 128)
128x128/Conv1_down	295168	(?, 256, 64, 64)	(3, 3, 128, 256)
Downscale2D_2	-	(?, 3, 64, 64)	-
FromRGB_lod3	1024	(?, 256, 64, 64)	(1, 1, 3, 256)
Grow_lod2	-	(?, 256, 64, 64)	-
64x64/Conv0	590080	(?, 256, 64, 64)	(3, 3, 256, 256)
64x64/Conv1_down	1180160	(?, 512, 32, 32)	(3, 3, 256, 512)
Downscale2D_3	-	(?, 3, 32, 32)	-
FromRGB_lod4	2048	(?, 512, 32, 32)	(1, 1, 3, 512)
Grow_lod3	-	(?, 512, 32, 32)	-
32x32/Conv0	2359808	(?, 512, 32, 32)	(3, 3, 512, 512)
32x32/Conv1_down	2359808	(?, 512, 16, 16)	(3, 3, 512, 512)
Downscale2D_4	-	(?, 3, 16, 16)	-
FromRGB_lod5	2048	(?, 512, 16, 16)	(1, 1, 3, 512)
Grow_lod4	-	(?, 512, 16, 16)	-
16x16/Conv0	2359808	(?, 512, 16, 16)	(3, 3, 512, 512)
16x16/Conv1_down	2359808	(?, 512, 8, 8)	(3, 3, 512, 512)
Downscale2D_5	-	(?, 3, 8, 8)	-
FromRGB_lod6	2048	(?, 512, 8, 8)	(1, 1, 3, 512)
Grow_lod5	-	(?, 512, 8, 8)	-
8x8/Conv0	2359808	(?, 512, 8, 8)	(3, 3, 512, 512)
8x8/Conv1_down	2359808	(?, 512, 4, 4)	(3, 3, 512, 512)
Downscale2D_6	-	(?, 3, 4, 4)	-
FromRGB_lod7	2048	(?, 512, 4, 4)	(1, 1, 3, 512)
Grow_lod6	-	(?, 512, 4, 4)	-
4x4/MinibatchStddev	-	(?, 1, 4, 4)	-
4x4/Conv	2364416	(?, 512, 4, 4)	(3, 3, 513, 512)
4x4/Dense0	4194816	(?, 512)	(8192, 512)
4x4/Dense1	513	(?, 1)	(512, 1)
scores_out	-	(?, 1)	-
labels_out	-	(?, 0)	-
---	---	---	---
Total	23080225		

Building TensorFlow graph...
Setting up snapshot image grid...
Setting up result dir...
Saving results to results/012-pgan-from_images-preset-v2-1gpu-fp16
Training...
tick 1 kimg 160.3 lod 7.00 minibatch 128 time 1m 54s sec/tick 113.5 sec/kimg 0.71 maintenance 48.2

tick 2	kimg 320.5	lod 7.00	minibatch 128	time 3m 51s	sec/tick 107.0	sec/kimg 0.67	maintenance 10.4
tick 3	kimg 480.8	lod 7.00	minibatch 128	time 5m 38s	sec/tick 106.7	sec/kimg 0.67	maintenance 0.3
tick 4	kimg 621.1	lod 6.97	minibatch 128	time 7m 25s	sec/tick 106.8	sec/kimg 0.76	maintenance 0.3
tick 5	kimg 761.3	lod 6.73	minibatch 128	time 10m 04s	sec/tick 158.7	sec/kimg 1.13	maintenance 0.4
tick 6	kimg 901.6	lod 6.50	minibatch 128	time 12m 43s	sec/tick 158.9	sec/kimg 1.13	maintenance 0.3
tick 7	kimg 1041.9	lod 6.26	minibatch 128	time 15m 23s	sec/tick 158.7	sec/kimg 1.13	maintenance 0.5
tick 8	kimg 1182.2	lod 6.03	minibatch 128	time 18m 02s	sec/tick 158.8	sec/kimg 1.13	maintenance 0.3
tick 9	kimg 1322.5	lod 6.00	minibatch 128	time 20m 33s	sec/tick 150.7	sec/kimg 1.07	maintenance 0.5
tick 10	kimg 1462.8	lod 6.00	minibatch 128	time 23m 03s	sec/tick 149.2	sec/kimg 1.06	maintenance 0.4
tick 11	kimg 1603.1	lod 6.00	minibatch 128	time 25m 35s	sec/tick 149.5	sec/kimg 1.07	maintenance 2.6
tick 12	kimg 1743.4	lod 6.00	minibatch 128	time 28m 05s	sec/tick 150.0	sec/kimg 1.07	maintenance 0.4
tick 13	kimg 1863.7	lod 5.89	minibatch 128	time 31m 34s	sec/tick 208.2	sec/kimg 1.73	maintenance 0.5
tick 14	kimg 1984.0	lod 5.69	minibatch 128	time 36m 00s	sec/tick 265.8	sec/kimg 2.21	maintenance 0.5
tick 15	kimg 2104.3	lod 5.49	minibatch 128	time 40m 25s	sec/tick 264.7	sec/kimg 2.20	maintenance 0.3
tick 16	kimg 2224.6	lod 5.29	minibatch 128	time 44m 51s	sec/tick 265.3	sec/kimg 2.20	maintenance 0.4
tick 17	kimg 2345.0	lod 5.09	minibatch 128	time 49m 16s	sec/tick 265.0	sec/kimg 2.20	maintenance 0.4
tick 18	kimg 2465.3	lod 5.00	minibatch 128	time 53m 37s	sec/tick 260.6	sec/kimg 2.17	maintenance 0.3
tick 19	kimg 2585.6	lod 5.00	minibatch 128	time 57m 54s	sec/tick 256.9	sec/kimg 2.13	maintenance 0.4
tick 20	kimg 2705.9	lod 5.00	minibatch 128	time 1h 02m 12s	sec/tick 256.9	sec/kimg 2.13	maintenance 0.4
tick 21	kimg 2826.2	lod 5.00	minibatch 128	time 1h 06m 29s	sec/tick 256.9	sec/kimg 2.14	maintenance 0.9
tick 22	kimg 2946.6	lod 5.00	minibatch 128	time 1h 10m 47s	sec/tick 256.8	sec/kimg 2.13	maintenance 0.4
tick 23	kimg 3046.7	lod 4.92	minibatch 64	time 1h 17m 57s	sec/tick 430.3	sec/kimg 4.30	maintenance 0.3
tick 24	kimg 3146.8	lod 4.76	minibatch 64	time 1h 29m 17s	sec/tick 678.9	sec/kimg 6.78	maintenance 0.4
tick 25	kimg 3246.8	lod 4.59	minibatch 64	time 1h 40m 36s	sec/tick 679.4	sec/kimg 6.79	maintenance 0.3
tick 26	kimg 3346.9	lod 4.42	minibatch 64	time 1h 51m 56s	sec/tick 679.6	sec/kimg 6.79	maintenance 0.4
tick 27	kimg 3447.0	lod 4.26	minibatch 64	time 2h 03m 16s	sec/tick 679.6	sec/kimg 6.79	maintenance 0.3
tick 28	kimg 3547.1	lod 4.09	minibatch 64	time 2h 14m 36s	sec/tick 679.9	sec/kimg 6.79	maintenance 0.3
tick 29	kimg 3647.2	lod 4.00	minibatch 64	time 2h 25m 49s	sec/tick 672.8	sec/kimg 6.72	maintenance 0.3
tick 30	kimg 3747.3	lod 4.00	minibatch 64	time 2h 36m 54s	sec/tick 663.8	sec/kimg 6.63	maintenance 0.3
tick 31	kimg 3847.4	lod 4.00	minibatch 64	time 2h 47m 58s	sec/tick 663.5	sec/kimg 6.63	maintenance 0.9
tick 32	kimg 3947.5	lod 4.00	minibatch 64	time 2h 59m 02s	sec/tick 663.9	sec/kimg 6.63	maintenance 0.3
tick 33	kimg 4047.6	lod 4.00	minibatch 64	time 3h 10m 06s	sec/tick 663.8	sec/kimg 6.63	maintenance 0.4
tick 34	kimg 4147.7	lod 4.00	minibatch 64	time 3h 21m 11s	sec/tick 663.9	sec/kimg 6.63	maintenance 0.3
tick 35	kimg 4227.7	lod 3.95	minibatch 32	time 3h 33m 47s	sec/tick 756.5	sec/kimg 9.46	maintenance 0.4
tick 36	kimg 4307.7	lod 3.82	minibatch 32	time 3h 53m 38s	sec/tick 1190.1	sec/kimg 14.88	maintenance 0.4
tick 37	kimg 4387.7	lod 3.69	minibatch 32	time 4h 13m 29s	sec/tick 1190.3	sec/kimg 14.88	maintenance 0.3
tick 38	kimg 4467.7	lod 3.55	minibatch 32	time 4h 33m 19s	sec/tick 1190.5	sec/kimg 14.88	maintenance 0.4
tick 39	kimg 4547.7	lod 3.42	minibatch 32	time 4h 53m 10s	sec/tick 1190.1	sec/kimg 14.88	maintenance 0.4
tick 40	kimg 4627.7	lod 3.29	minibatch 32	time 5h 13m 01s	sec/tick 1190.5	sec/kimg 14.88	maintenance 0.4
tick 41	kimg 4707.7	lod 3.15	minibatch 32	time 5h 32m 52s	sec/tick 1190.4	sec/kimg 14.88	maintenance 0.8
tick 42	kimg 4787.7	lod 3.02	minibatch 32	time 5h 52m 43s	sec/tick 1191.1	sec/kimg 14.89	maintenance 0.4
tick 43	kimg 4867.7	lod 3.00	minibatch 32	time 6h 12m 05s	sec/tick 1161.1	sec/kimg 14.51	maintenance 0.4
tick 44	kimg 4947.7	lod 3.00	minibatch 32	time 6h 31m 21s	sec/tick 1155.8	sec/kimg 14.45	maintenance 0.3
tick 45	kimg 5027.7	lod 3.00	minibatch 32	time 6h 50m 36s	sec/tick 1155.0	sec/kimg 14.44	maintenance 0.3
tick 46	kimg 5107.7	lod 3.00	minibatch 32	time 7h 09m 51s	sec/tick 1154.0	sec/kimg 14.42	maintenance 0.3
tick 47	kimg 5187.7	lod 3.00	minibatch 32	time 7h 29m 06s	sec/tick 1154.6	sec/kimg 14.43	maintenance 0.4
tick 48	kimg 5267.7	lod 3.00	minibatch 32	time 7h 48m 21s	sec/tick 1154.6	sec/kimg 14.43	maintenance 0.3
tick 49	kimg 5347.7	lod 3.00	minibatch 32	time 8h 07m 36s	sec/tick 1154.6	sec/kimg 14.43	maintenance 0.4
tick 50	kimg 5407.7	lod 2.99	minibatch 16	time 8h 23m 59s	sec/tick 983.4	sec/kimg 16.38	maintenance 0.4
tick 51	kimg 5467.8	lod 2.89	minibatch 16	time 8h 54m 13s	sec/tick 1813.1	sec/kimg 30.20	maintenance 1.0
tick 52	kimg 5527.8	lod 2.79	minibatch 16	time 9h 24m 32s	sec/tick 1818.0	sec/kimg 30.28	maintenance 0.4
tick 53	kimg 5587.8	lod 2.69	minibatch 16	time 9h 54m 50s	sec/tick 1817.7	sec/kimg 30.28	maintenance 0.4
tick 54	kimg 5647.9	lod 2.59	minibatch 16	time 10h 25m 13s	sec/tick 1823.0	sec/kimg 30.37	maintenance 0.4
tick 55	kimg 5707.9	lod 2.49	minibatch 16	time 10h 55m 38s	sec/tick 1824.3	sec/kimg 30.39	maintenance 0.3
tick 56	kimg 5767.9	lod 2.39	minibatch 16	time 11h 26m 01s	sec/tick 1822.7	sec/kimg 30.36	maintenance 0.4
tick 57	kimg 5828.0	lod 2.29	minibatch 16	time 11h 56m 28s	sec/tick 1826.0	sec/kimg 30.42	maintenance 0.4
tick 58	kimg 5888.0	lod 2.19	minibatch 16	time 12h 26m 51s	sec/tick 1822.8	sec/kimg 30.36	maintenance 0.4
tick 59	kimg 5948.0	lod 2.09	minibatch 16	time 12h 57m 05s	sec/tick 1813.9	sec/kimg 30.22	maintenance 0.4
tick 60	kimg 6008.1	lod 2.00	minibatch 16	time 13h 27m 11s	sec/tick 1805.9	sec/kimg 30.08	maintenance 0.3
tick 61	kimg 6068.1	lod 2.00	minibatch 16	time 13h 56m 25s	sec/tick 1752.7	sec/kimg 29.20	maintenance 1.0
tick 62	kimg 6128.1	lod 2.00	minibatch 16	time 14h 25m 36s	sec/tick 1750.5	sec/kimg 29.16	maintenance 0.4
tick 63	kimg 6188.2	lod 2.00	minibatch 16	time 14h 54m 48s	sec/tick 1752.2	sec/kimg 29.19	maintenance 0.4
tick 64	kimg 6248.2	lod 2.00	minibatch 16	time 15h 24m 02s	sec/tick 1753.1	sec/kimg 29.20	maintenance 0.4
tick 65	kimg 6308.2	lod 2.00	minibatch 16	time 15h 53m 15s	sec/tick 1752.9	sec/kimg 29.20	maintenance 0.4
tick 66	kimg 6368.3	lod 2.00	minibatch 16	time 16h 22m 29s	sec/tick 1753.4	sec/kimg 29.21	maintenance 0.4

tick 67	kimg 6428.3	lod 2.00	minibatch 16	time 16h 51m 47s	sec/tick 1757.7	sec/kimg 29.28	maintenance 0.4
tick 68	kimg 6488.3	lod 2.00	minibatch 16	time 17h 20m 58s	sec/tick 1751.0	sec/kimg 29.17	maintenance 0.4
tick 69	kimg 6548.4	lod 2.00	minibatch 16	time 17h 50m 15s	sec/tick 1756.3	sec/kimg 29.26	maintenance 0.4
tick 70	kimg 6600.1	lod 2.00	minibatch 8	time 18h 15m 34s	sec/tick 1518.3	sec/kimg 29.34	maintenance 0.4
tick 71	kimg 6640.1	lod 1.93	minibatch 8	time 18h 55m 40s	sec/tick 2405.3	sec/kimg 60.13	maintenance 1.0
tick 72	kimg 6680.1	lod 1.87	minibatch 8	time 19h 35m 44s	sec/tick 2403.3	sec/kimg 60.08	maintenance 0.6
tick 73	kimg 6720.1	lod 1.80	minibatch 8	time 20h 15m 48s	sec/tick 2403.4	sec/kimg 60.09	maintenance 0.5
tick 74	kimg 6760.1	lod 1.73</td					

```
tick 132  kimg 8440.0  lod 0.00 minibatch 4  time 2d 11h 36m  sec/tick 2278.8  sec/kimg 113.94 maintenance 0.6
tick 133  kimg 8460.0  lod 0.00 minibatch 4  time 2d 12h 14m  sec/tick 2278.4  sec/kimg 113.92 maintenance 0.6
tick 134  kimg 8480.0  lod 0.00 minibatch 4  time 2d 12h 51m  sec/tick 2277.8  sec/kimg 113.89 maintenance 0.6
tick 135  kimg 8500.0  lod 0.00 minibatch 4  time 2d 13h 29m  sec/tick 2279.1  sec/kimg 113.95 maintenance 0.6
tick 136  kimg 8520.0  lod 0.00 minibatch 4  time 2d 14h 07m  sec/tick 2278.0  sec/kimg 113.90 maintenance 0.6
tick 137  kimg 8540.0  lod 0.00 minibatch 4  time 2d 14h 45m  sec/tick 2276.4  sec/kimg 113.82 maintenance 0.6
tick 138  kimg 8560.0  lod 0.00 minibatch 4  time 2d 15h 23m  sec/tick 2278.8  sec/kimg 113.94 maintenance 0.6
tick 139  kimg 8580.0  lod 0.00 minibatch 4  time 2d 16h 01m  sec/tick 2279.0  sec/kimg 113.95 maintenance 0.6
tick 140  kimg 8600.0  lod 0.00 minibatch 4  time 2d 16h 39m  sec/tick 2277.5  sec/kimg 113.87 maintenance 0.5
tick 141  kimg 8620.0  lod 0.00 minibatch 4  time 2d 17h 17m  sec/tick 2280.9  sec/kimg 114.04 maintenance 1.1
tick 142  kimg 8640.0  lod 0.00 minibatch 4  time 2d 17h 56m  sec/tick 2300.4  sec/kimg 115.02 maintenance 0.6
tick 143  kimg 8660.0  lod 0.00 minibatch 4  time 2d 18h 34m  sec/tick 2314.6  sec/kimg 115.73 maintenance 0.7
tick 144  kimg 8680.0  lod 0.00 minibatch 4  time 2d 19h 13m  sec/tick 2303.6  sec/kimg 115.18 maintenance 0.7
tick 145  kimg 8700.0  lod 0.00 minibatch 4  time 2d 19h 51m  sec/tick 2298.6  sec/kimg 114.93 maintenance 0.6
```

Traceback (most recent call last):

```
  File '.train.py', line 285, in <module>
    tfutil.call_func_by_name(**config.train)
  File './home/paperspace/prGAN_04_190118/tfutil.py', line 236, in call_func_by_name
    return import_obj(func)(*args, **kwargs)
  File './home/paperspace/prGAN_04_190118/train.py', line 229, in train_progressive_gan
    tfutil.run([D_train_op, Gs_update_op], {lod_in: sched.lod, lrate_in: sched.D_lrate, minibatch_in: sched.minibatch})
  File './home/paperspace/prGAN_04_190118/tfutil.py', line 21, in run
    return tf.get_default_session().run(*args, **kwargs)
  File './home/paperspace/anaconda3/lib/python3.6/site-packages/tensorflow/python/client/session.py', line 900, in run
    run_metadata_ptr)
  File './home/paperspace/anaconda3/lib/python3.6/site-packages/tensorflow/python/client/session.py', line 1135, in _run
    feed_dict_tensor, options, run_metadata)
  File './home/paperspace/anaconda3/lib/python3.6/site-packages/tensorflow/python/client/session.py', line 1316, in _do_run
    run_metadata)
  File './home/paperspace/anaconda3/lib/python3.6/site-packages/tensorflow/python/client/session.py', line 1322, in _do_call
    return fn(*args)
  File './home/paperspace/anaconda3/lib/python3.6/site-packages/tensorflow/python/client/session.py', line 1307, in _run_fn
    options, feed_dict, fetch_list, target_list, run_metadata)
  File './home/paperspace/anaconda3/lib/python3.6/site-packages/tensorflow/python/client/session.py', line 1409, in _call_tf_session-
run
    run_metadata)
KeyboardInterrupt
```

Portrait

```
Initializing TensorFlow...
Running train.train_progressive_gan()...
Streaming data using dataset.TFRecordDataset...
Dataset shape = [3, 512, 512]
Dynamic range = [0, 255]
Label size = 0
Constructing networks...
```

G	Params	OutputShape	WeightShape
---	---	---	---
latents_in	-	(?, 512)	-
labels_in	-	(?, 0)	-
lod	-	()	-
4x4/PixelNorm	-	(?, 512)	-
4x4/Dense	4194816	(?, 512, 4, 4)	(512, 8192)
4x4/Conv	2359808	(?, 512, 4, 4)	(3, 3, 512, 512)
ToRGB_lod7	1539	(?, 3, 4, 4)	(1, 1, 512, 3)
8x8/Conv0_up	2359808	(?, 512, 8, 8)	(3, 3, 512, 512)
8x8/Conv1	2359808	(?, 512, 8, 8)	(3, 3, 512, 512)
ToRGB_lod6	1539	(?, 3, 8, 8)	(1, 1, 512, 3)
Upscale2D	-	(?, 3, 8, 8)	-
Grow_lod6	-	(?, 3, 8, 8)	-
16x16/Conv0_up	2359808	(?, 512, 16, 16)	(3, 3, 512, 512)
16x16/Conv1	2359808	(?, 512, 16, 16)	(3, 3, 512, 512)
ToRGB_lod5	1539	(?, 3, 16, 16)	(1, 1, 512, 3)
Upscale2D_1	-	(?, 3, 16, 16)	-
Grow_lod5	-	(?, 3, 16, 16)	-
32x32/Conv0_up	2359808	(?, 512, 32, 32)	(3, 3, 512, 512)
32x32/Conv1	2359808	(?, 512, 32, 32)	(3, 3, 512, 512)
ToRGB_lod4	1539	(?, 3, 32, 32)	(1, 1, 512, 3)
Upscale2D_2	-	(?, 3, 32, 32)	-
Grow_lod4	-	(?, 3, 32, 32)	-
64x64/Conv0_up	1179904	(?, 256, 64, 64)	(3, 3, 256, 512)
64x64/Conv1	590080	(?, 256, 64, 64)	(3, 3, 256, 256)
ToRGB_lod3	771	(?, 3, 64, 64)	(1, 1, 256, 3)
Upscale2D_3	-	(?, 3, 64, 64)	-
Grow_lod3	-	(?, 3, 64, 64)	-
128x128/Conv0_up	295040	(?, 128, 128, 128)	(3, 3, 128, 256)
128x128/Conv1	147584	(?, 128, 128, 128)	(3, 3, 128, 128)
ToRGB_lod2	387	(?, 3, 128, 128)	(1, 1, 128, 3)
Upscale2D_4	-	(?, 3, 128, 128)	-
Grow_lod2	-	(?, 3, 128, 128)	-
256x256/Conv0_up	73792	(?, 64, 256, 256)	(3, 3, 64, 128)
256x256/Conv1	36928	(?, 64, 256, 256)	(3, 3, 64, 64)
ToRGB_lod1	195	(?, 3, 256, 256)	(1, 1, 64, 3)
Upscale2D_5	-	(?, 3, 256, 256)	-
Grow_lod1	-	(?, 3, 256, 256)	-
512x512/Conv0_up	18464	(?, 32, 512, 512)	(3, 3, 32, 64)
512x512/Conv1	9248	(?, 32, 512, 512)	(3, 3, 32, 32)

ToRGB_lod0	99	(?, 3, 512, 512)	(1, 1, 32, 3)
Upscale2D_6	-	(?, 3, 512, 512)	-
Grow_lod0	-	(?, 3, 512, 512)	-
images_out	-	(?, 3, 512, 512)	-
---	---	---	---
Total	23072120		
D	Params	OutputShape	WeightShape
---	---	---	---
images_in	-	(?, 3, 512, 512)	-
lod	-	()	-
FromRGB_lod0	128	(?, 32, 512, 512)	(1, 1, 3, 32)
512x512/Conv0	9248	(?, 32, 512, 512)	(3, 3, 32, 32)
512x512/Conv1_down	18496	(?, 64, 256, 256)	(3, 3, 32, 64)
Downscale2D	-	(?, 3, 256, 256)	-
FromRGB_lod1	256	(?, 64, 256, 256)	(1, 1, 3, 64)
Grow_lod0	-	(?, 64, 256, 256)	-
256x256/Conv0	36928	(?, 64, 256, 256)	(3, 3, 64, 64)
256x256/Conv1_down	73856	(?, 128, 128, 128)	(3, 3, 64, 128)
Downscale2D_1	-	(?, 3, 128, 128)	-
FromRGB_lod2	512	(?, 128, 128, 128)	(1, 1, 3, 128)
Grow_lod1	-	(?, 128, 128, 128)	-
128x128/Conv0	147584	(?, 128, 128, 128)	(3, 3, 128, 128)
128x128/Conv1_down	295168	(?, 256, 64, 64)	(3, 3, 128, 256)
Downscale2D_2	-	(?, 3, 64, 64)	-
FromRGB_lod3	1024	(?, 256, 64, 64)	(1, 1, 3, 256)
Grow_lod2	-	(?, 256, 64, 64)	-
64x64/Conv0	590080	(?, 256, 64, 64)	(3, 3, 256, 256)
64x64/Conv1_down	1180160	(?, 512, 32, 32)	(3, 3, 256, 512)
Downscale2D_3	-	(?, 3, 32, 32)	-
FromRGB_lod4	2048	(?, 512, 32, 32)	(1, 1, 3, 512)
Grow_lod3	-	(?, 512, 32, 32)	-
32x32/Conv0	2359808	(?, 512, 32, 32)	(3, 3, 512, 512)
32x32/Conv1_down	2359808	(?, 512, 16, 16)	(3, 3, 512, 512)
Downscale2D_4	-	(?, 3, 16, 16)	-
FromRGB_lod5	2048	(?, 512, 16, 16)	(1, 1, 3, 512)
Grow_lod4	-	(?, 512, 16, 16)	-
16x16/Conv0	2359808	(?, 512, 16, 16)	(3, 3, 512, 512)
16x16/Conv1_down	2359808	(?, 512, 8, 8)	(3, 3, 512, 512)
Downscale2D_5	-	(?, 3, 8, 8)	-
FromRGB_lod6	2048	(?, 512, 8, 8)	(1, 1, 3, 512)
Grow_lod5	-	(?, 512, 8, 8)	-
8x8/Conv0	2359808	(?, 512, 8, 8)	(3, 3, 512, 512)
8x8/Conv1_down	2359808	(?, 512, 4, 4)	(3, 3, 512, 512)
Downscale2D_6	-	(?, 3, 4, 4)	-
FromRGB_lod7	2048	(?, 512, 4, 4)	(1, 1, 3, 512)
Grow_lod6	-	(?, 512, 4, 4)	-
4x4/MinibatchStddev	-	(?, 1, 4, 4)	-
4x4/Conv	2364416	(?, 512, 4, 4)	(3, 3, 513, 512)
4x4/Dense0	4194816	(?, 512)	(8192, 512)
4x4/Dense1	513	(?, 1)	(512, 1)
scores_out	-	(?, 1)	-
labels_out	-	(?, 0)	-
---	---	---	---
Total	23080225		

Building TensorFlow graph...
Setting up snapshot image grid...
Setting up result dir...
Saving results to results/004-pgan-from_images-preset-v2-1gpu-fp16
Training...

tick 1	kimg 160.3	lod 7.00	minibatch 128	time 1m 52s	sec/tick 112.2	sec/kimg 0.70	maintenance 44.5
tick 2	kimg 320.5	lod 7.00	minibatch 128	time 3m 49s	sec/tick 105.0	sec/kimg 0.66	maintenance 12.0
tick 3	kimg 480.8	lod 7.00	minibatch 128	time 5m 35s	sec/tick 104.9	sec/kimg 0.65	maintenance 0.4

tick 4	kimg 621.1	lod 6.97	minibatch 128	time 7m 20s	sec/tick 105.3	sec/kimg 0.75	maintenance 0.4
tick 5	kimg 761.3	lod 6.73	minibatch 128	time 9m 58s	sec/tick 157.5	sec/kimg 1.12	maintenance 0.4
tick 6	kimg 901.6	lod 6.50	minibatch 128	time 12m 37s	sec/tick 158.4	sec/kimg 1.13	maintenance 0.4
tick 7	kimg 1041.9	lod 6.26	minibatch 128	time 15m 15s	sec/tick 157.5	sec/kimg 1.12	maintenance 0.4
tick 8	kimg 1182.2	lod 6.03	minibatch 128	time 17m 53s	sec/tick 157.6	sec/kimg 1.12	maintenance 0.4
tick 9	kimg 1322.5	lod 6.00	minibatch 128	time 20m 23s	sec/tick 149.3	sec/kimg 1.06	maintenance 0.6
tick 10	kimg 1462.8	lod 6.00	minibatch 128	time 22m 52s	sec/tick 148.7	sec/kimg 1.06	maintenance 0.4
tick 11	kimg 1603.1	lod 6.00	minibatch 128	time 25m 21s	sec/tick 146.9	sec/kimg 1.05	maintenance 2.7
tick 12	kimg 1743.4	lod 6.00	minibatch 128	time 27m 45s	sec/tick 142.9	sec/kimg 1.02	maintenance 0.3
tick 13	kimg 1863.7	lod 5.89	minibatch 128	time 31m 12s	sec/tick 207.2	sec/kimg 1.72	maintenance 0.4
tick 14	kimg 1984.0	lod 5.69	minibatch 128	time 35m 38s	sec/tick 265.2	sec/kimg 2.20	maintenance 0.4
tick 15	kimg 2104.3	lod 5.49	minibatch 128	time 40m 03s	sec/tick 264.6	sec/kimg 2.20	maintenance 0.4
tick 16	kimg 2224.6	lod 5.29	minibatch 128	time 44m 28s	sec/tick 264.9	sec/kimg 2.20	maintenance 0.4
tick 17	kimg 2345.0	lod 5.09	minibatch 128	time 48m 53s	sec/tick 264.5	sec/kimg 2.20	maintenance 0.3
tick 18	kimg 2465.3	lod 5.00	minibatch 128	time 53m 13s	sec/tick 260.1	sec/kimg 2.16	maintenance 0.4
tick 19	kimg 2585.6	lod 5.00	minibatch 128	time 57m 30s	sec/tick 256.7	sec/kimg 2.13	maintenance 0.4
tick 20	kimg 2705.9	lod 5.00	minibatch 128	time 1h 01m 49s	sec/tick 258.1	sec/kimg 2.14	maintenance 0.4
tick 21	kimg 2826.2	lod 5.00	minibatch 128	time 1h 06m 08s	sec/tick 258.7	sec/kimg 2.15	maintenance 0.9
tick 22	kimg 2946.6	lod 5.00	minibatch 128	time 1h 10m 26s	sec/tick 256.8	sec/kimg 2.13	maintenance 0.4
tick 23	kimg 3046.7	lod 4.92	minibatch 64	time 1h 17m 39s	sec/tick 433.0	sec/kimg 4.33	maintenance 0.4
tick 24	kimg 3146.8	lod 4.76	minibatch 64	time 1h 29m 06s	sec/tick 686.7	sec/kimg 6.86	maintenance 0.4
tick 25	kimg 3246.8	lod 4.59	minibatch 64	time 1h 40m 34s	sec/tick 687.5	sec/kimg 6.87	maintenance 0.3
tick 26	kimg 3346.9	lod 4.42	minibatch 64	time 1h 52m 02s	sec/tick 688.1	sec/kimg 6.87	maintenance 0.3
tick 27	kimg 3447.0	lod 4.26	minibatch 64	time 2h 03m 32s	sec/tick 689.3	sec/kimg 6.89	maintenance 0.3
tick 28	kimg 3547.1	lod 4.09	minibatch 64	time 2h 15m 02s	sec/tick 689.5	sec/kimg 6.89	maintenance 0.3
tick 29	kimg 3647.2	lod 4.00	minibatch 64	time 2h 26m 24s	sec/tick 681.8	sec/kimg 6.81	maintenance 0.3
tick 30	kimg 3747.3	lod 4.00	minibatch 64	time 2h 37m 36s	sec/tick 671.4	sec/kimg 6.71	maintenance 0.3
tick 31	kimg 3847.4	lod 4.00	minibatch 64	time 2h 48m 49s	sec/tick 671.9	sec/kimg 6.71	maintenance 0.9
tick 32	kimg 3947.5	lod 4.00	minibatch 64	time 3h 00m 01s	sec/tick 671.7	sec/kimg 6.71	maintenance 0.4
tick 33	kimg 4047.6	lod 4.00	minibatch 64	time 3h 11m 12s	sec/tick 671.3	sec/kimg 6.71	maintenance 0.4
tick 34	kimg 4147.7	lod 4.00	minibatch 64	time 3h 22m 24s	sec/tick 671.4	sec/kimg 6.71	maintenance 0.3
tick 35	kimg 4227.7	lod 3.95	minibatch 32	time 3h 35m 09s	sec/tick 764.4	sec/kimg 9.56	maintenance 0.3
tick 36	kimg 4307.7	lod 3.82	minibatch 32	time 3h 55m 10s	sec/tick 1200.5	sec/kimg 15.01	maintenance 0.4
tick 37	kimg 4387.7	lod 3.69	minibatch 32	time 4h 15m 12s	sec/tick 1201.4	sec/kimg 15.02	maintenance 0.4
tick 38	kimg 4467.7	lod 3.55	minibatch 32	time 4h 35m 09s	sec/tick 1196.7	sec/kimg 14.96	maintenance 0.4
tick 39	kimg 4547.7	lod 3.42	minibatch 32	time 4h 55m 05s	sec/tick 1195.7	sec/kimg 14.95	maintenance 0.3
tick 40	kimg 4627.7	lod 3.29	minibatch 32	time 5h 15m 00s	sec/tick 1195.2	sec/kimg 14.94	maintenance 0.4
tick 41	kimg 4707.7	lod 3.15	minibatch 32	time 5h 34m 56s	sec/tick 1195.0	sec/kimg 14.94	maintenance 0.8
tick 42	kimg 4787.7	lod 3.02	minibatch 32	time 5h 54m 52s	sec/tick 1195.6	sec/kimg 14.94	maintenance 0.4
tick 43	kimg 4867.7	lod 3.00	minibatch 32	time 6h 14m 17s	sec/tick 1164.7	sec/kimg 14.56	maintenance 0.4
tick 44	kimg 4947.7	lod 3.00	minibatch 32	time 6h 33m 38s	sec/tick 1160.2	sec/kimg 14.50	maintenance 0.4
tick 45	kimg 5027.7	lod 3.00	minibatch 32	time 6h 52m 59s	sec/tick 1160.9	sec/kimg 14.51	maintenance 0.3
tick 46	kimg 5107.7	lod 3.00	minibatch 32	time 7h 12m 20s	sec/tick 1160.4	sec/kimg 14.51	maintenance 0.3
tick 47	kimg 5187.7	lod 3.00	minibatch 32	time 7h 31m 41s	sec/tick 1160.8	sec/kimg 14.51	maintenance 0.3
tick 48	kimg 5267.7	lod 3.00	minibatch 32	time 7h 51m 09s	sec/tick 1168.3	sec/kimg 14.60	maintenance 0.4
tick 49	kimg 5347.7	lod 3.00	minibatch 32	time 8h 10m 41s	sec/tick 1171.3	sec/kimg 14.64	maintenance 0.3
tick 50	kimg 5407.7	lod 2.99	minibatch 16	time 8h 27m 19s	sec/tick 997.2	sec/kimg 16.61	maintenance 0.4
tick 51	kimg 5467.8	lod 2.89	minibatch 16	time 8h 57m 53s	sec/tick 1833.4	sec/kimg 30.54	maintenance 1.0
tick 52	kimg 5527.8	lod 2.79	minibatch 16	time 9h 28m 27s	sec/tick 1834.0	sec/kimg 30.55	maintenance 0.4
tick 53	kimg 5587.8	lod 2.69	minibatch 16	time 9h 59m 01s	sec/tick 1833.2	sec/kimg 30.54	maintenance 0.4
tick 54	kimg 5647.9	lod 2.59	minibatch 16	time 10h 29m 35s	sec/tick 1833.6	sec/kimg 30.54	maintenance 0.4
tick 55	kimg 5707.9	lod 2.49	minibatch 16	time 11h 00m 06s	sec/tick 1831.1	sec/kimg 30.50	maintenance 0.3
tick 56	kimg 5767.9	lod 2.39	minibatch 16	time 11h 30m 25s	sec/tick 1818.0	sec/kimg 30.28	maintenance 0.4
tick 57	kimg 5828.0	lod 2.29	minibatch 16	time 12h 00m 43s	sec/tick 1817.7	sec/kimg 30.28	maintenance 0.4
tick 58	kimg 5888.0	lod 2.19	minibatch 16	time 12h 30m 58s	sec/tick 1814.9	sec/kimg 30.23	maintenance 0.4
tick 59	kimg 5948.0	lod 2.09	minibatch 16	time 13h 01m 13s	sec/tick 1814.0	sec/kimg 30.22	maintenance 0.4
tick 60	kimg 6008.1	lod 2.00	minibatch 16	time 13h 31m 18s	sec/tick 1805.0	sec/kimg 30.07	maintenance 0.4
tick 61	kimg 6068.1	lod 2.00	minibatch 16	time 14h 00m 37s	sec/tick 1758.4	sec/kimg 29.29	maintenance 1.0
tick 62	kimg 6128.1	lod 2.00	minibatch 16	time 14h 29m 54s	sec/tick 1756.6	sec/kimg 29.26	maintenance 0.4
tick 63	kimg 6188.2	lod 2.00	minibatch 16	time 14h 59m 15s	sec/tick 1759.8	sec/kimg 29.31	maintenance 0.4
tick 64	kimg 6248.2	lod 2.00	minibatch 16	time 15h 28m 31s	sec/tick 1756.4	sec/kimg 29.26	maintenance 0.4
tick 65	kimg 6308.2	lod 2.00	minibatch 16	time 15h 57m 46s	sec/tick 1754.4	sec/kimg 29.22	maintenance 0.4
tick 66	kimg 6368.3	lod 2.00	minibatch 16	time 16h 27m 04s	sec/tick 1757.1	sec/kimg 29.27	maintenance 0.4
tick 67	kimg 6428.3	lod 2.00	minibatch 16	time 16h 56m 19s	sec/tick 1755.1	sec/kimg 29.24	maintenance 0.4
tick 68	kimg 6488.3	lod 2.00	minibatch 16	time 17h 25m 33s	sec/tick 1753.7	sec/kimg 29.21	maintenance 0.4
tick 69	kimg 6548.4	lod 2.00	minibatch 16	time 17h 54m 46s	sec/tick 1752.6	sec/kimg 29.19	maintenance 0.4
tick 70	kimg 6600.1	lod 2.00	minibatch 8	time 18h 20m 04s	sec/tick 1517.7	sec/kimg 29.33	maintenance 0.4
tick 71	kimg 6640.1	lod 1.93	minibatch 8	time 18h 59m 51s	sec/tick 2385.6	sec/kimg 59.64	maintenance 1.0
tick 72	kimg 6680.1	lod 1.87	minibatch 8	time 19h 39m 42s	sec/tick 2390.4	sec/kimg 59.76	maintenance 0.6

tick 73	kimg 6720.1	lod 1.80	minibatch 8	time 20h 19m 34s	sec/tick 2391.3	sec/kimg 59.78	maintenance 0.5
tick 74	kimg 6760.1	lod 1.73	minibatch 8	time 20h 59m 25s	sec/tick 2390.4	sec/kimg 59.76	maintenance 0.5
tick 75	kimg 6800.1	lod 1.67	minibatch 8	time 21h 39m 16s	sec/tick 2391.4	sec/kimg 59.78	maintenance 0.5
tick 76	kimg 6840.1	lod 1.60	minibatch 8	time 22h 19m 09s	sec/tick 2392.6	sec/kimg 59.82	maintenance 0.4
tick 77	kimg 6880.1	lod 1.53	minibatch 8	time 22h 59m 05s	sec/tick 2395.1	sec/kimg 59.88	maintenance 0.6
tick 78	kimg 6920.1	lod 1.47	minibatch 8	time 23h 39m 19s	sec/tick 2413.7	sec/kimg 60.34	maintenance 0.5
tick 79	kimg 6960.1	lod 1.40	minibatch 8	time 1d 00h 19m	sec/tick 2395.3	sec/kimg 59.88	maintenance 0.6
tick 80	kimg 7000.1	lod 1.33	minibatch 8	time 1d 00h 59m	sec/tick 2393.4	sec/kimg 59.83	maintenance 0.6
tick 81	kimg 7040.1	lod 1.27	minibatch 8	time 1d 01h 39m	sec/tick 2		



Literaturverzeichnis

Karras, T., Aila, T., Laine, S., Lehtinen, J. (NVIDIA, Aalto University). Progressive Growing of GANs for Improved Quality, Stability, and Variation. arXiv:1710.10196 [cs.NE]. Zugriff am 26.11.2018. Verfügbar unter <https://arxiv.org/pdf/1710.10196.pdf>

Boden, M. (School of Cognitive and Computing Sciences, University of Sussex). Creativity and artificial intelligence. Zugriff am 26.11.2018. Verfügbar unter https://ac.els-cdn.com/S0004370298000551/1-s2.0-S0004370298000551-main.pdf?_tid=aaa7e7c5-2b98-42a7-8ee9-f04f7e77d0c6&acdnat=1543324440_e0a0946dac8ac7c2c0f09e8286ed7ee7

Smith, R. (The Stanford Encyclopedia of Philosophy (Winter 2018 Edition)). Aristotle's Logic. Zugriff am 26.11.2018. Verfügbar unter <https://plato.stanford.edu/archives/win2018/entries/aristotle-logic>

Valladas, H., Tisnérat-Laborde, N., Cachier, H., Arnold, M., De Quirós, F., Cabrera-Valdés, V., Moure-Romanillo, A. (2001). Radiocarbon AMS Dates for Paleolithic Cave Paintings. Radiocarbon, 43(2B), 977-986. doi:10.1017/S0033822200041643. Zugriff am 26.11.2018. Verfügbar unter https://www.cambridge.org/core/services/aop-cambridge-core/content/view/7F-CEAC790DD3F2AC28F3B5629C96CC8A/S0033822200041643a.pdf/radiocarbon_ams_dates_for_paleolithic_cave_paintings.pdf

Hy, I., Day, A. (1981). Advances in Intrinsic Motivation and Aesthetics. New York: Plenum Press.

Elgammal, A., Liu, B., Elhoseiny, M., Mazzone, M. (The Art & AI Laboratory - Rutgers University, Department of Computer Science - Rutgers University, Facebook AI Research, Department of Art History - College of Charleston). CAN: Creative Adversarial Networks Generating "Art" by learning About Styles and Deviating from Style Norms. Zugriff am 26.11.2018. Verfügbar unter <https://arxiv.org/pdf/1706.07068.pdf>

Barrat, R. (GitHub). art-DCGAN - Modified implementation of DCGAN focused on generative art. Includes pre-trained models for landscapes, nude-portraits, and others. Zugriff am 26.11.2018. Verfügbar unter <https://github.com/robbiebarrat/art-DCGAN>

Fautrel, P., Caselles-Dupré, H., Verniere, G. (Obvious Art). Obvious. Zugriff am 19.11.2018. Verfügbar unter <http://obvious-art.com/index.html>

DiPaola, S., Gabora, L. (Springer Science+Business Media). Incorporating characteristics of human creativity into an evolutionary art algorithm. Zugriff am 28.11.2018. Verfügbar unter <https://link.springer.com/content/pdf/10.1007%2Fs10710-008-9074-x.pdf>

Vincent, J. (The Verge). How three french students used borrowed code to put the first AI portrait in Christie's. Zugriff am 28.11.2018. Verfügbar unter <https://www.theverge.com/2018/10/23/18013190/ai-art-portrait-auction-christies-be-lamy-obvious-robbie-barrat-gans>

ABBRobotics (YouTube). ABB Robotics - Robotic Artist at Long Distance Art event. Zugriff am 27.11.2018. Verfügbar unter <https://www.youtube.com/watch?v=U8Iy0p7oeg>

Nugent, C. (Time). The Painter Behind These Artworks Is an AI Program. Do They Still Count as Art? Zugriff am 28.11.2018. Verfügbar unter <http://time.com/5357221/obvious-artificial-intelligence-art/>

Chintala, S. (GitHub). dcgan.torch - A torch implementation of <http://arxiv.org/abs/1511.06434>. Zugriff am 28.11.2018. Verfügbar unter <https://github.com/soumith/dcgan.torch>

Gommel, M., Haitz, M., Zappe, J. (robotlab). Der Bibelschreiber. Zugriff am 28.11.2018. Verfügbar unter <http://www.robotlab.de/bios/bible.htm>

Gommel, M., Haitz, M., Zappe, J. (robotlab). Der Bibelschreiber. Zugriff am 28.11.2018. Verfügbar unter <http://www.robotlab.de/thebig/picture.htm>

Besonderer Dank an die Autoren des progressiven GAN's / Special thanks to the authors of the progressive GAN

Tero Karras, Timo Aila, Samuli Laine, Jaakko Lehtinen
arXiv:1710.10196 [cs.NE]

